

**168708**

**BİGADİÇ BASENİ MERKEZİ KESİMINİN  
MİNERALOJİK – PETROGRAFİK, JEOKİMYASAL  
İNCELENMESİ VE NEOFORMASYON MİNERALLERİNİN DAĞILIMI**

**ABİDİN TEMEL**

**Hacettepe Üniversitesi  
Fen Bilimleri Enstitüsü Yönetmeliğinin  
Jeoloji Mühendisliği Anabilim Dalı İçin Öngördüğü  
YÜKSEK MÜHENDİSLİK TEZİ  
Olarak Hazırlanmıştır.**

**Ankara,**

**Ocak – 1987**

Fen Bilimleri Enstitüsü Müdürlüğü'ne

İşbu çalışma, jürimiz tarafından JEOLOJİ MÜHENDİSLİĞİ Anabilim Dalında  
YÜKSEK MÜHENDİSLİK TEZİ olarak kabul edilmiştir.

Başkan

: Prof. Dr. Mümin Kâksoy

Üye

: Doç. Dr. Sırrı Bayram

Üye

: Doç. Dr. M. Niyazi Gündüz

## ONAY

Yukarıdaki imzaların, adı geçen öğretim üyelerine ait olduğunu onaylarım.

/ /1987

Prof. Dr. Acar İşm  
Fen Bilimleri Enstitüsü Müdürü

## ÖZET

Bu çalışmada, Neojen yaşı Bigadiç volkanosedimanter baseninin merkezi kesiminin mineralojik-petrografik ve jeokimyasal özelliklerini belirlemek, elde edilen verileri daha önce yapılmış çalışmaların bulguları ile de birleştirerek neoformasyon minerallerinin (zeolit, borat, kıl ve karbonat) dikey ve alansal/yanal dağılımlarını ortaya koymak ; sonuçta basenin paleocoğrafik gelişimini yorumlamaya çalışmak amaçlanmıştır.

Bu amaç doğrultusunda Bigadiç formasyonu Değirmenli tüf, Uzun Tepe, Emirler tüf ve İskele üyeleriinde yapılan sondajlardan alınan kayaç ve mineral örnekleri üzerinde optik mikroskopi incelemeleri ile x-ışınları (tüm kayaç ve kıl fraksiyonu) ve ana element çözümlemeleri gerçekleştirılmıştır.

Elde edilen sonuçlara göre, tüflü birimlerde zeolitleşme olayının ürünlerini olan mineraller arasında pH ve tuzluluğun artmasına bağlı olarak yanal yönde opal-A + simektit → klinoptilolit + opal-CT ve/veya K-feldispat → analsim ve/veya K-feldispat şeklinde bir otijenik mineral zonlanmasının varlığı ortaya konulmuştur. Ayrıca, Değirmenli tüflerinden İskele üyesine doğru Na ve K'ca zengin minerallerin (anal sim ve/veya K-feldispat) miktarının arttığı da belirlenmiştir.

Yanal yönde Uzun Tepe ve İskele üyelerinde borat mineralleri arasında Ca-borat → Ca-borat + NaCa-borat ; İskele üyesinde ise karbonat mineralleri arasında Ca-karbonat + CaMg-karbonat → CaMg-karbonat + Mg-karbonat zonlanmaları gözlenmektedir. Dikey yönde borat minerallerinin dağılımında belirgin bir farklılık olmamasına karşılık, Avşarbaşı üyesinde CaMg-karbonat, Uzun Tepe üyesinde Ca-karbonat, İskele üyesinde ise CaMg-karbonat + Mg-karbonat minerallerinin bolluğu önemli olmaktadır. Diğer taraftan simektitlerin Mg-içeriğinin Uzun Tepe ve İskele üyelerinde yanal yönde arttiği, İskele simektitlerinin, Uzun Tepe simektitlerine göre Mg'ca daha zengin olduğu belirlenmiştir.

Neoformasyon minerallerinden özellikle zeolit ve boratların, ortamın fizikokimyasal koşulları ve basenin geometrisi hakkında verdiği bilgilerin ışığında, basenin merkezi kesiminin sürekli olarak yer değiştirdiği, sedimentasyonla çağdaş tektonik hareketlerin ve evaporasyonun etkisi ile basenin paleocoğrafik gelişimi sırasında bir takım alt basenlerin oluştuğu belirlenmiştir.

## SUMMARY

The present study aims to determine the mineralogical-petrographical and geochemical properties of the central part of Neogene aged volcansedimentary Bigadiç Basin, to investigate the vertical and lateral distributions of the neoformation minerals (zeolite, borate, clay and carbonate) by combining the data obtained in the present work to the observations obtained from previous work, and as a result to interpret the paleogeographic evoluation of the basin.

Directed to the above purposes, optical microscopic studies and x-ray diffraction (whole rock and clay fraction), and major element analyses are carried out on rock and mineral samples taken from boreholes drilled in the Değirmenli tuff, Uzun Tepe, Emirler tuff, and İskele members of the Bigadiç Formation.

According to the results obtained, it has been determined that, between the minerals produced through zeolitization of tuffaceous units, there existed a lateral autogenic mineral zoning in from of Opal-A $\rightarrow$ smectite $\rightarrow$ clinoptilolite+opal-CT and /or K-feldspar $\rightarrow$ analcite and/or K-feldspar. On the other hand, it has also been determined that the amount of Na and K-rich minerals (analcite, and/or K-feldspar) increased from Değirmenli Tuff to İskele member.

Between the borate minerals of Uzun Tepe and İskele members, a zonning of Ca-borate $\rightarrow$ Ca-borate+NaCa-borate, and between the carbonate minerals of İskele member, a zonning of Ca-Carbonate $\rightarrow$ CaMg-carbonate $\rightarrow$ CaMg-carbonate + Mg-carbonate can be observed. Although there is not a marked difference in the vertical distribution of the borate minerals, the abundance of Ca-Mg-Carbonate minerals in Avşarbaşı member, of Ca-Carbonate minerals in Uzun Tepe member, and the CaMg-carbonate + Mg-carbonate minerals in İskele member is found to be important. On the other hand, it has been detemined that Mg-contents of smectites of Uzun Tepe and İskele members increased laterally, and that the Mg content of the İskele smectites was groater than that of Uzun Tepe smectites.

Under the light of the physico-chemical conditions of the environment and the geometry of the basin, obtained from neoformation minerals especially like zeolite and borates, it has been concluded that the position of the control part of the basin was continuously changed, and that certain sub-basins were formed during the paleogeographic evolution of the basin with the effects of syn-sedimentary tectonic movements and evaporation.

## TEŞEKKÜR

Bu çalışma, 1983-1987 yılları arasında Hacettepe Üniversitesi Jeoloji Mühendisliği Bölümü'nde Yüksek Mühendislik Tezi olarak hazırlanmıştır. Bu vesile ile ;

Gerek arazi-laboratuvar çalışmaları sırasında gerekse bilimsel katkıları ile tezi yönlendiren ve sonuçlandıran değerli danışman hocam Doç.Dr.M.Niyazi GÜNDÖĞDU(H.Ü.)'ya;

Yapıcı eleştirileri ile çalışmanın olgunlaşmasını sağlayan Prof.Dr. Mümin KÖKSOY(H.Ü.) ve Doç.Dr.Baysal BATMAN(H.Ü.)'a  
Sedimanter yapıların yorumlanmasındaki değerli katkıları için Prof.Dr.Teoman NORMAN(O.D.T.Ü.)'a ;

Karot örneklerinin incelenmesine izin veren ETİBANK Bigadiç Kolemanit İşletmesi Müessesesi Müdürlüğüne ;

Tez çalışmaları sırasında çeşitli yardımlarından dolayı araştırma görevlileri Hüseyin YALÇIN, Orhan CERİT, Hüsnü AKSOY, Ümit TOLLUOĞLU, Muazzez ÇELİK, Ergun KARACAN, Cahit YEŞERTENER ve Ferda ÖNER(H.Ü.)'e ;

X-ışınları ve kimyasal çözümlemelerin gerçekleştirilmesindeki değerli katkıları için Uzman Kimyagerler Türkcan DEMİR, Sema ARGIN, Alaattin ERKAL ; Teknisyenler Vahdettin KULAKSIZ, Kemal ÇIBIK, Gülay KILIÇ, Reyhan KÜTÜK, Gönül KARAYİĞİT ile incekesitleri hazırlayan Hasan TORUN ve Pesul AYDIN(H.Ü.)'a

Şekillerin çizimini özenle gerçekleştiren Teknisyen Nazire CERİT ve Öğrenci Levent EYDURAN(H.Ü.)'a ;  
teşekkür ederim.

Abidin TEMEL

9.1.1987

Bahçelievler/ANKARA

## İÇİNDEKİLER DİZİNİ

### Sayfa

ÖZET.....	ii
SUMMARY.....	iii
TEŞEKKÜR.....	iv
İÇİNDEKİLER DİZİNİ.....	v
ŞEKİLLER DİZİNİ.....	viii
ÇİZELGELER DİZİNİ.....	ix
KISALTMALAR DİZİNİ.....	xiii
1. GİRİŞ VE ÖNCEKİ ÇALIŞMALAR.....	1
1.1. Giriş.....	1
1.2. İnceleme Alanının Tanıtımı.....	2
1.3. Önceki Çalışmalar.....	3
2. STRATİGRAFİ VE TEKTONİK.....	8
2.1. Giriş.....	8
2.2. Litostratigrafik Birimler.....	8
2.2.1. Temel Kayaçları.....	8
2.2.2. Taban Volkanitleri.....	10
2.2.3. Bigadiç Formasyonu.....	10
2.2.3.a. Avşarbaşı Üyesi.....	11
2.2.3.b. Değirmenli Tüf Üyesi.....	11
2.2.3.c. Uzun Tepe Üyesi.....	12
2.2.3.d. Emirler Tüf Üyesi.....	14
2.2.3.e. İskele Üyesi.....	14
2.2.4. Kuvaterner Oluşukları.....	16
2.3. Tektonik.....	16
2.3.1. Kırımlar.....	16

	<u>Sayfa</u>
2.3.1.a. Antiklinaller.....	16
2.3.1.b. Senklinaller.....	16
2.3.2. Faylar.....	17
2.3.3. Çatlak Sistemleri.....	17
2.3.4. Diskordanslar.....	18
3. MİNERALOJİK-PETROGRAFİK İNCELEMELER.....	19
3.1. Giriş.....	19
3.2. İnceleme ve Çözümleme Yöntemleri.....	19
3.3. İnceleme-Çözümleme Sonuçları.....	21
3.3.1. Değirmenli Tüf Üyesi.....	21
3.3.2. Uzun Tepe Üyesi.....	21
3.3.3. Emirler Tüf Üyesi.....	35
3.3.4. İskele Üyesi.....	48
4. JEOKİMYASAL İNCELEMELER.....	63
4.1. Giriş.....	63
4.2. Çözümleme Yöntemleri.....	63
4.3. Uzun Tepe ve İskele Üyesi Simektitlerin Kimyası..	63
4.3.1. Uzun Tepe Üyesi.....	63
4.3.2. İskele Üyesi.....	65
5. NEOFORMASYON MİNERALLERİNİN OLUSIMI İLE DİKEY VE ALANSAL DAĞILIMLARI .....	68
5.1. Giriş.....	68
5.2. Zeolitler.....	69
5.3. Boratlar.....	73
5.4. Kil Mineralleri.....	77

	<u>Sayfa</u>
5.5. Karbonatlar.....	78
6. JEOLojİK EVRİM VE PALEOCOĞRAFİK YORUM .....	82
7. SONUÇLAR.....	85
EK AÇIKLAMALAR.....	88
A. X-RD(Tüm Kayaç) Çözümleme Sonuçları.....	88
B. X-RD(Kil Franksiyonu) Çözümleme Sonuçları.....	129
C. Kimyasal Çözümleme Sonuçları.....	138
DEĞİNİLEN BELGELER DİZİNİ.....	149
<b>EKLER</b>	
1. Jeoloji ve Örnekleme Haritası	
2. Değirmenli Tüf Üyesinde Otijenik Minerallerin Alansal Dağılımı (Mineralojik Zonlanma Haritası)	
3. Uzun Tepe Üyesinde Otijenik Minerallerin Alansal Dağılımı (Mineralojik Zonlanma Haritası)	
4. Emirler Tüf Üyesinde Otijenik Minerallerin Alansal Dağılımı (Mineralojik Zonlanma Haritası)	
5. İskele Üyesinde Otijenik Minerallerin Alansal Dağılımı (Mineralojik Zonlanma Haritası)	
6. Uzun Tepe Üyesinde Borat Minerallerinin Alansal Dağılımı (Mineralojik Zonlanma Haritası)	
7. İskele Üyesinde Borat Minerallerinin Alansal Dağılımı (Mineralojik Zonlanma Haritası)	
8. İskele Üyesinde Karbonat Minerallerinin Alansal Dağılımı (Mineralojik Zonlanma Haritası)	
9. Bigadiç Baseninde Neoformasyon Minerallerinin Alansal Dağılımını Gösteren Blok Diyagram.	

## ŞEKİLLER DİZİNİ

<u>Sekil</u>	<u>Sayfa</u>
2.1. İnceleme Alanının Genelleştirilmiş Litostratigrafik istifi (Gündoğdu'dan 1982) .....	9
3.1. Uzun Tepe Üyesinde Boratlı Zonda Görülen Anhidrit (Ah)-Jips (J) Dönüşümü.....	24
3.2. Uzun Tepe Üyesi Kireçtaşlarının (Kçt) Boşluklarında Gözlenen Kolemanit (K) ve Kalsedon(Ks) oluşumları....	24
3.3. Uzun Tepe Uyesine Ait Kolemanit (K) Kristali İçinde Detritik Kuvars (Q) Kapanımları.....	25
3.4. Uzun Tepe Üyesine Ait Lifsi-Işinsal Probertit Mineralleri.....	25
3.5. Uzun Tepe Üyesinde Saptanmış Bazı Minerallerin EİS-7 Sondajındaki Dikey Dağılımları.....	29
3.6. Uzun Tepe Üyesinde Saptanmış Bazı Minerallerin EİS-14 Sondajındaki Dikey Dağılımları.....	30
3.7. Uzun Tepe Üyesinde Saptanmış Bazı Minerallerin EİS-14 Sondajındaki Dikey Dağılımları.....	31
3.8. Uzun Tepe Üyesinde Saptanmış Bazı Minerallerin EİS-17 Sondajındaki Dikey Dağılımları.....	32
3.9. Uzun Tepe Üyesinde Saptanmış Bazı Minerallerin EYS-2 Sondajındaki Dikey Dağılımları.....	33
3.10. Emirler Üyesi Camsı Kül Tüflerinde Gözlenen Lifsi Dokuda Pomzalar(Pmz) .....	37
3.11. Emirler Üyesi Tüflerinde Gözlenen Kemirilmiş Kuvars (Q) Kristali.....	37

<u>Şekil</u>	<u>Sayfa</u>
3.12. Emirler Üyesi Tüflerinde Gözlenen Sanidin(Sn) Kristallerinin Kenarlarında Gelişen Çözünme ve Yeniden Kristalleşme İzleri.....	38
3.13. Emirler Üyesinin Camsı Kül Tüflerinde Özşekilli Otijenik K-Feldispat (Kf) oluşumları.....	38
3.14. Emirler Tüflerinin SCHMID(1981) Diyagramına göre Adlandırılması.....	40
3.15. Emirler Tüf Üyesinde Saptanan Bazı Minerallerin EİS- 3 Sondajındaki Dikey Dağılımları.....	44
3.16. Emirler Tüf Üyesinde Saptanan Bazı Minerallerin EİS- 7 Sondajındaki Dikey Dağılımları.....	45
3.17. Emirler Tüf Üyesinde Saptanan Bazı Minerallerin EİS- 9 Sondajındaki Dikey Dağılımları.....	46
3.18. Emirler Tüf Üyesinde Saptanan Bazı Minerallerin EİS- 17 Sondajındaki Dikey Dağılımları.....	47
3.19. İskelə Üyesi Tüflerinde Otijenik K-Feldispat Olu- şumları.....	50
3.20. İskelə Üyesinde Gözlenen Tüf-Karbonat Laminasyonu..	50
3.21. İskelə Üyesine Ait Lifsi Dokulu Üleksit.....	52
3.22. İskelə Üyesi Kireçtaşlarının (Kçt) Boşluklarında Gelişen Kolemanit Kristalleri.....	52
3.23. İskelə Üyesinde Saptanan Bazı Minerallerin AS-2 Son- dajındaki Dikey Dağılımları.....	56

<u>Şekil</u>	<u>Sayfa</u>
3.24. İskele Üyesinde Saptanan Bazı Minerallerin EİS-17 Sondajındaki Dikey Dağılımları.....	57
3.25. İskele Üyesinde Saptanan Bazı Minerallerin EİS-8 Sondajındaki Dikey Dağılımları.....	58
3.26. İskele Üyesinde Saptanan Bazı Minerallerin EİS-14 Sondajındaki Dikey Dağılımları.....	59
3.27. İskele Üyesinde Saptanan Bazı Minerallerin PS-51 Sondajındaki Dikey Dağılımları.....	60
4.1. Uzun Tepe ve İskele Üyeleri Simektitlerinin MgO-Al <sub>2</sub> O <sub>3</sub> -(Fe <sub>2</sub> O <sub>3</sub> +TiO <sub>2</sub> ) Üçgen Diagramlarındaki Dağılımları.....	64
4.2. İskele Üyesi Simektitlerinin (Al·Fe·Ti)/Mg ve (Al <sub>2</sub> O <sub>3</sub> +Fe <sub>2</sub> O <sub>3</sub> +TiO <sub>2</sub> )/MgO Oranları ile TiO <sub>2</sub> ve K <sub>2</sub> O İçeriklerinin PS-51 Sondajındaki Dikey Değişimi.....	66

## ÇİZELGELER DİZİNİ

<u>Cizelge</u>	<u>Sayfa</u>
1.1. Örneklerin Litostratiğrafik Birimlere Göre Dağılımı.....	2
3.1. Uzun Tepe Üyesinde Saptanan Minerallerin Sondajlara Göre Dağılımı.....	27
3.2. Uzun Tepe Üyesinde Saptanan Önemli Minerallerin Bulunuş Frekansları, en az,en çok ve Ortalama Yüzde-leri.....	27
3.3. Emirler Tüflerinin Modal Çözümleme Sonuçları.....	39
3.4. Emirler Tüf Üyesinde Saptanan Minerallerin Sondaj- lara Göre Dağılımı.....	42
3.5. Emir Tüf Üyesinde Saptanan Önemli Minerallerin Bulu- nuş Frekansları, en az,en çok ve Ortalama Yüzdeleri.	43
3.6. İskele Üyesinde Saptanan Minerallerin Sondajlara Göre Dağılımı.....	53
3.7. İskele Üyesinde Saptanan Önemli Minerallerin Bulunuş Frekansları, en az,en çok ve Ortalama Yüzdeleri.....	54
A.1. Değirmenli Tüf Üyesi Gölsel Fasıyes Örneklerinin X-RD (TK) Çözümleme Sonuçları (%) .....	89
A.2. Uzun Tepe Üyesi Örneklerinin X-RD(TK) Çözümleme So- nuçları (%) .....	90
A.3. Emirler Tüf Üyesi Örneklerinin X-RD(TK) Çözümleme Sonuçları(%) .....	107
A.4. İskele Üyesi Örneklerinin X-RD(TK) Çözümleme Sonuçla- rı (%) .....	112

<u>Çizelge</u>	<u>Sayfa</u>
B.1. Uzun Tepe Üyesi Örneklerinin X-RD(KF) Çözümleme Sonuçları .....	130
B.2. Emirler Tüf Üyesi Örneklerinin X-RD(KF) Çözümleme Sonuçları.....	133
B.3. İskelə Üyesi Örneklerinin X-RD(KF) Çözümleme Sonuçları.....	134
C.1. Uzun Tepe Üyesi Simektitlerinin Ana Element Çözümleme Sonuçları.....	139
C.2. Uzun Tepe Üyesi Simektitlerinin Yapısal Formülleri..	141
C.3. İskelə Üyesi Simektitlerinin Ana Element Çözümleme Sonuçları.....	143
C.4. İskelə Üyesi Simektitlerin Yapısal Formülleri.....	146

## KISALTMALAR DİZİNİ

Ah	: Anhidrit
An	: Anal sim
Ar	: Aragonit
B	: Biyotit
D	: Dolomit
F	: Feldispat
H	: Havlit
Hb	: Hornblend
Hd	: Hidroborasit
I	: İllit
$^{10}_{\text{I}} - ^{14}_{\text{S}}$	: İllit-simektit enterstratifiyesi
J	: Jips
K	: Kolemanit
Kal	: Kalsit
Kçt	: Kireçtaşı
Kf	: K-feldispat
Kl	: Klorit
Klm	: Kil Mineralleri
Klp	: Klinoptilolit
Ks	: Kalsedon
M	: Muskovit

O-CT : Opal-CT  
P : Probertit  
Pn : Pandermite  
Pmz : Pomza  
Q : Kuvars  
S : Simektit  
Sp : Sepiyolit  
St : Stronsiyanit  
T : Tepe  
U : Üleksit



## 1. GİRİŞ VE ÖNCEKİ ÇALIŞMALAR

### 1.1. Giriş

Neojen yaşlı Bigadiç volkanosedimanter baseninde, bu güne deðin deðiþik amaçlı çok sayıda çalışma gerçeklestirilmiþtir. Bununla birlikte, söz konusu çalışmalar incelendiðinde, basenin merkezi kesimine ait mineralojik-petrografik verilerin eksikliği ve buna bağlı olarak da özellikle neoformasyon minerallerinin alansal dağılımının ele alınamadığı gözlenmektedir. Oysa, bu dağılımın belirlenmesi, basenin paleocoðrafik gelişimine bilhassa fizikokimyasal koşulların ortaya konulabilmesi açısından önemli katkılardan sağlayabilecektedir.

Bu nedenle Bigadiç Neojen volkanosedimanter basenini merkezi kesiminin mineralojik, petrografik ve jðokimyasal özellikleri nin saptanması; neoformasyon minerallerinin dikey ve alansal dağılımlarını belirleyerek basenin paleocoðrafik gelişimi ile ilgili qörüslere katkıda bulunulması bu çalışmanın amacını oluþturmaktadır.

Yukarıda belirtilen amaçlar doğrultusunda 21 sondajdan (AS-2, EIS-3, EIS-4, EIS-7, EIS-8, EIS-9, EIS-14, EIS-15, EIS-16, EIS-17, EIS-18, EIS-20, EYS-2, GPS-18, KS-15, PS-45, PS-51, YTS-4, YTS-6, YTS-10, YTS-12) toplam 782 örnek alınmıştır (EK-1). Örneklerin birimlere göre dağılımı çizelge 1.1.'de verilmiştir. Sondajların yapılış amacı boratlı birimleri kesmek olduğundan özellikle Bigadiç formasyonunun Uzun Tepe, Emirler tüf ve iskele üyelerinden daha sık örnek alınmış, buna karþın-

Değirmenli tuf üyesinden sınırlı sayıda örnek alınabilmiş-tir.

#### Çizelge 1.1. Örneklerin Birimlere Göre Dağılımı

<u>Üye Adı</u>	<u>Örnek Sayısı</u>
İskele Üyesi	342
Emirler Tuf Üyesi	92
Uzun Tepe Üyesi	342
Değirmenli Tuf Üyesi	6
<hr/> Toplam	<hr/> 782

Bu örnekler üzerinde X-işinları çözümlemeleri (tüm kayac ve kıl franksiyonu) ve optik mikroskop incelemeleri; Uzun Tepe ve Iskele Üyelerinde saptanan saf simektitler üzerinde de ana(major) element çözümlemeleri gerçekleştirılmıştır. Bu inceleme ve çözümlemelerden elde edilen sonuçlar basında daha önce yapılmış çalışmaların verileri ile birleştirilerek neoformasyon minerallerinin dikey ve alansal dağılımları incelenmiştir.

#### 1.2. İnceleme Alanının Tanıtımı

Balıkesir ili sınırları içerisinde yer alan inceleme alanı, Balikesir'in güneydoğusunda, Bigadiç'in kuzeyinde ve 1/25.000 Ölçekli Balıkesir İ20-d3, İ20-d4, J20-a1, J20-a<sub>2</sub> paftalarını kapsamaktadır (EK-1).

Balıkesir-Manisa-İzmir karayolu üzerinde ve Balıkesir'e 37 km. uzaklıkta olan Bigadiç ilçesi bölgedeki en büyük yerleşim merkezidir.

Fazla engebeli olmayan çalışma alanında en düşük topografik seviyeyi Simav çayının yatağı oluşturur. Bölgedeki en önemli yükseltiler kuzeyde Sopatarla(661 m), güneyde Kocakırıran (737 m) ve Yazılıtaş (669 m), doğuda Hola (419 m.), batıda Kurtini(385 m) tepeleridir.

### 1.3. Önceki Çalışmalar.

1950 yılında borat yataklarının bulunması ile birlikte birçok araştırmacının ilgisini çekmeye başlayan Bigadiç bölgesinde bu güne degen bir çok çalışma yapılmıştır (Meixner, 1952, 1953, 1956; Baysal'dan, 1972; MTA, 1965; Bekiçoğlu 1961; Kutlu, 1963; Kalafatçıoğlu, 1964; Özpeker, 1969; Yalçın 1972; Ataman 1977a, 1977 b; Yılmaz, 1977a, 1977b; Ataman ve Baysal, 1978; MTA, 1978; Ataman ve Gündoğdu, 1981, 1982; Çakır ve Dündar, 1982; Gündoğdu, 1982; Gündoğdu ve Gökçen, 1982, 1983; Yılmaz vd. 1982; Gündoğdu ve Ataman, 1983; Gündoğdu, 1985; Gündoğdu ve Yalçın, 1985; Baysal vd., 1985; Baysal vd., 1986a, 1986b, 1986c).

Bunlardan Meixner (1952, 1953, 1956, Baysal'dan, 1972), MTA (1965), Bekiçoğlu (1961), Kutlu (1963), Özpeker (1969) ve Yalçın (1972) boratların Mineralojisi, oluşumu ve aramasına; Kalafatçıoğlu (1964), Yılmaz (1977a, 1977b) bölgenin Jeolojisine; Ataman (1977a, 1977b) ve Ataman ve Gündoğdu (1981, 1982) zeolit oluşumlarına; Ataman ve Baysal (1978) kil Minerallerine yönelik çalışmalarıdır. Bunların ayrıntısı Gündoğdu'da (1982) verilmiş olması nedeniyle aşağıda, daha ziyade bularının dışındakiler özetlenmeye çalışılacaktır.

Çakır ve Dündar(1982) Bigadiç bor tuzu havzasında  $350 \text{ km}^2$  lik bir alanın 1/25.000 ölçekli jeoloji haritasını yapmışlar, Bigadiç Neojeninin asidik ve bazik volkanikler ile bunlarla ardalanmalı sedimanlardan oluştuğunu belirtmişlerdir.

Gündoğdu (1982) bugüne deðin bölgenin Jeolojisi, mineralolojisi ve jeokimyası ile ilgili en önemli çalışmayı gerçekleştirmiþtir. İlk aşamada bölgenin 1/25:000 ölçekli jeoloji haritasını yapan araþtırıcı, Temel kayaçları, Taban volkanitleri ve Bigadiç formasyonu olmak üzere formasyon mertebede üç birim ayırmıştır. Bunlardan bir volkanosedimanter diziliimi oluþuran Bigadiç formasyonunu da kendi içinde Avşarbaşı, Deðirmenli tüf, Uzun Tepe, Emirler tüf ve İskele üyeleri olmak üzere beþ üyeye ayırmıştır. Araþtırıcı bölgede üç evrede etkin olan volkanizmaların ilk ürünlerinin kalkalkali andezit ve bazaltlardan oluşan Alt Miyosen yaþlı Taban volkanitleri olduğunu, Bigadiç formasyonunun Avşarbaşı üyesinde egemen karbonat mineralinin dolomit, kil mineralinin de dioktaedrik simektitler olduğunu ortaya koymuþtur. Araþtırıcı borat katmaları da ñaçeren Uzun Tepe ve İskele üyelerinde saptanan karbonat minerallerinin kalsit, dolomit ve aragonit; egemen kil minerallerinin de stevesit, mg-saponit, Fe-Al-saponit olduğunu; yaygın zolitleşmenin görüldüğü Deðirmenli ve Emirler tüf üyelerindeki klinoptilolitlerin Ca, K ve kısmende Mg'ca zengin, buna karþın Na'ca fakir olduğunu belirtmiþtir.

Gündoğdu ve Gökçen (1982,1983) Bigadiç formasyonunun Uzun Tepe ve İskele üyelerinde taban yapıları, kayma oluşukları ve

varvimsı Laminasyonlar olmak üzere üç tip sedimanter yapı-nın gözlendiğini belirtmişlerdir. Çizilme türündeki taban yapı-larının yer aldığı türbidit kumtasını oluşturan türbid akıntı ile kayma olusuklarının Geç Alpin dönemde oluşan çökelme ile çağdaş tektonik hareketlerden kaynaklandığını belirt-mışlardır.

Yılmaz vd. (1982) tarafından Hacettepe Üniversitesi ile Eti-bank arasındaki bir proje çerçevesinde 1/25.000 ölçekli Ba-lıkesir J20-d<sub>4</sub>, I20-a<sub>3</sub>, J20-a<sub>1</sub>, J20-a<sub>2</sub> ve J20-b<sub>1</sub> paftalarında jeolojik harita alımı çalışmaları gerçekleştirılmıştır.

Gündoğdu ve Ataman (1983) Bigadiç Formasyonundaki karbonat (kalsit, dolomit ve aragonit), borat (kolemanit ve üleksit) ve simektit (stevensit, saponit) minerallerindeki bazı eser ele-mentlerin (Li, Sr ve Ba) dağılımı ile bazı minerallerin (kar-bonat, simektit ve klinoptilolit)  $Sr^{87}/Sr^{86}$  oranlarının ölü-cümünü gerçekleştirmişler, karbonat ve borat minerelleri ile simektitlerin Li ve Sr içeriklerinin Avşarbaşı üyesin-den İskele üyesine doğru arttığını, bunun ortam tuzluluğunun alttan üste doğru artmasından kaynaklandığını belirtmişler-dir.

Gündoğdu (1985) Bigadiç Formasyonunun İskele üyesindeki karbonat mineralleri ile Simektitlerin dağılımını incelemiştir; kalsit ve aragonitin yaygın olduğu boratlı zonda egemen kil minerallerinin stevensit ve Mg-Saponit, buña karşın dolomi-tin daha önemli olduğu istifin üst kesimlerinde egemen kil mineralinin ise Al-Fe Saponit olduğunu ortaya koymuştur.

Araştıracı dolomit miktarının simektitlerin (Al·Fe·Ti) / Mg oranının artmasına paraler olarak arttığını, bununda artık çözeltilerin  $Mg^{++}/Ca^{++}$  oranının simektitlerin neoformasyonundan kaynaklandığını belirtmiş, böylece oluşacak karbonat minerallerinin cinsinin simektit neoformasyonu tarafından denetlendiğini ortaya koymuştur.

Gündoğdu ve Yalçın (1985) Bigadiç ve Emet Neojen basenlerinde stronsiyumun borat aramasında kullanılabilirliğini araştırmışlardır. Bigadiç formasyonunun Uzun Tepe ve İskelenin üyeleri ile Emet formasyonundan aldıkları örneklerde karbonat, borat ve simektit minerallerindeki stronsiyumun dikey dağılımını inceleyen araştıracılar Sr'un en önemli değerine boratlı zon'da ulaştığını saptamışlar ve Sr'un borat aramasında kullanılabileceğini belirtmişlerdir.

Baysal vd. (1985) tarafından 1/25.000, 1/5.000, 1/500 ölçekli jeolojik harita alımı ile daha önce yapılmış 1/5.000, 1/2.000 ve 1/500 ölçekli jeolojik haritada ve toplam 39.640 m sondaja ait karotlar yeniden incelenerek revize edilmiştir. Bu çalışma sonucunda bölgede görünür + muhtemel + mümkün olmak üzere toplam 1.029.722.057 ton borat rezervi ortaya çıkarılmıştır.

Baysal vd. (1986a) inceleme alanında yeraltı sorununun çözümüne yönelik hidrojeolojik araştırma yapmışlardır. Bu çalışma sırasında dört akifer (karbonat, tuf, boratlı birim ve alüvyon

akiferi) ayrılmış, bunlardan alt borat akiferi önemli soruna neden olan akifer olduğu ortaya konulmuş, çözüm olarak pompaj ve kuşaklama kanalı önerilmiştir.

Baysal vd.(1986b) Bigadiç formasyonunun alt ve üst tuf birimlerinde gözlenen zeolit oluşumlarının araştırılması ve ekonomik potansiyelinin ortaya konulması amacıyla gerçekleştirilen çalışmaları birimlerin 6 adet 1/25.000 ve 52 adet 1/5.000 ölçekli paftada dağılımını incelemiştir. Sonuçta örtülü yüzeylenen olmak üzere Alt tuf biriminde toplam 21520 milyon tonluk, üst tuf biriminde ise toplam 24322 milyon tonluk bir klinoptilolitli tuf rezervi belirlenmiştir.

Baysal vd.(1986c) tarafından bölgenin 29 adet 1/5.000 ölçekli jeoloji haritası yapılmış, bu 1/5.000 ölçüğündeki ayrıntılı jeoloji harita alımı çalışmalarıyla genelleştirilebilecek yeni sonuçlar elde etmişlerdir. Bu sonuçlara göre Yilmaz vd.(1982) tarafından hazırlanmış ve Baysal vd.(1985) tarafından revize edilmiş olan 1/25.000 ölçekli jeoloji haritalarında ve havzanın genelleştirilmiş litotrafigrafik istifinde gerekli revizyonlar yapılmıştır.

Yukarıda kısaca özetlenmiş olan çalışmalara bakıldığından özellikle basenin merkezi kesimindeki verilerin mineralojik, petrografik ve jeokimyasal açıdan eksik olduğu ve neoformasyon minerallerinin alansal dağılımının incelenmediği ortaya çıkmaktadır.

## 2.1. Giriş

İnceleme alanında önemli jeoloji çalışmaları Özpeker(1969), Gündoğdu(1982), Yılmaz vd.(1982), Baysal vd.(1985) ve Baysal vd.(1986c) tarafından gerçekleştirilmiş ve değişik biçimlerde litostratigrafik bölümlere yapılmıştır. Bunlardan Gündoğdu'nun (1982,1984) tanımladığı litostratigrafi birimlerin adlandırılması bu çalışmada temel alınmıştır.

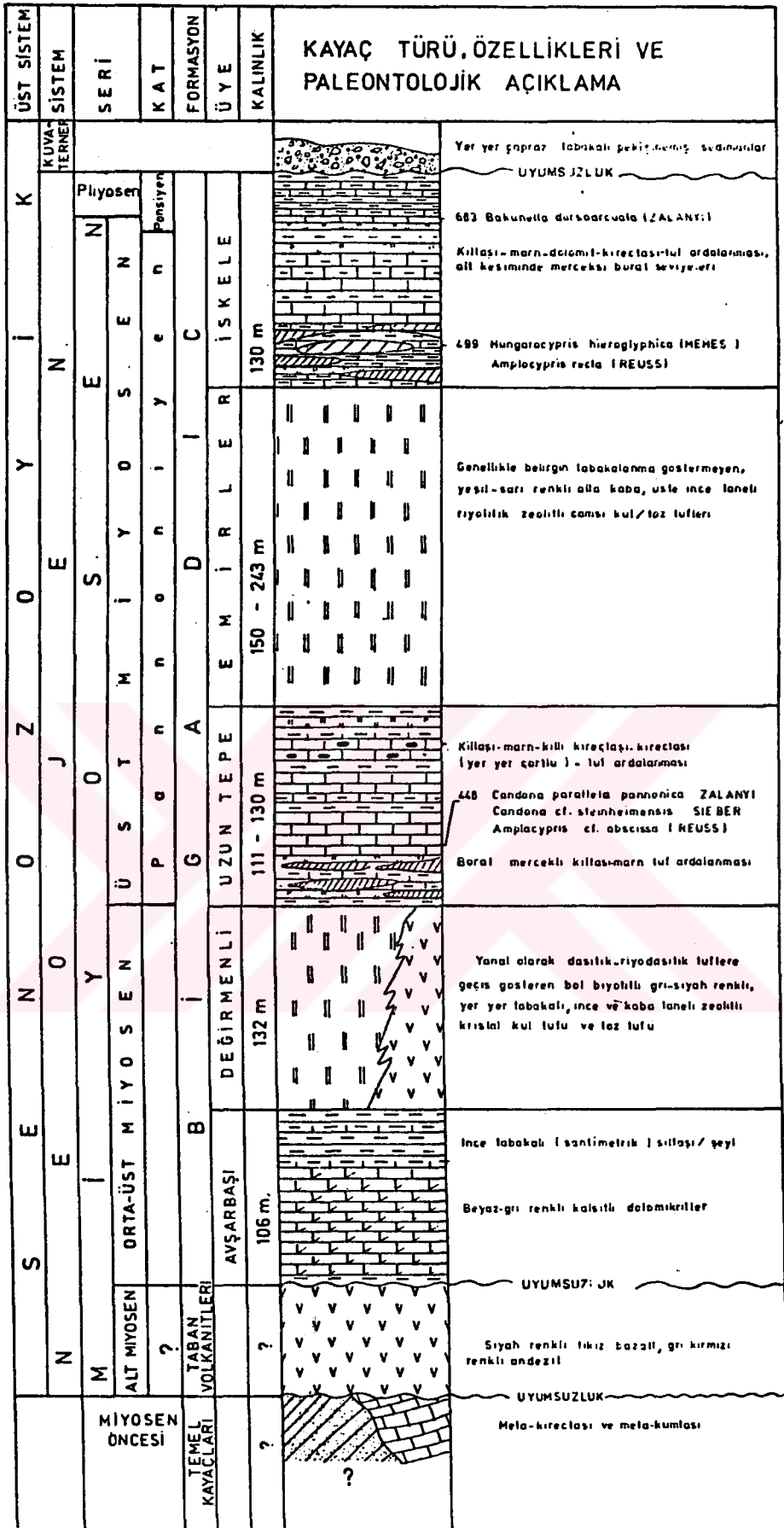
## 2.2. Litostratigrafi Birimleri

Bu çalışmada inceleme alanı ve yakın çevresi ile ilgili ayrıntılı jeoloji çalışması Gündoğdu (1982,1984) tarafından yapıldığı için ayrıca bir jeolojik inceleme yapılmamıştır. Sadece sondaj verilerinden elde edilen kalınlık ve litoloji değişimlerinin incelenmesi yoluna gidilmiştir.

"Pontit tektonik Birliği" (Ketin,1966) içerisinde yer alan çalışma alanı 1/25.000 ölçekli Balıkesir I20-d<sub>3</sub>, I20-d<sub>4</sub>, J20-a<sub>1</sub> ve J20-a<sub>2</sub> paftalarını kapsamaktadır(Ek-1). Bölgede yer alan kayaç toplulukları, alttan üste doğru Mesozoyik yaşlı ofiyolitik karmaşığı (Mof) oluşturan kayaçlar ve Neojen yaşlı volkanik ve gölsel sedimanter kayaçlardır. Bu kayaç toplulukları Gündoğdu (1984) tarafından Temel kayaçları, Taban volkanitleri ve Bigadiç formasyonu olmak üzere 3 litostratigrafik birime ayrılmıştır. Bunlardan bir volkanosedimanter dizilimi oluşturan Bigadiç formasyonu da kendi içinde Avşarbaşı, Değirmenli tuf, Uzun Tepe, Emirler tuf ve İskele üyeleri olmak üzere beş üyeye ayrılmıştır(Sekil 2.1).

### 2.2.1 Temel kayaçları(Möt)

Neojen yaşlı birimlerin temelini oluşturan bu kayaçlar kumtaşı ve kristalize kireçtaşları ile temsil edilirler.



Şekil 2.1 : İnceleme alanının genelleştirilmiş litostratigrafik istifi (Gündoğdu'dan, 1982)

Çalışma alanında yayılımları sınırlı olan bu kayaçlardan kumtaşları en iyi şekilde Yeniköy güneyinde, kristalize kireçtaşları ise Değirmenli kuzeyinde ve Yeniköy civarında yayılım gösterirler.

Bu birim üzerine açısal uyumsuzlukla Taban volkanitleri(Alt Miyosen) geldiğinden "Miyosen Öncesi" bir yaşı verilmiştir.

#### 2.2.2. Taban volkanitleri(Tt)

Bigadiç formasyonunun tabanında yer alan bu birimin litolojilerini bazalt ve andezitler oluşturmaktadır. Çalışılan sahada geniş bir yayılım gösteren bu birim bölgedeki volkanizmanın ilk ürünlerini temsil etmektedir. Bazaltlar Simav çayıının doğusunda Kocakır tepe ve Sarıyer tepe çevresinde mostra verirler. Bazaltların üzerine uyumsuzlukla Bigadiç formasyonunun Avşarbaşı üyesi gelmektedir. Andezitler, inceleme alanının kuzeydoğu Alabarda köyü ve Yerençimen sırtı; kuzeybatıda Yeniköy, Dedeçik sırtı ve Bağlarkırarı tepe çevresinde çıkışma verirler.

Gündoğdu (1984) andezitler üzerinde gerçeklestirdiği K-Ar yaşı tayinleri sonucunda Alt Miyosene karşılık gelen yaşları bulmuştur.

#### 2.2.3. Bigadiç formasyonu

Killi-karbonatlı birimlerle tüf lerin ardalanmasından oluşan bu formasyon Gündoğdu(1984) tarafından beş üyeye ayrılmıştır. Bunlar Avşarbaşı, Değirmenli tüf, Uzun Tepe, Emirler tüf ve İskele üyeleriidir.

### 2.2.3.a Avşarbaşı üyesi

Killi-karbonatlı kayaçlarla temsil edilen Avşarbaşı üyesinin mostralalarının en iyi gözlendiği yerler: Avşarbaşı, Sarıyer ve Salmanlıkır tepeleri ile Kadıköy çevresidir. Üye inceleme alanının dışında batıya doğru da önemli bir yayılım gösterir(Yılmaz vd.1982).

Bu birimin üst sınırı gölsel fasiyesteki Değirmenli tuf üyesi ile uyumludur.Herhangi bir makro ve mikrofossil bulunmadığından birime kesin yaş verilememiştir.Bununla birlikte Taban volkanitinin radyometrik yöntemle saptanmış Alt Miyosen yaşı ve üstündeki birimlerde fosillerle belirlenmiş Üst Miyosen yaşına dayanılarak bu birimin Orta-Üst Miyosen(?) yaşı olabileceğİ kabul edilmiştir (Gündoğdu, 1982,1984;Baysal vd.1985,1986c).

### 22.3.b. Değirmenli tuf üyesi

Bu üye birbirleri ile yanal geçişli karasal ve gölsel fasiyesteki tüflerden oluşur.GölSEL fasiyesteki tüfler Simav çayıının batısında Değirmeli,Kadıköy çevresinde dağılım gösterir ve inceleme alanının dışında batıya doğru da önemli bir yayılıma ulaşır(Yılmaz vd.,1982). Karasal fasiyesteki tüfleri ise inceleme alanının güney ve güneydoğu kesimlerinde Balaban ve Erkler tepeleri ile Durasalar,Yumruklu Yağcibedir köyleri çevresinde mostra verir. GölSEL fasiyesteki tüfler altta kaba üstte ise ince taneli tüflerden oluşur.Karasal fasiyesteki tüfleri ile gölSEL fasiyesteki tüfleri ayırcı ölçütler,gölSEL fasiyeste gözlenen

tabakalanma, küresel bozunma gibi sedimanter yapılar ile mineralojik verilerdir (Gündoğdu, 1982, 1984).

Gölsel fasıyesde gözlenen alta iri üstte ince taneli tuf şeklindeki bir derecelenmenin karasal fasıyesde gözlenmeyishi böyle bir derecelenmenin daha çok su ortamında geliştiğini göstermektedir. Bununla birlikte, söz konusu derecelenme havzanın batı kesiminde yer alan görsel tüflerde yer yer gözlenmemektedir (Baysal vd., 1986b). Bu durum birimin çökelimi sırasında bu bölgelerdeki gölün sıç (ya havzanın kenar kesimi ya da havzanın içindeki bir paleotopoğrafik yükseltinin olduğu yerler) olmasından kaynaklanabilir.

Avşarbaşı üyesi için yapılaşa benzer bir yaklaşımla üyenin Orta-Üst Miyosen yaşılı olduğu kabul edilmiştir (Gündoğdu, 1984).

#### 2.2.3.c. Uzun Tepe üyesi

Alt-orta kesimlerinde yer yer borat katmanları da içeren bu birim kireçtaşısı, killi-kireçtaşısı, kilitası ve tüflü birimlerin ardalanmasından oluşur. İnceleme alanının GB'sında Simav çayıının her iki tarafında (Kadıköy GD'su, Uzun tepe ve Kocadağ tepe) ve Emirçam tepe eteklerinde; KD'da, Emirler ve Alabarda köyleri çevresinde, KB'da ise Köserelik tepe, Bağlarkırarı ve Mezardüzü tepe civarında önemli yayılım gösterir. Sondajlardan itibaren yapılan kalınlık hesaplamalarında bu birimin ortalama kalınlığı 141 m. bulunmuştur.

Sondajların dikme kesitlerinde üye istifi Değirmenli tuf üyesi üzerinde kilit taşı, tuf ve kil laminalı kireçtaşı ile başlamaktadır. Boratlı zonda gözlenen cevher mineralleri önem sırasına göre kolemanit, probertit, havlit, üleksit, meyerhofferit, inyoit ve hidroborasittir. Ayrıca, bu zonda jips, anhidrit ve sölestin de yer almaktadır. Bu minerallerden probertit ve üleksit genellikle söz konusu zonun alt kesimlerinde gözlenirken, kolemanit + jips + anhidrit beraberliği üst kesimlerde önemlidir. Diğer taraftan, üleksit ve probertit'in beraber bulunduğu sondajlarda bu mineraler killerle ayrılmış bir şekilde ve ardalanmalı olarak yer almaktadır. Üye istifinin üst kesimi alt kesiminde olduğu gibi killi-karbonatlı birimlerle tüflerin ardalanmasından oluşmaktadır.

Üyede farklı türlerde bol miktarda sedimanter yapının varlığı da ortaya konulmuştur. Bu yapılar yumuşak sediman deformasyon yapıları (sinsedimanter kıvrım ve kırıklar, slump yapıları, yük-çökme yapıları, top ve pillow yapıları, alev yapıları ve budinaj yapısı), dikey tane boylanması (Boumanın Ta'sı) ve yer yer milimetrik tabakalanmalı varaklısı laminasyonlardır.

Birimin alt sınırı Değirmenli, üst sınırı ise Emirler tuf üyesi ile tedrici geçişlidir.

Gündoğdu (1982) tarafından fosil içereğine dayanılarak birime Üst Miyosen (Pannoniyen) yaşı verilmiştir.

### 2.2.3.d. Emirler tuf üyesi

Bu birim gölgesel fasyesteki tüflerle temsil edilir. Havzanın merkezi kesiminde yayılım gösteren birim en iyi şekilde Emirler köyü KB'sı, Kireçlik tepe G'yi, Beyendikler köyü çevresi ve Acepdere vadisinin iki yamacında gözlenmektedir. Sonrajlardan itibaren yapılan kalınlık ölçümünde birimin ortalamama kalınlığı 226 m. olarak saptanmıştır.

Emirler tuf üyesi altta bol pomza içeren sarımsı -yeşil renkli kaba taneli tüflerle başlar. Üst kesimi ise beyazımsı-sarı renkli ve makroskopik olarak hiç bir bileşeni ayırt edilemeyen ince taneli tüflerden oluşmaktadır.

Birimin alt sınırı Uzun Tepe üyesi ile tedrici geçişlidir. Üst sınırı ise İskele üyesi ile uyumludur.

Uzun Tepe ve İskele üyesinde saptanan yaşlara göre Emirler tuf üyesine Pannonyen yaşı verilmiştir (Gündoğdu, 1984).

### 2.2.3.e. İskele üyesi

Killi-karbonatlı kayaçlarla tüflerin ardalanmasından oluşan bu birim Uzun Tepe üyesi gibi alt-orta kesimlerinde borat oluşumları içermektedir. Üyenin en iyi şekilde gözlendiği yerler İskele, Osmanca ve Yolbaşı köyleri ile Emircam T. çevresidir. Birimin sondajlardan itibaren saptanan ortalama kalınlığı 147 m. dir.

Üye istifi Emirler tuf üyesi üstünde, kilitası, kireçtaşısı, kıl laminalı kireçtaşısı ve tüflerle başlar. Daha sonra kilitası ve

kıl laminalı kireçtaşı arakatkılı değişik sayı ve kalınlıkta borat katmanları içeren boratlı zon gelir. Boratlı zon'un üzerinde ise tüf arakatkıları içeren kiltaşı, kıl laminalı kireçtaşı yer almaktadır. Bazı sondajlarda (AS-2, EİS-9, PS-45, PS-51, YTS-4, YTS-6, YTS-

10) istifin en üst kesiminde ise muskovitli silttaşısı bulunmaktadır. Boratlı zonda gözlenen cevher mineralleri genellikle kolemanit ve üleksit olmakla birlikte pandermit, inyoit, meyerhoffit ve hidroborasite de yer yer rastlanılmaktadır. Bunların yanısıra jips ve sölestin mineralleri de yerel oluşumlar şeklinde mevcuttur. Havzanın merkezi kesimdeki sondajlarda (PS-45, PS-51 ve YTS-12) birimin üst kesimlerindeki killi-karbonatlı seviyeler, yer yer bitki klintileri içermektedir.

Uzun Tepe üyesinde olduğu gibi bu üyede de yaygın biçimde farklı tiplerde sedimanter yapılar gözlenmiştir. Bu yapılar, varvimsı laminasyonlar ve yumuşak sediman deformasyon yapılarıdır (slump yapıları, çökelme ile çağdaş kıvrım ve kırıklar, yük-çökme yapıları, alev yapıları, top ve yastık yapıları ve budinaj yapısı).

Birimin alt sınırı Emirler tüf üyesi ile uyumlu olup, üst sınırı ise Kuvaterner oluşukları ile uyumsuzdur.

Fosillere dayanılarak birime Üst Miyosen-Alt pliyosen yaşı verilmiştir (Gündoğdu, 1984).

#### 2.2.4. Kuvaterner oluşukları

Kuvaterner oluşukları Simav çayının alüvyonları ile temsil edilirler. Yuvarlak ve köşeli çakıllarla kum boyundaki pekişmemiş sedimanlardan oluşur. Çakıl ve kum metamorfik, volkanik ve ofiyolitik kayaçlardan türemiştir.

#### 2.3. Tektonik

Bölgemin tektonik yapısı oldukça sadedir. Bu yapıyı oluşturan esas tektonik unsurlar: kıvrımlar, faylar ve diskordanslardır.

##### 2.3.1. Kıvrımlar

İnceleme alanında kıvrımlar, genellikle KD-GB yönünde uzanırlar. Bununla birlikte bu ana kıvrım doğrultusuna dik yönde gelişmiş yerel kıvrımlarda mevcuttur.

###### 2.3.1.a. antiklinaller

İncelenen bölgede iki önemli antiklinal mevcuttur. Bunlar Beyendikler ve Salmanlar antiklinalleridir. Beyendikler antiklinali İskele üyesinde DKD-BGB doğrultusunda gelişmiştir. Salmanlar antiklinalinin çekirdeğinde Taban volkanitlerinin bazaltik birimi ile Bigadiç formasyonunun Avşarbaşı üyesi yüzeylemektedir. Asimetrik olan bu antiklinalın ekseninin yeri veri yetersizliği nedeni ile belli değildir (Gündoğdu, 1982).

###### 2.3.1.b. senklinaller

Bölgede eksenleri yaklaşık KD-GB doğrultulu iki senkinal

bulunmaktadır. Her ikiside iskele üyesi içinde gelişmiş olan bu senklinaller İskale ve Boztepe senklinalleridir. Bundan başka inceleme alanının güneyinde İşıklar köyü civarında gözlenen Emirçam senklinali ise çanak şeklinde kapalı bir senklinaldır.

### 2.3.2. Faylar

İnceleme alanında mevcut tüm faylar kabaca KD-GB ve KB-GD doğrultulu olup, eğim atımlı ve doğrultu atımlı fay niteliğindedir.

Bunlardan yaklaşık KB-GD doğrultusunda uzanan Sarıyer fayı eğim atımlı fayların en büyüğü olup, Taban volkanitleri ile Bigadiç formasyonunu etkilemiştir. Yine aynı şekilde Taban volkanitleri ve Bigadiç formasyonunu etkileyen KB-GD doğrultulu iki fay daha vardır. Bunlar Alabarda ve Kalabak faylarıdır. Sadece Bigadiç formasyonunu etkileyen eğim atımlı faylar ise KD-GB doğrultulu KB'daki Yeniköy ve güneydeki Emirçam faylarıdır. Doğu'da K-G uzanımlı Merdal Düzü fayı ise Uzun Tepe ve Emirler tuf üyesi içinde gelişmiştir.

İncelenen bölgedeki tek doğrultu atımlı fay KD-GB uzanımlı Kisekaya fayıdır. Bu fay Temel kayaçları ile Bigadiç formasyonunun tüm üyelerini kesmektedir.

### 2.3.3. Çatlak sistemleri

İnceleme alanında bulunan kayaçlardan yalnızca Emirler türlerinde iyi gelişmiş çatlak sistemleri bulunmaktadır. Bunlar

kıvrım kanatlarında gözlenen gerilme çatlağı niteliğindedir. (Gündoğdu, 1984).

#### 2.3.4. Diskordanslar

İnceleme alanında Taban volkanitleri ile Temel kayaçları ve Bigadiç formasyonu (Avşarbaşı üyesi) ile Taban volkanitleri arasında "uyumsuz seri" niteliğinde bir diskordans bulunmaktadır. Bigadiç formasyonunun üyelerinin Temel kayaçları ve Kuvaterner oluşukları ile olan ilişkileri ise bir açısal diskordans niteliğindedir. Diğer uyumsuzluklar ise Temel kayaçları ile Uzun Tepe üyesi ve Değirmenli ile Emirler tüf üyesi dokanaklarında gözlenmekte olup, yerel niteliktir. Bunlar bir diskordanstan çok "aşmalı sedimentasyon" şeklinde de adlandırılan (Baysal vd. 1986c) Miyo-Pliyosen gölünün çökelme ile çağdaş yerdeğiştirmesine bağlı olarak ortaya çıkan "lakünlü seriler" şeklinde değerlendirilmiştir (Gündoğdu, 1984).

### 3. MİNERALOJİK-PETROGRAFİK İNCELEMELER

#### 3.1. Giriş

Bigadiç formasyonunun Değirmenli tüf, Uzun Tepe, Emirler tüf, ve İskele üyelerinin basenin merkezi kesimindeki mineralojik-petrografik özelliklerini belirlemek amacıyla sondaj karotlarından alınan örnekler üzerinde çeşitli laboratuvar yöntemleri uygulanmıştır. Bu bölüm kapsamı içerisinde önce bu laboratuvar yöntemleri tanıtılmak, daha sonra elde edilen sonuçlar üzerinde durulacaktır.

#### 3.2. İnceleme-Çözümleme Yöntemleri

Mineralojik-petrografik incelemeler için alınan kayaç ve cevher örnekleri örnek hazırlama laboratuvarlarında ön hazırlama işlemine tabi tutulmuştur. Örnekler önce laboratuvara 1-2 cm.lik parçalar halinde kırıldıktan sonra 4 eşit parçaşa bölünmüş, bunlardan 2'si tüm kayaç ve kilfranksiyonu için kullanılmış, diğer iki çeyrek ise gerekirse incekesit veya daha sonraki olasılık bir incelemede kullanılmak için "tanık örnek" olarak saklanmıştır. Örnekler daha sonra diskli deşirmeye öğütülmüştür.

Hazırlanan örnekler üzerinde değişik amaçlarla optik mikroskop incelemeleri ile X-ışınları (tüm kayaç ve kil fransiyonu) çözümleme yöntemleri uygulanmıştır. Optik mikroskop incelemeleri tüfler ve cevher örnekleri üzerinde gerçekleştirilmiştir. Tüflerin adlandırılması ise Schmid'e (1981) göre yapılmıştır.

Alınan örneklerin tümünün ince taneli olması nedeni ile X-ışınları difraktrometresinden (X-RD) geniş ölçüde yararlanılmıştır. Çözümlemeler Philips PW1140 model X-ışınları difraktometresinde gerçekleştirilmiştir. Tüm kayaç (TK) ve kil fransiyonunu (KF) oluşturan mineraller tanımlandıktan sonra bunların yarı nicel yüzdeleri saptanmıştır.

Tüm kayaç(TK) çözümlemeleri için gerekli toz difraktogramları aşağıdaki aletsel koşullarda elde edilmiştir.

Anod : Cu (CuK $\alpha$ ,  $\lambda=1,5418$ );

Filitre : Ni;

Gerilim : 40 kV;

Akım : 18 mA;

Goniometre hızı: 2°/dak.,

Kağıt hızı : 2.5cm/dak;

Duyarlılık:  $1 \times 10^3$ ;

Zaman Sabiti : 1 Sn.;

Yarıklar : 1°-0.1 mm.1°;

Kayıt aralığı : 5°-35°(2θ).

Bu difraktoğramlardan itibaren mineraller A.S.T.M.(1972) kartotekslerinden yararlanılarak tanımlanmıştır. Bunların yarı nicel yüzdeleri ise Gündoğdu (1982) tarafından geliştirilen yönteme göre hesaplanmıştır. Pik şiddetlerinin kullanıldığı bu yöntemde klinoptilolit, analsim, kuvars, feldispat, opal-CT, kalsit, aragonit, biyotit ve kil minerallerinin yanıt oranları dolomitin(104) yansımıası (20:30.9°) referans alınarak ölçülmektedir. Bu ölçüm ise, ağırlıkça (%50 dolomit + %50 mineral) içeren homojen karışıklardan elde edilen difraktoğramlardaki pik yüksekliklerinin oranı alınarak hesaplanmaktadır. Söz konusu yöntemdeki bağıl hata killi-karbonatlı kayaçlarda %14.56; tüflerde ise %21.34 dür(Gündoğdu, 1982).

Kil franksiyonunun mineralojik bileşimini belirlemek için ayrıntısı Gündoğdu(1982) ile Gündoğdu ve Yılmaz'da (1984) verilen kil ayırma yöntemi uygulanmıştır. Bu yöntem ana hatları ile kimyasal çözme(karbonat, sülfat gibi mineral fazları ile organik madde), yıkama(kararlı süspansiyon elde

edilmesi ) ve sifonlama (= kil franksiyonunun kazanılması) işlemlerinden oluşmaktadır. Sedimentasyon yolu ile ayrılan kil franksiyonlarından (2, 'dan küçük) kil minerallerinin sağlıklı bir şekilde tanımlanabilmesi için üç ayrı difraktoğram kayıtı (normal, etilen glikol, fırınlı) gerçekleştirilmiştir. Kil minerallerinin tanımlanması ve yarı nicel yüzdeleri ise, bunların (001) yansımalarına göre yapılmıştır. Kayıtlar sırasındaki aletsel koşullar kağıt hızı(2 cm/dak) dışında (TK) çözümlemelerindeki gibidir.

### 3.3. İnceleme ve Çözümleme Sonuçları

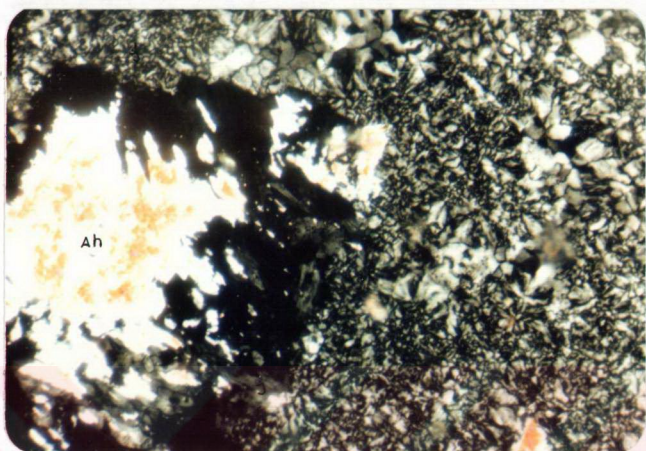
#### 3.3.1. Değirmenli tuf üyesi

Bu üyenin gölsel fasiyesteki birimlerini kesen EİS-14 ve EİS-15 sondajlarından alınabilen toplam altı örnek üzerinde X-RD(TK) çözümlemeleri gerçekleştirilmiştir. Çözümleme sonuçlarına göre bu kayaçları oluşturan bileşenler:kalsit, feldispat (plajiyoklaz, sanidin ), analsim, kuvars, biyotit ve kil mineralleridir (Ek çizelge A.1). Bu minerallerden feldispat, biyotit ve kil mineralleri tüm örneklerde gözlenmiştir. Diğer minerallerden kuvars, 5; analsim 4, kalsit 2 örnekte yer almaktadır. Bu tüfleri oluşturan bileşenlerden feldispat, kuvars ve biyotit volkanik kökenli ; ilk kez bu çalışmada saptanan analsim ise volkanik camın göl ortamındaki zeolitleşmesinin ürünüdür.

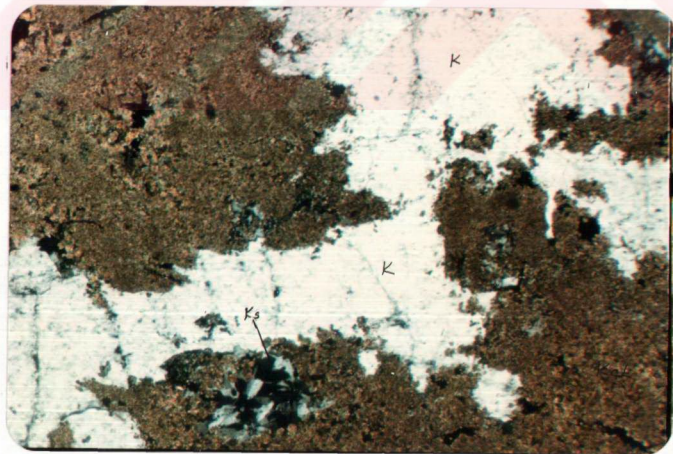
#### 3.3.2. Uzun Tepe Üyesi

Üye istifinde sık gözlenen tüfler üzerinde gerçekleştirilen

(OM) incelemeleri, bu kayaçların plajiyoklas, sanidin, kuvars, biyotit, hornblend, muskovit ve kayaç parçacıkları içerdiklerini ortaya koymustur. Polisentetik ikizlenme, zonlu yapı ve yer yer karbonatlaşma izleri gösteren plajiyoklaçlar andesin ( $Ab_{55} An_{45}$ ) bileşimli olup miktarları incelenen tüm kesitlerde sanidin ve kuvarstan fazladır. Örneklerde en fazla gözlenen koyu renkli mineral olan biyotit yarı özsékilli ve kahverengi pleokroizmaya sahip olup yer yer kloritleşme ve opasitleşme göstermektedir. Diğer bileşenlerden volkanik kayaç parçacıkları, hornblend, muskovit ve opak minerallere bazı örneklerde eser miktarda rastlanılmıştır. Schmid (1981) sınıflamasına göre kristal kül tüfü özelliği taşıyan bu tüflerin bazlarında gözenek suyundan itibaren çökelmiş sparikalsit cimentonun varlığı da saptanmıştır. Ayrıca bağlayıcı malzemedede ikincil süreçlerle gelişmiş killeşme-opaklaşma gibi bozunma izleri de gözlenmektedir. Olaşılık ikincil değişimleri saptayabilmek amacıyla boratlı zondan alınan örnekler üzerinde (OM) incelemeleri gerçekleştirılmıştır. Bu incelemelere göre anhidrit+kuvars+jips beraberliğinin gözlendiğiörnekte anhidrit ve kuvars taneler agre-gatlar şeklinde jipsin gözeneklerinde yer almaktadır. Bunlardan anhidrit kenarlarından itibaren jipse dönüşüm izleri göstermektedir (Şekil 3.1). Anhidrit kristallerinin bir merkezden itibaren işinsal dizilik göstermesi ve jeodlar şeklinde gözlenmesi suyun aktivitesi düşük gözenek çözeltilerinden itibaren oluştuğunu gösterebilir. Bazı kesitlerde yelpazeler



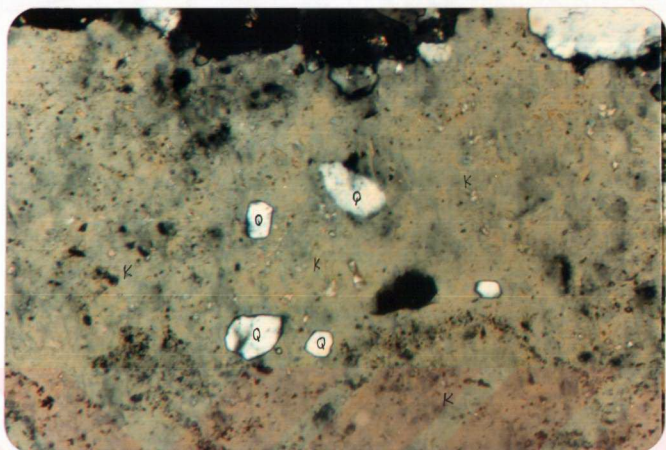
Şekil 3.1 : Uzun Tepe üyesinde boratlı zonda gözlenen anhidrit (Ah)-jips (J) dönüşümü  
(Çift Nikol, 50x )



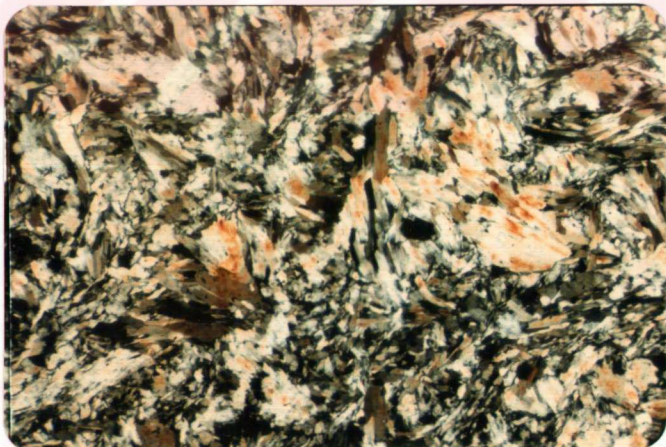
Şekil 3.2 : Uzun Tepe üyesi kireçtaşlarının (Kçt) boşluklarında gözlenen Kolemanit (K) ve Kalsedon (Ks) oluşumları  
(Çift Nikol, 40x)

şeklinde gelişmiş jips kristallerinde polisentetik ikizlenme yaygın olarak gözlenmektedir. Kolemanit+jips+anhidrit parajenezinin gözlendiği örneklerin bazlarında kolemanitler özsekilsiz levhamsı taneler halinde bulunmaktadır. Ayrıca jipsin gözeneklerinde bir merkezden itibaren büyümüş yelpazeler şeklinde kolemanit oluşumları da gözlenmiştir. Kolemanit+kuvars+kalsit parajenezi gözlenen örnekde kolemanit ve kuvars (kalsedon) kireçtaşının çatlaklarında yer almaktadır (Şekil 3.2.). Bazı kesitlerde ise kolemanitlerde yer yer karbonatlaşma izleri gözlenmektedir. Ayrıca incekesiti yapılan bir kolemanitörneğinde de detritik kuvars kapanımları gözlenmiştir (Şekil 3.3.). Probertit ise işinsal yapılı yumrular şeklinde olup hiç bir bozunma izi göstermemektedir. (Şekil 3.4.).

Bu üyeye ait değişik sondajlardan alınan (EIS-3=46, EIS-4=20; EIS-7=37; EIS-9=45, EIS-14=29; EIS-15=21, EIS-16=39, EIS-17=24; EIS-18=19, EIS-20=25; EYS-2=36) toplam 342 örneğin 336'sında X-RD (TK) çözümlemeleri gerçekleştirılmıştır. Bu örneklerde kalsit, dolomit, aragonit, stronzyanit, klinoptilolit, analsim, feldispat, kuvars, opal-CT, hiyotit, hornblend, Sölestin ve kil mineralleri saptanmıştır (EK-Çizelge A.2.). Bu minerallerden stronzyanit, analsim, hornblend ve sölestinin varlığı ilk defa bu çalışmayla ortaya çıkarılmıştır. Boratlı zonda saptanan cevher mineralleri kolemanit, probertit, üleksit, havlit, hidroborasit ve meyerhofferittir. Ayrıca boratlı zonda bu



Şekil 3.3 : Uzun Tepe üyesine ait Kolemanit(K) kristali içinde detritik kuvars(Q) kapanımları  
(Çift Nikol, 252x)



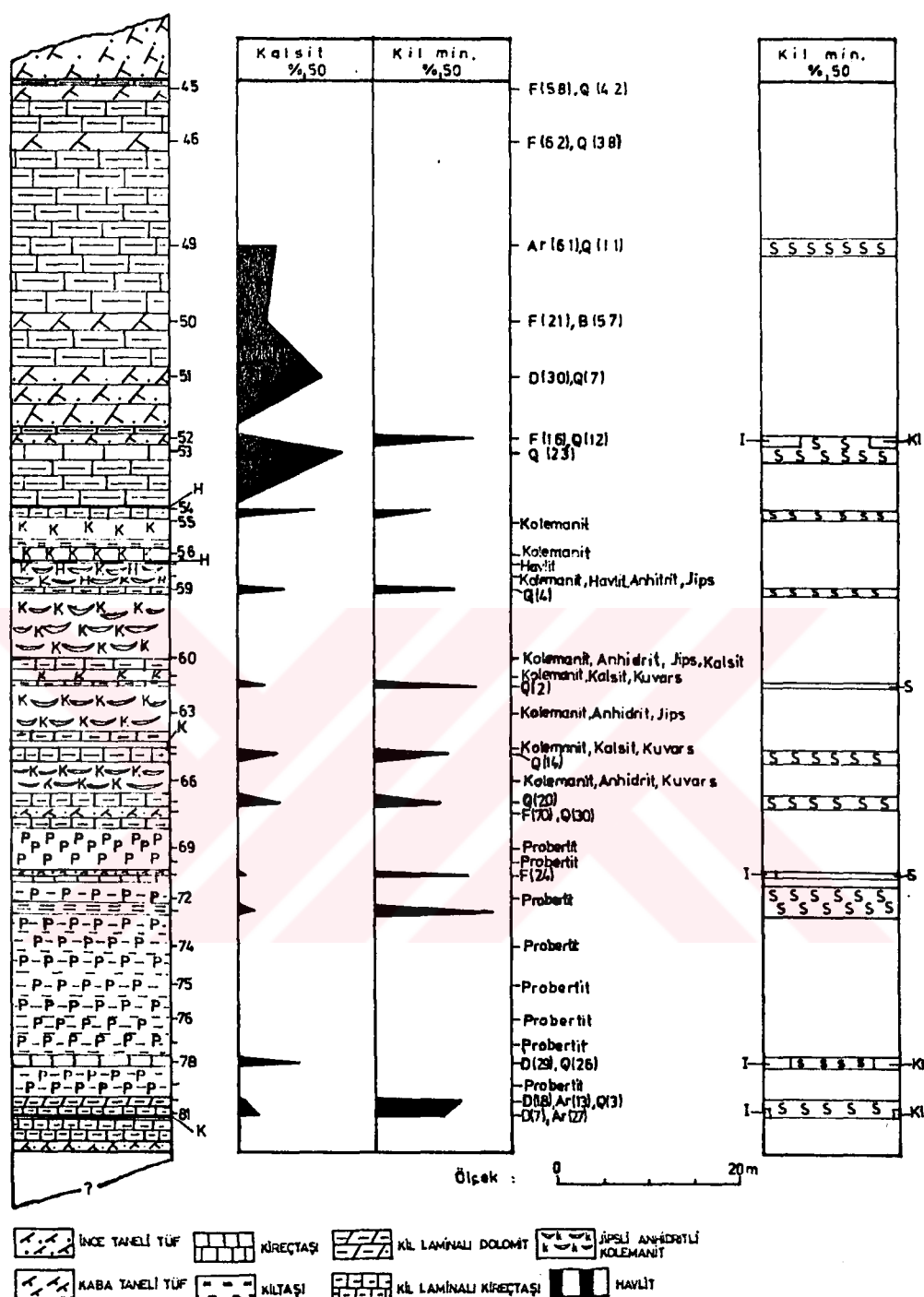
Şekil 3.4: Uzun Tepe üyesine ait lifsi-işinsal probertit mineralleri  
(Çift Nikol, 50x)

cevher mineralerine ilave olarak anhidrit ve jips gözlenmiştir. Saptanan mineralerin sondajlara göre dağılımı, çizelge 3.1'de, borat minerali dışındakilerin bulunuş frekansları ve ortalama yüzdeleri de çizelge 3.2'de verilmiştir. Çizelge- den de görülebileceği gibi birimdeki egemen karbonat minerali kalsittir. Diğer karbonat mineralerinden dolomitin hem bulunüş frekansı hemde ortalama yüzdesi düşük, buna karşın aragonitin bulunüş frekansı düşük fakat ortalama yüzdesi yüksektir. Diğer mineralerden feldispatın bulunüş frekansı yüksek ortalama yüzdesi düşük; kil mineralerinin ise hem bulunüş frekansı, hem de ortalama yüzdesi yüksektir. Bu- raya kadar istifdeki önemleri üzerinde durulan mineralerin dikey dağılımları 4 sondajda incelenmiştir (Şekil 3.5, 3.6, 3.7, 3.8, 3.9.). Kesitlerden de görülebileceği gibi egemen karbo- nat minareli olan kalsitin miktarı boratlı zon ve tüflü se- viyelerde azalmakla birlikte genellikle alttan üste doğru karbonatlı kayaçların artışı ile doğrusal olarak artmaktadır. EİS-15 dışındaki tüm sondajlarda gözlenen dolomit bu üyenin Değirmenli ve Emirler tuf üyeleri ile olan geçiş zon- larında yer almaktadır. İki sondaj dışında (EİS-4, EİS-15) tüm sondajlarda gözlenen aragonit ile dolomit arasında be- raber bulundukları örneklerde bolluk açısından bir zıtlık göze çarpmaktadır. Aynı özellik Gündoğdu (1982) tarafından da gözlenmiştir. Bir diğer göze çarpan husus ta aragonitin havzanın kuzeyinde yapılmış olan EİS-16 sondajında daha önemli olması ve opal-CT ile önemli parajenez oluşturmasıdır. Bir stronsiyum karbonat minerali olan stronsianite

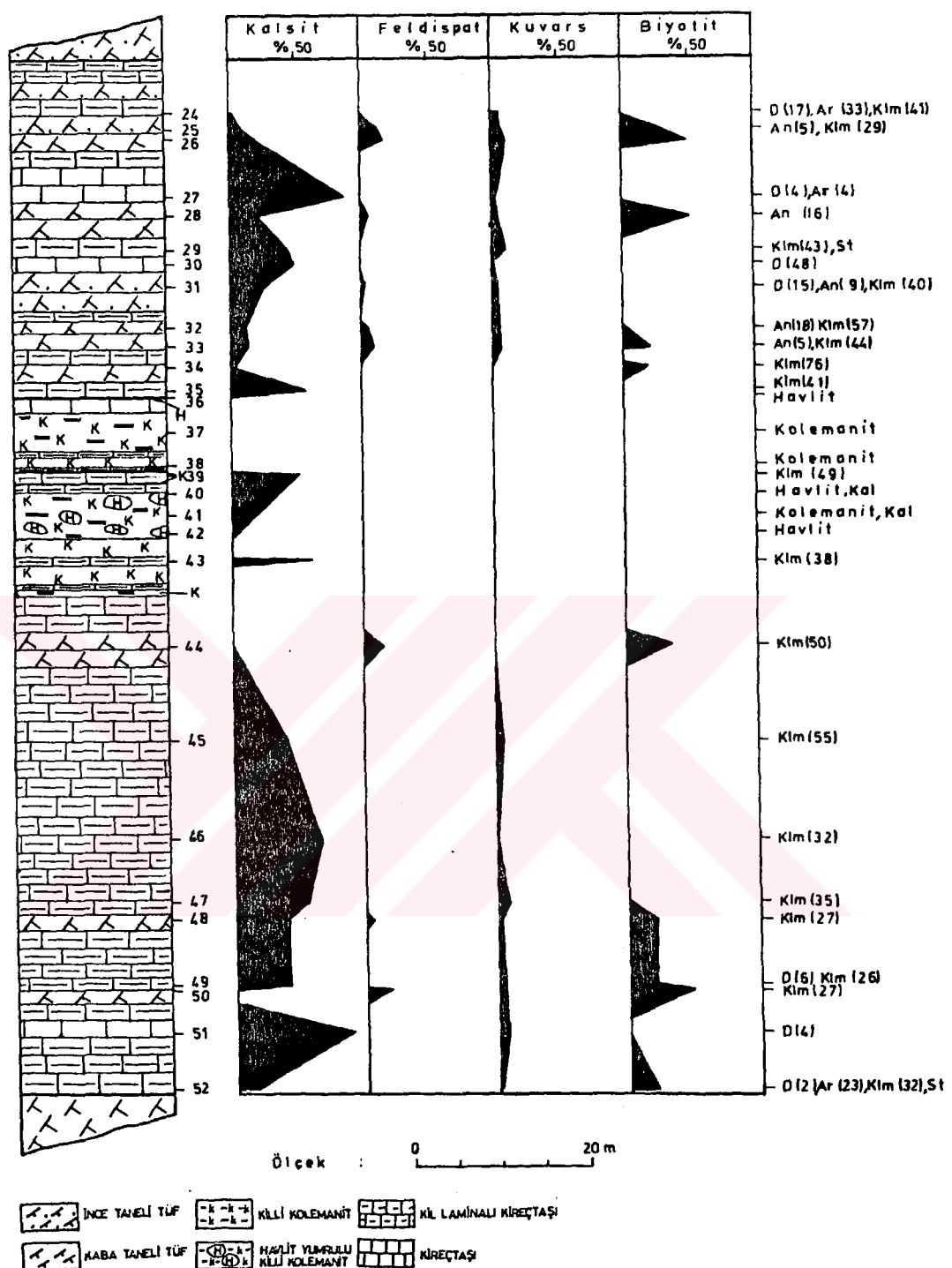
Göre Dağılımı. 3.1. Uzun Tepe Üyesinde Saptanın Minarallerin Sondajlara Göre Dağılımı.

**ŞİZELGE 3.2. Uzun Tepe İyiyesinde Saptanan Borat Disı Minerallerin Bulunuş Frekansları, En Az, En Çok ve Ortalama %'ları.**

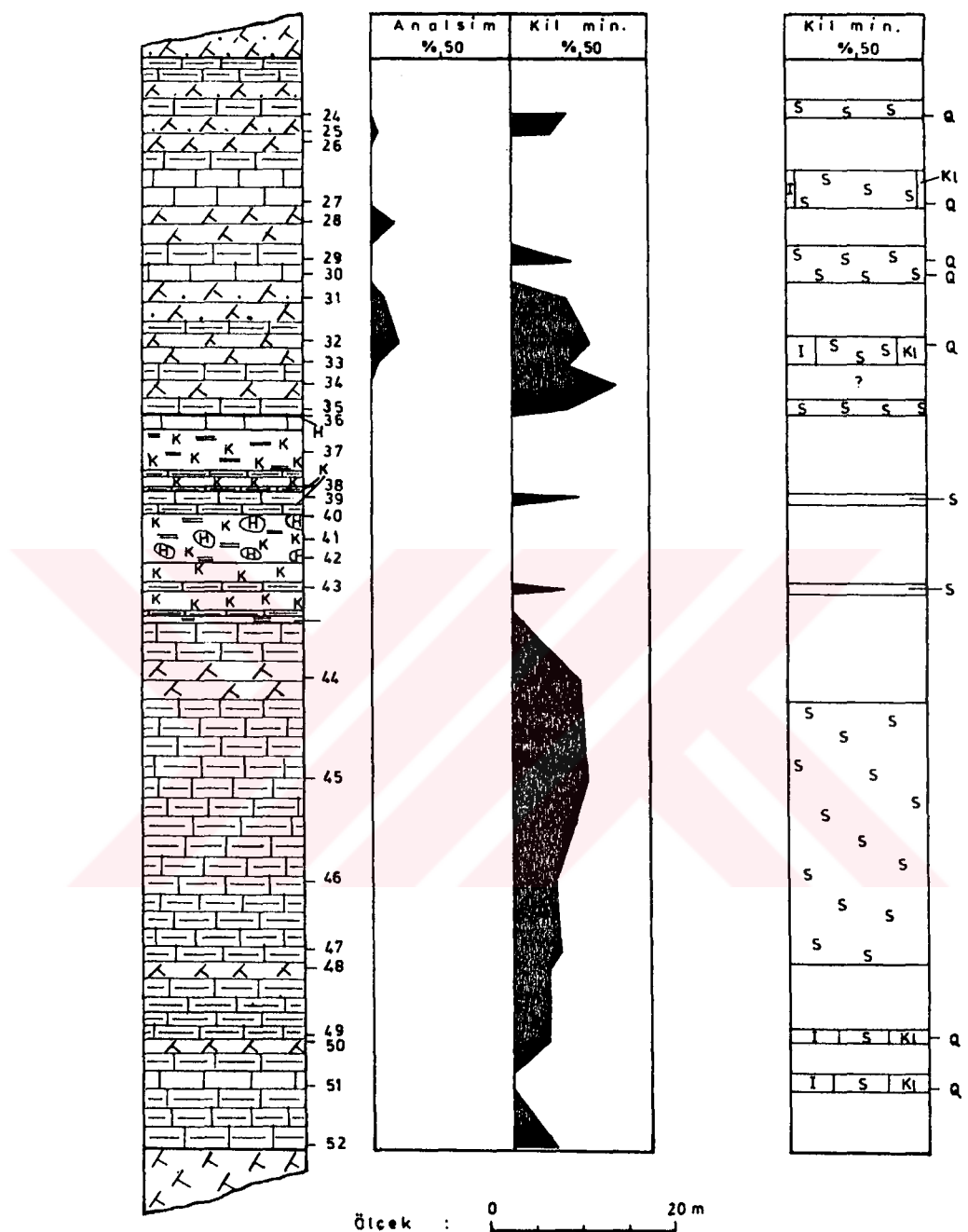
<u>Mineral</u>	<u>Buluñus Frekansi (%)</u>	<u>En az (%)</u>	<u>En çok (%)</u>	<u>Ortalama (%)</u>
Kalsit	89	1	100	39
Dolomit	15	2	74	20
Aragonit	18	4	88	36
Klinoptilolit	14	5	89	33
Analsim	3	5	18	10
Feldispat	40	3	70	17
Kuvars	7	1	43	9
Opal-CT	4	6	24	13
Biyotit	22	11	71	34
Kıl Mineralleri	65	14	100	46



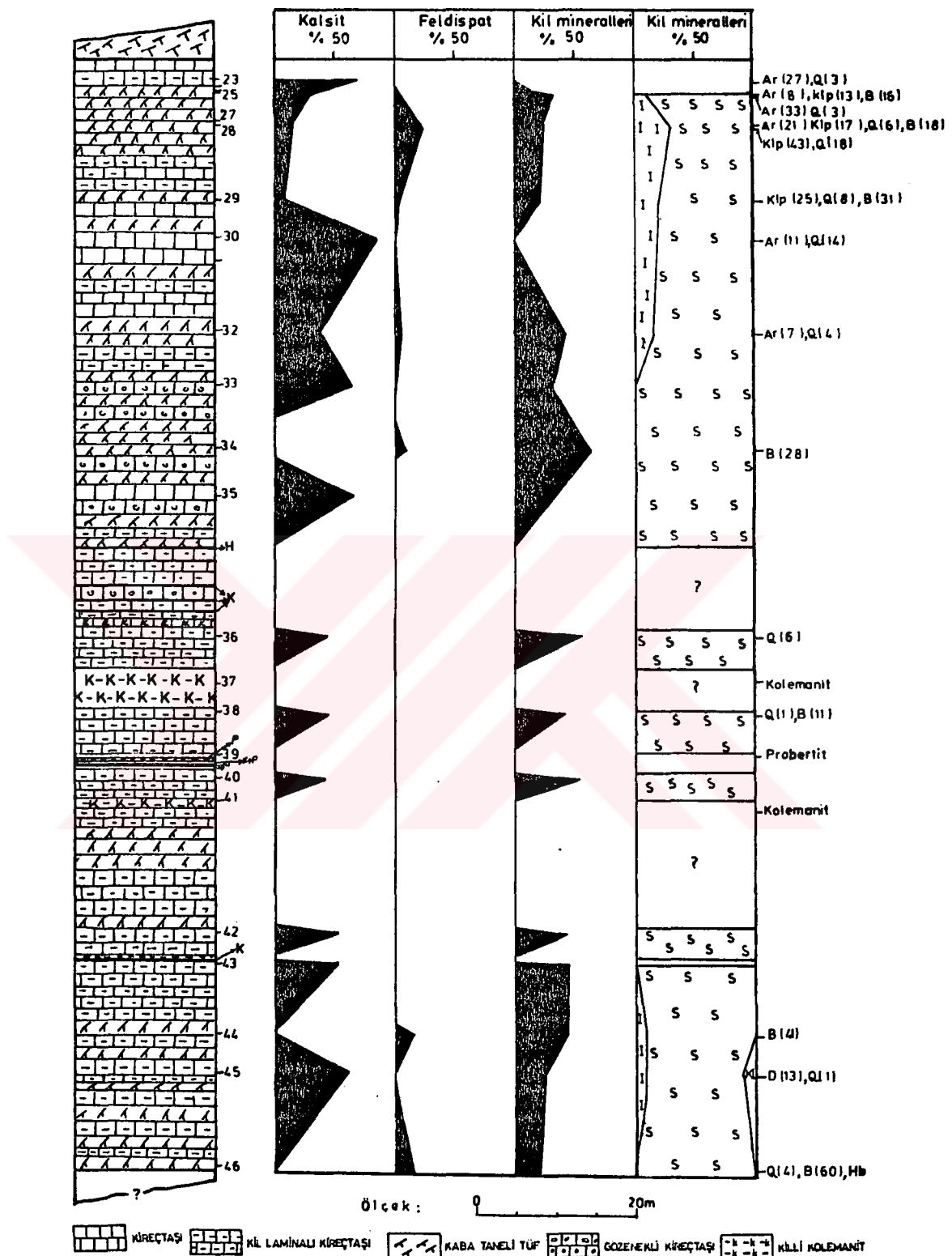
Şekil 3.5 Uzun Tepe üyesinde saptanmış bazı minerallerin EİS-7 sondajındaki dikey daçılımları



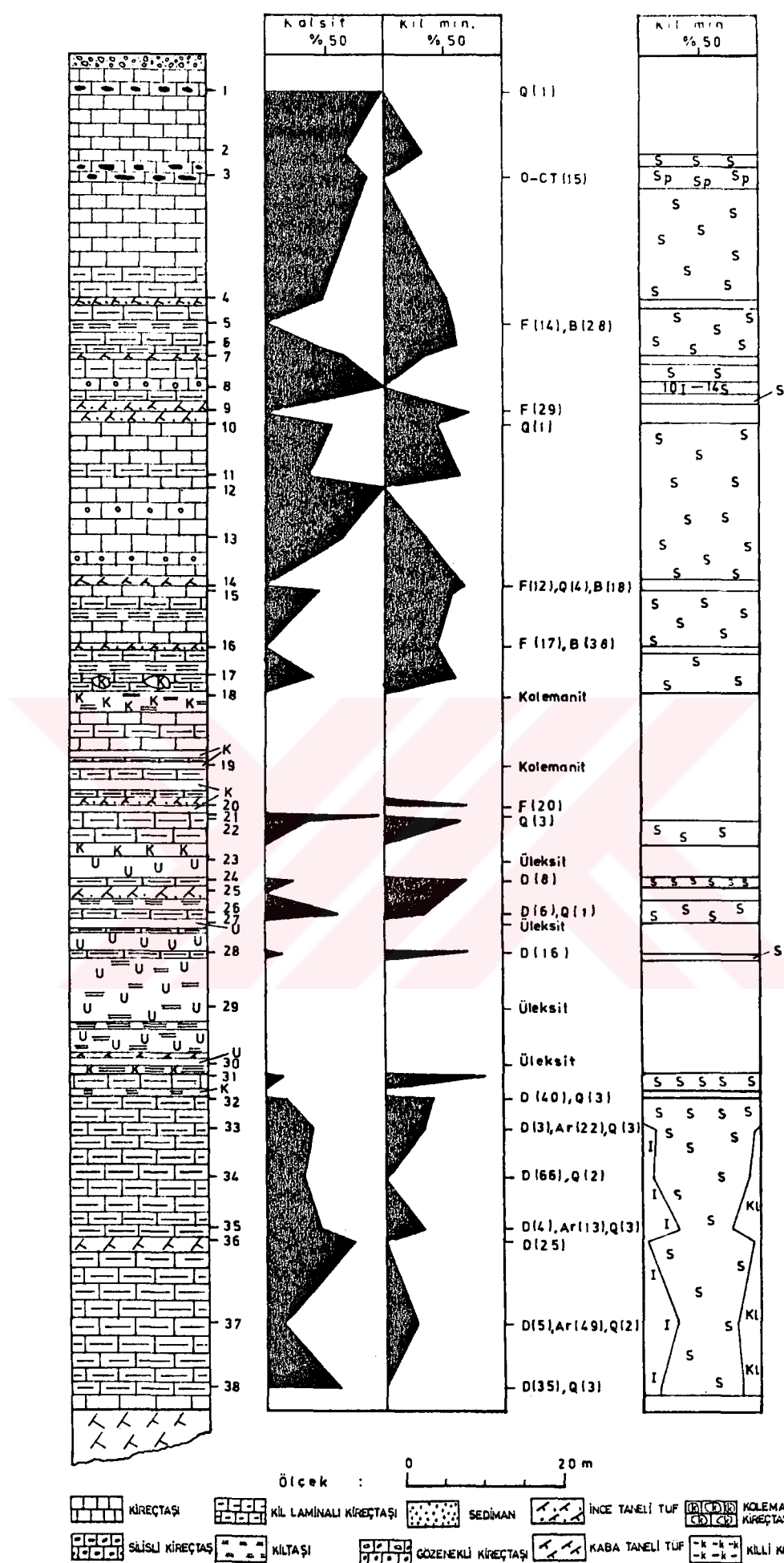
Şekil 3.6 : Uzun Tepe üyesinde saptanmış bazı minerallerin EİS-14 sondajındaki dikey dağılımları



**Şekil 3.7 :** Uzun Tepe üyesinde saptanmış bazı minerallerin EİS-14 sondajındaki dikey dağılımları (Dikme kesit açıklamaları için Şekil 3.6'a bakınız)



Şekil 3.8 : Uzun Tepe üyesinde saptanmış bazı minerallerin ETS-17 sondajındaki dikey dağılımları



Şekil 3.9 : Uzun Tepe üyesinde saptanmış bazı minerallerin EYS-2 sondajındaki dikey dağılımları

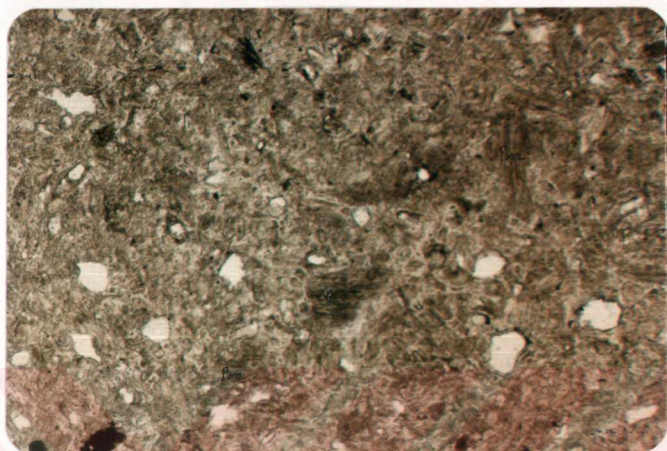
ise EİS-14 sondajında iki,EİS-20 sondajında ise bir örnekte rastlanmıştır.

Diğer minerallerden kuvars,feldispat ve opal-CT killi-karbonatlı birimlerle tüflere bağımlılık gösterirken;klinoptilolit,anal sim ve biyotit tüflere bağımlılık göstermektedir. Bu minerallerden plajiyoklas kuvars,hornblend ve biyotit volkanik kökenlidir. Klinoptilolit,anal sim opal-CT ve K-feldispat ise otijeniktir. Zeolit minerallerinden klinoptilolit Emirler tuf üyesi ile olan geçiş zonlarında gözlenmekte ve dolomitli örneklerde ya hiç bulunmamakta ya da boluk açısından ters bir ilişki ortaya çıkmaktadır. Aynı ilişiki Gündoğdu (1982) tarafından da ortaya konulmuştur. Klinoptilolit'e zeolitleşmenin gözlenmediği üç sondaj ile birlikte anal simin gözlendiği iki sondajda da(EİS-14,EİS-15) rastlanılmamıştır.Sadece üç sondajda gözlenen (EİS-9,EİS-14,EİS-15) anal sim EİS-14 ve EİS-15 sondajlarında boratlı zonun üzerinde,bunakarşın EİS-9 sondajında ise boratlı zonda yer almaktadır. Gözlenen bir diğer özellik ise anal simin kil mineralleri (Simektit) ve dolomitle önemli beraberlik göstermesidir.Anal simin simektit ile olan beraberliği çeşitli araştıracılar tarafından da ortaya konulmuştur.(Ataman,1976;Hay,1978;Ataman ve Gündoğdu,1980,1981,1982;Gündoğdu,1982;Yalçın,1984). Bu araştırcılardan Gündoğdu (1982) trioktaedrik simektitlerin anal sim ile yaygın olarak beraber bulunmasını simektit neoformasyonununa bağlamıştır.Araştırcı

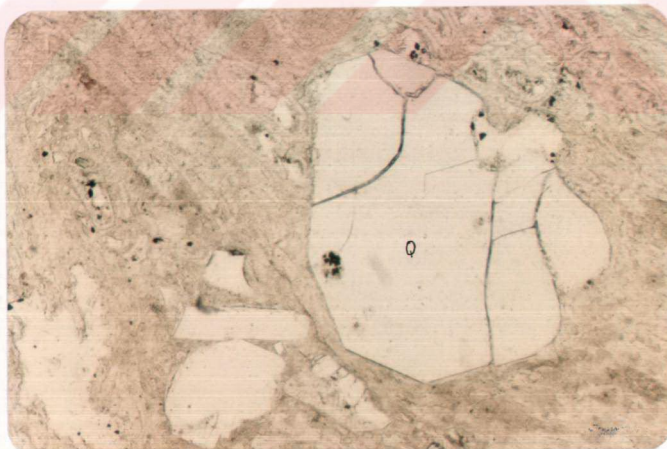
$Mg^{++}$  konsantrasyonunun yüksekliğinin volkanik malzemenin simektitleşmesine yol açarak artık çözeltilerin Si/Al oranı düşürdüğü ; bunun sonucu olarak Si/Al oranı düşük olan ( $Si/Al = 2$ ) anal simin oluştuğunu ileri sürmüştür. Boratlı zonda bulunan ana borat minarallerinden genellikle probertit altta, kolemanit ise üstte yer almaktadır (Bkz. Şekil 3.5). Bazı sondajlarda kolemait+Jips+anhidrit parajenizi egemen iken (EİS-3, EİS-4, EİS-7, EİS-9, EİS-15, EİS-16) bazılarında sadece kolemanit yer almaktadır (EİS-14, EİS-17, EİS-18, EİS-20). Kil franksiyonu çözümlemesi gerçekleştirilen 68 örneğin (Ek Çizelge B.1.) 66'sında (tüm örneklerin %97'si) ortalama 9 oranında simektit gözlenmiştir. Kil franksiyonunun ikinci önemli minerali olan illit 22 örnekte (%32) en az 0.5 en çok 3.5 olmak üzere ortalama 2 oranında saptanmıştır. Klorit ise 17 örnekte (%25) en az 0.5, en çok 3.0 olmak üzere ortalama 1.5 oranında bulunmaktadır.

### 3.3.3. Emirler tuf üyesi

(OM) incelemeleri ile bu üyenin alt kesimini oluşturan kabataaneli tüflerin önemli oranda pomza, az miktarda kuvars, sanidin, plagioklaaz, muskovit, biyotit, hörnblend ve kayaç parçacıkları (volkanik+metamorfik) içerdikleri saptanmıştır. İnce uzun lifsi yapıdaki pomzalar kayaç içerisinde gelişigüzel bir dağılım gösterirler (Şekil 3.10). Kayaçtaki bulunmuş frekansı genellikle diğer minerallerden fazla olan kuvars kristallerinde yer yer mağmatik kemirilme, kenarlarından itibaren çözünmeye yeniden kristalleşme izleri



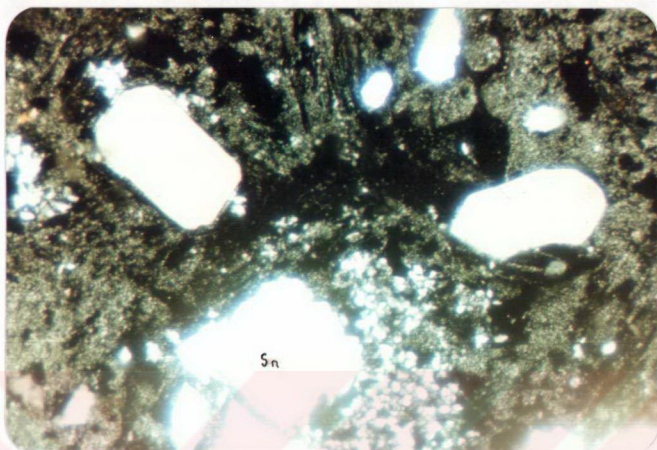
Şekil 3.10: Emirler üyesi camsı kül tüflerinde gözlenen lifsi dokuda pomzalar (PMZ)  
(Tek Nikol, 40x)



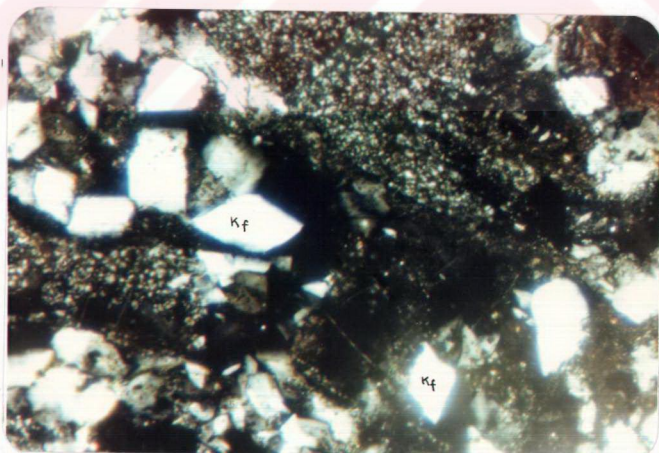
Şekil 3.11: Emirler üyesi tüflerinde gözlenen kemirilmiş kuvars (Q) kristali  
(Tek Nikol, 50x)

gözlenmektedir (Şekil 3.11). Temiz ve berrak yüzeye sahip olan sanidin kristallerinde de kenarlarından itibaren çözünme ve yeniden kristalleşme izleri yaygındır (Şekil 3.12). Kahverengi pleokroizma gösteren biyotitler en fazla bulunan koyu renkli mineral olup yer yer opasitleşme ve kloritleşme gibi bozunma izleri göstermektedir. Ayrıca anal-simli bir örnekte oldukça yaygın otijenik K-feldispat oluşumlarına rastlanılmıştır (Şekil 3.13). Bu bileşenler submikroskopik volkanik malzeme ile bağlanmışlardır. Bu tüf-leri adlandırmak amacıyla seçilen 5 örnek üzerinde modal analiz gerçekleştirilmiştir (Çizelge 3.3.). Schmid (1981) sı-niflamasına göre kayaca "camsı kül tüfü" adı verilmiştir. (Şekil 3.14). Bu camsı kül tüflerinin bağlayıcı malzemesin-de ve pomzalarda yaygın olarak zeolitleşme gelişmiştir. Pom-zalerda lifler boyunca gelişen zeolitleşme hamurda sferüli-tik (ışınsal dokulu) oluşumlar şeklinde kendini göstermekte-dir. Volkanik camın ve kristal parçalarının az olduğu bazı örneklerde bağlayıcı malzemede ve boşluklarda gözenek su-yundan itibaren çökelmiş sparitik karbonat çimentonun var-lığı da gözlenmiştir.

Değişik sondajlardan bu ümeye ait toplam 92 örnek üzerinde (AS-2=1, EİS-3=23, EİS-4=1, EİS-7=9, EİS-8=1, EİS-9=24, EİS-14=3, EİS-15=4, EİS-17=21, EİS-20=1, GPS-18=2, KS-15=1, PS-51=1) geræk-leştirilen X-RD (TK) çözümlemeleri sonucunda kalsit, dolomit opal-CT (Jones ana Segnit, 1979), klinoptilolit, anal-sim, feldispat kuvars, biyotit ve kil minerallerinin varlığı saptanmıştır (Ek-Çizelge A.3).



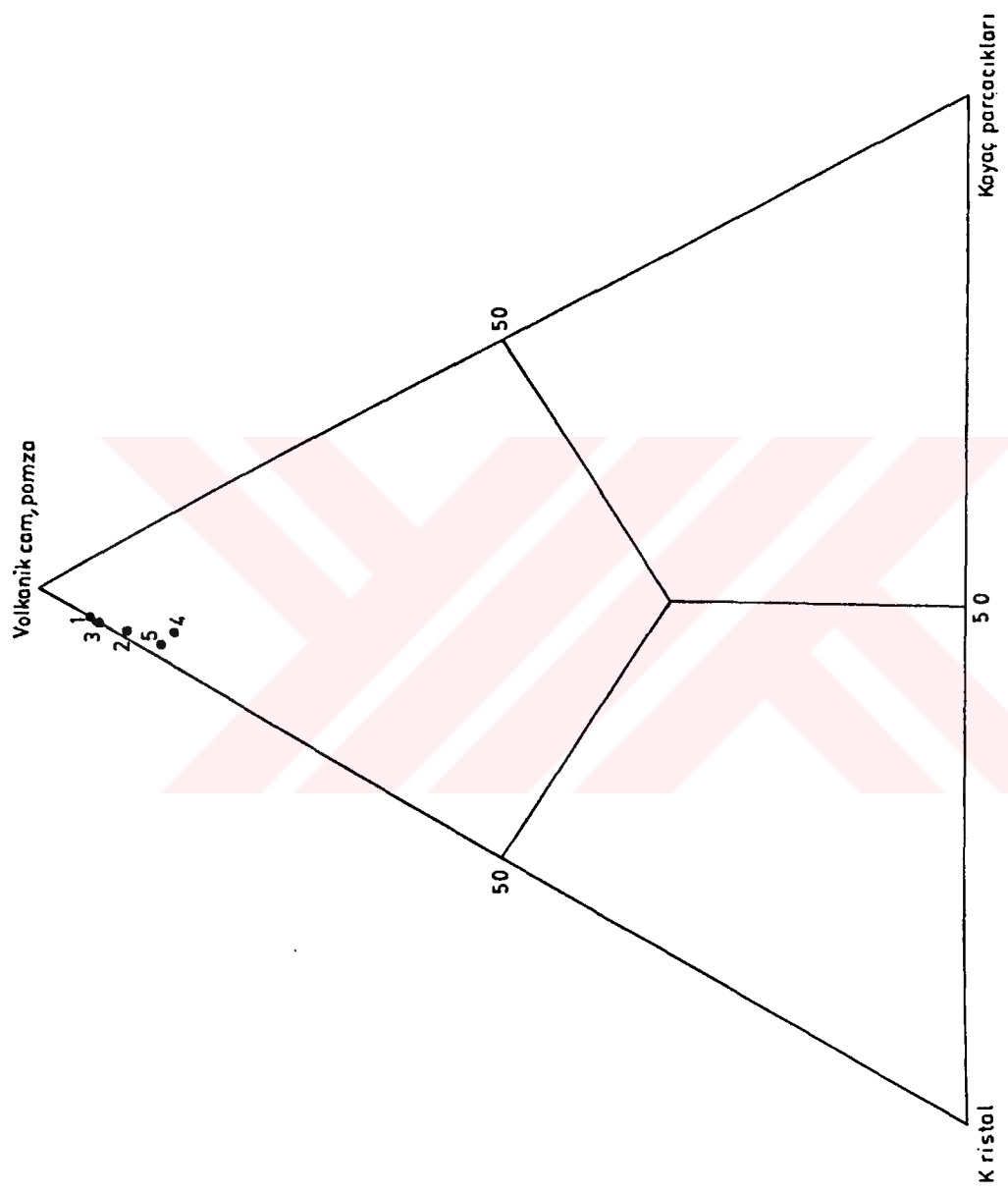
Şekil 3.12 : Emirler üyesi tüflerinde gözlenen sanidin (Sn) kristallerinin kenarlarında gelişen çözünme ve yeniden kristalleşme izleri  
(Çift Nikol, 64x)



Şekil 3.13 : Emirler üyesinin camsı kül tüflerinde özşekilli otijenik K-feldispat (Kf) oluşumları  
(Çift Nikol, 252x)

Çizelge 3.3. Emirler Tüf Üyesi Örneklerinin Modal Analiz Sonuçları

Modal Analiz No	Örnek No	Bileşenler (%)						Uç Bileşenler						
		Pomza, Cam	Plajiyoklas	Sanidin	Kuvars	Hornblend	Biyotit	Muskovit	Kalsit	Kaya Ç Parçacıkları	Kristal Parçaları	Kristal Parçaları	Pomza Cam	Kayaç Parçacıkları
1.	EİS-3/31	94.69	0.80	0.60	3.64	0.07	0.20	-	-	-	5.31	94.69	-	
2	EİS-7/42	90.53	1.55	1.03	5.17	-	0.86	-	-	0.86	8.61	90.53	0.86	
3	EİS-7/10	93.59	2.08	0.25	3.91	-	0.17	-	-	-	6.41	93.59	-	
4	EİS-9/13	85.73	1.71	1.05	7.71	-	0.49	0.14	-	3.17	11.1	85.73	3.17	
5	EİS-17/16	87.05	1.94	0.35	3.40	-	0.27	0.11	5.18	1.70	11.25	87.05	1.70	



Şekil 3.14 : Emirler tüflerinin SCHMID (1981) diyagramına göre adlandırılması

Saptanan bu minerallerin sondajlara göre dağılımı Çizelge 3.4'de bulunan frekansları ve ortalama yüzdeleri de Çizelge 3.5'de verilmiştir.

Üyede saptanan en önemli otijenik mineral parajenezleri  
 (Klinoptilolit+opal-CT) ;  
 (Klinoptilolit + K-feldispat) ve  
 (Analşım + K-feldispat) dır.

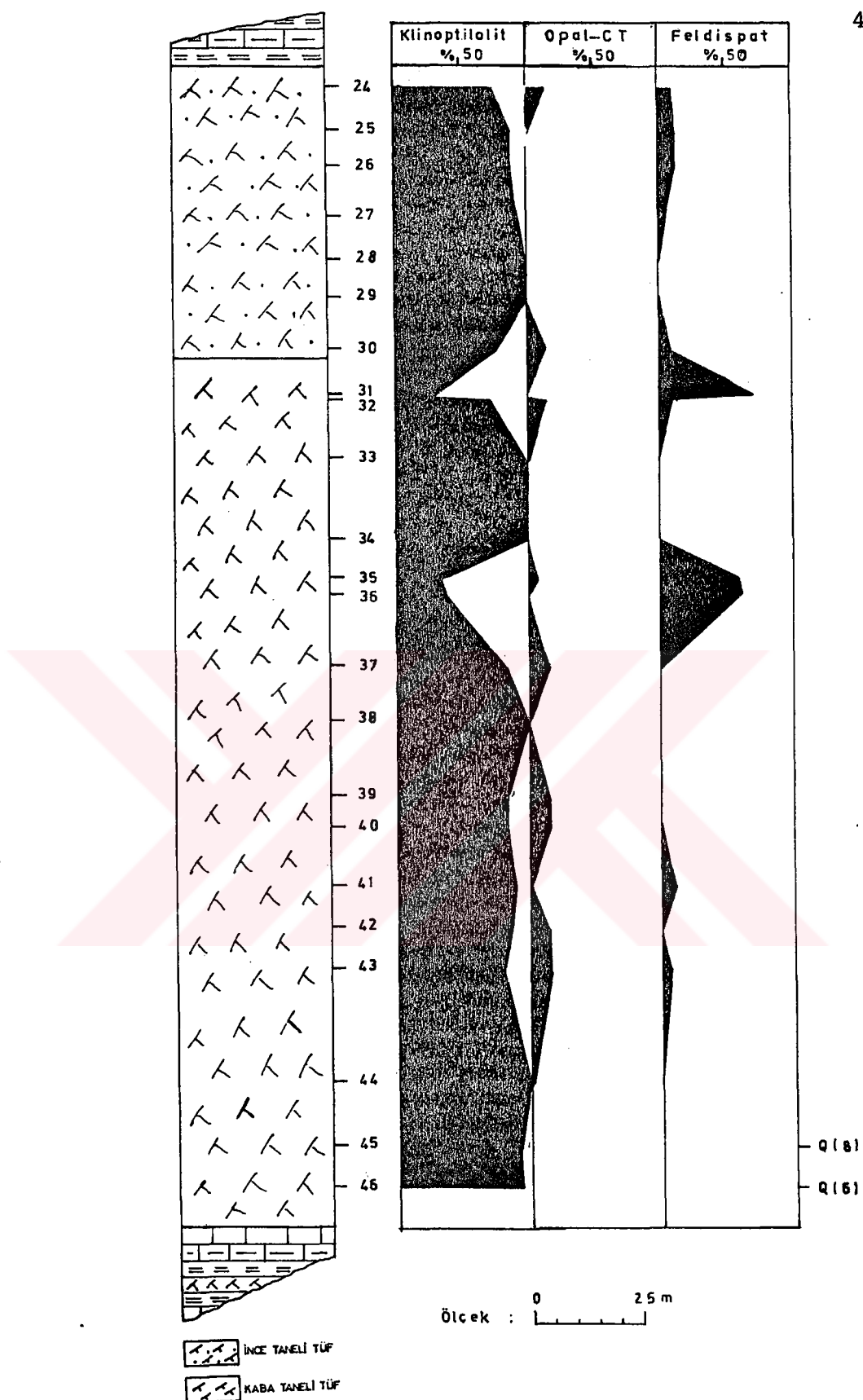
Yukarıda parajenezleri verilen otijenik minerallerden klinoptilolit hem bulunan frekansı (%87) hemde ortalama yüzdesi (%78)'nin yüksek olması nedeniyle en önemli zeolit mineralini oluşturmaktadır. Diğer zeolit minerali olan analşimin ortalama yüzdesinin nispetin yüksek (%59) olmasına karşın bulunan frekansı çok düşüktür (%3). Birimde gözlenen diğer minerallerden feldispat ve kuvarsın ortalama yüzdeleri sırası ile %14 ve %8'dir. Bu gözlemler mikroskopta yapılan modal analiz sonuçları ile birleştirildiğinde özellikle K-feldispatın önemli bir kesiminin bağlayıcı malzemenin zeolitleşmesi sırasında otijenik olarak oluştuğunu ortaya koymaktadır. Dikey yöndeki mineralojik değişimleri belirlemek amacıyla dört sondajda (EİS-3, EİS-7, EİS-9, EİS-17) minerallerin dağılımı incelenmiştir (Şekil 3.15, 3.16, 3.17, 3.18). Klinoptilolitlerin dağılımında genelleştirilebilecek bir değişiklik gözlenmemesine karşın EİS-7 ve EİS-17 sondajlarında klinoptilolit yüzdesinin üste doğru arttığı gözlenmektedir. Bu mineralin azaldığı örneklerde feldispat ve

**Ş**ızelge 3.4. Emirler Tüf Üyesinde Saptanın Mineralerin Sandajlara Göre Dağılımı.

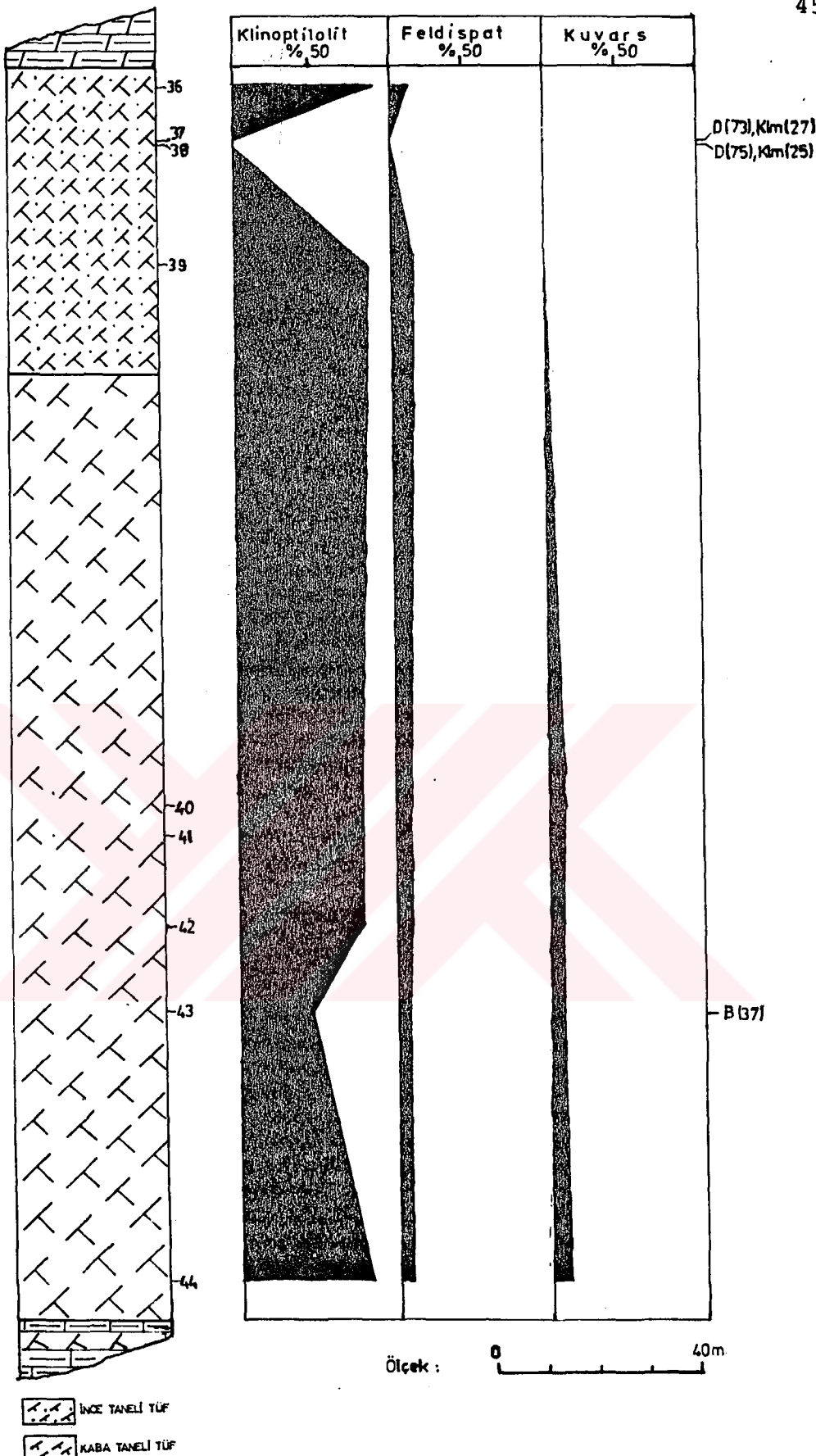
MINERALER	SONDAJ NO	KIL MINERALERI												
		EAS-2	EIS-3	EIS-4	EIS-7	EIS-8	EIS-9	EIS-14	EIS-15	EIS-16	EIS-17	EIS-20	GPS-18	KRS-15
KALSIIT		+												
DOLOMIT			+											
KLINOPTILOLITT		+	+	+	+	+	+	+	+	+	+	+	+	+
ANALSTIM									+					
FELDSPAT		+	+	+	+	+	+	+	+	+	+	+	+	+
MVARS		+	+	+	+	+	+	+	+	+	+	+	+	+
OPAL-CT		+				+								
BITYOTIT					+	+	+				+			
KIL MINERALERI		+	+	+	+	+	+	+	+	+	+			

**Çizeğe 3.5.** Emirler Tüf Üyesinde Saptanan Bazı Minerallerin Bulunuş Frekansları. En Az, En Çok ve Ortalama %'leri

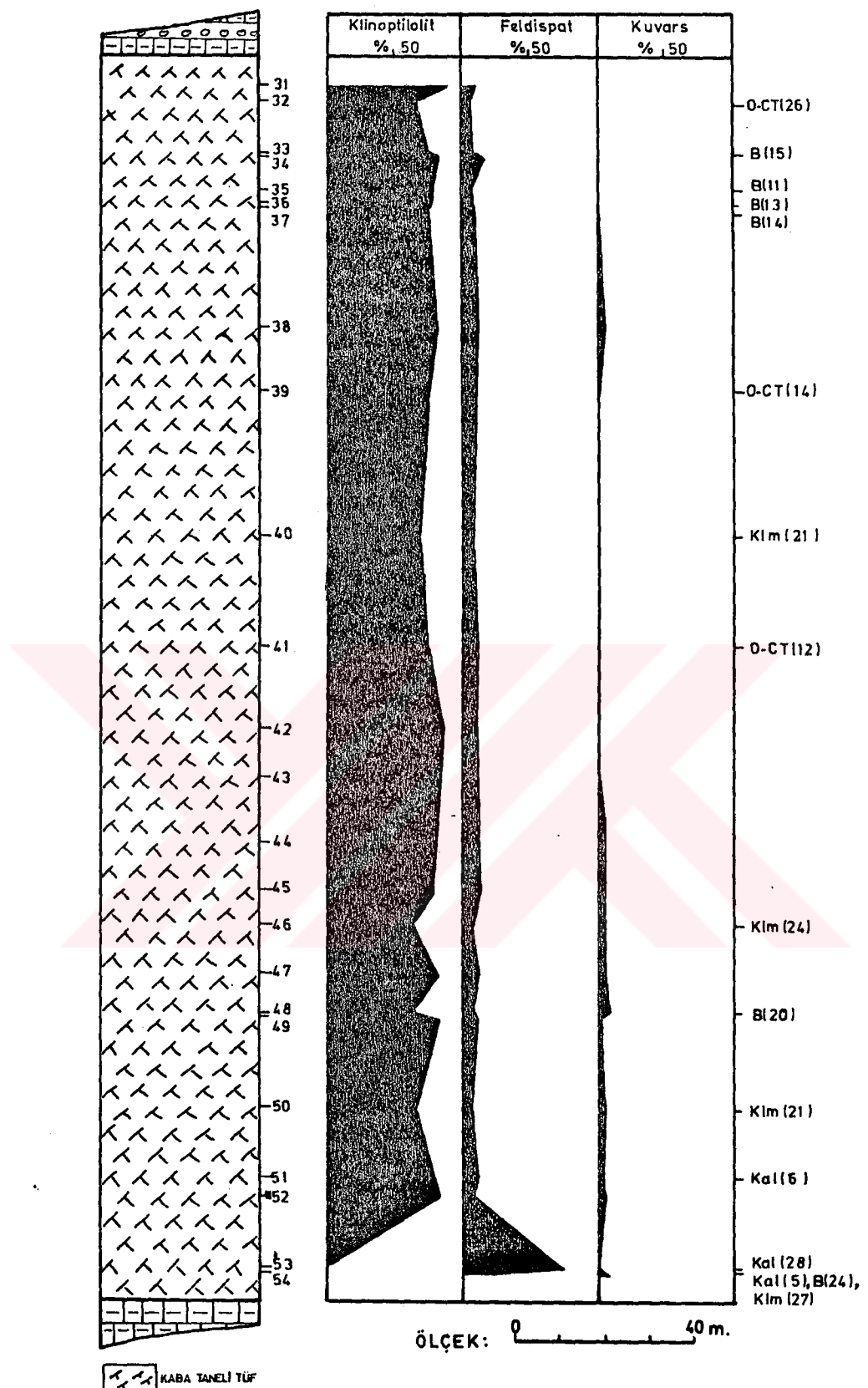
Mineral	Buluş Frekansı (%)	En az (%)	En Çok (%)	Ortalama
Kalsit	13	5	61	21
Dolomit	3	47	75	65
Klinoptilolit	87	29	100	78
Analsim	3	47	78	59
Feldispat	80	3	72	14
Kuvars	46	2	39	8
Opal-CT	13	7	24	15
Biyotit	16	11	49	20
Kıl Mineralleri	15	19	69	32



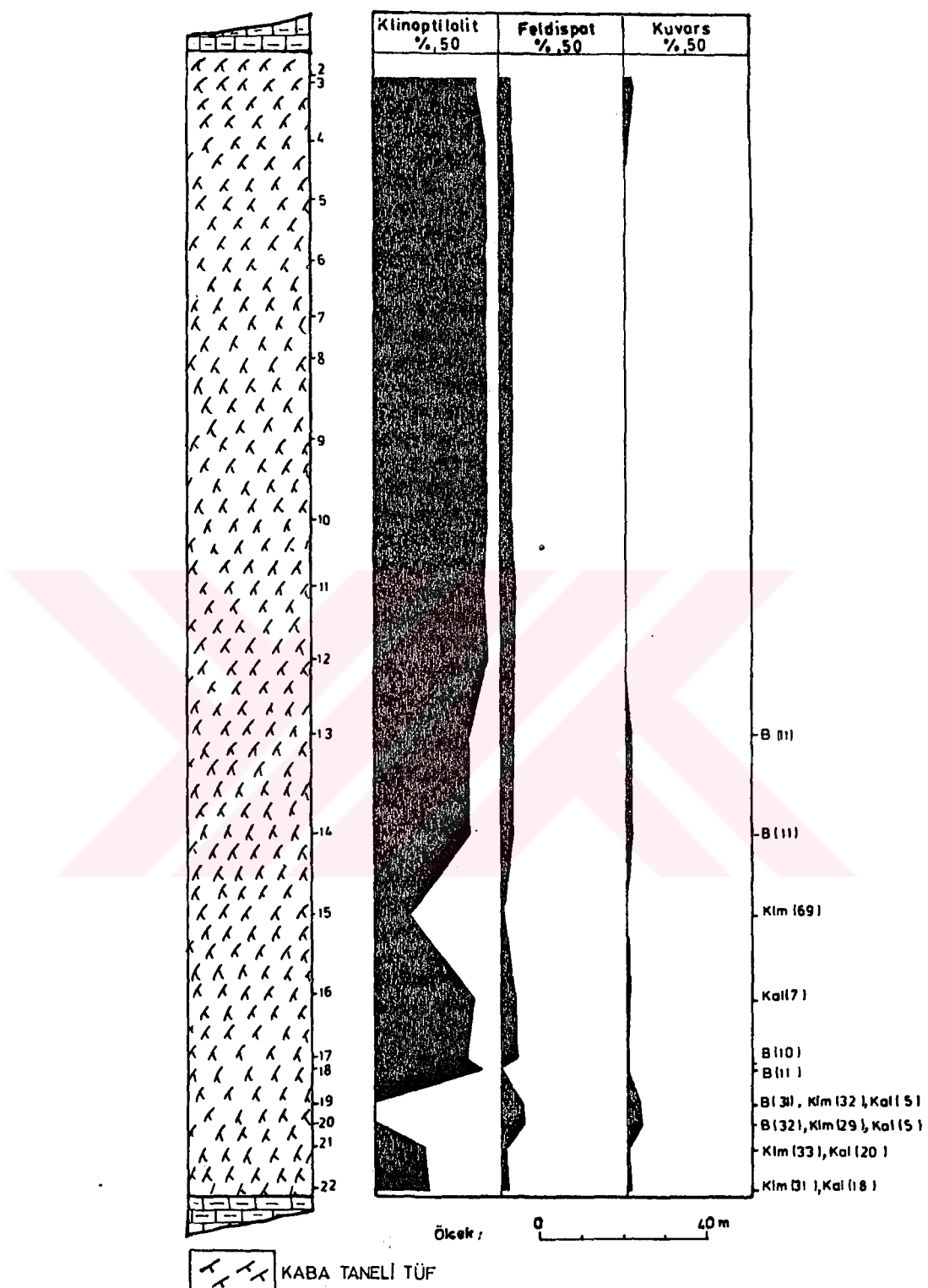
Şekil 3.15: Emirler tuf üyesinde saptanan bazı minerallerin EİS-3 sondajındaki dikey dağılımları



Şekil 3.16: Emirler tuf üyesinde saptanan bazı minerallerin EİS-7 sondajındaki dikey dağılımları



Şekil 3.17: Emirler tuf üyesinde saptanan bazı minerallerin EİS-9 sondajındaki dikey dağılımları



**Şekil 3.18:** Emirler tüf üyesinde saptanan bazı minerallerin EİS-17 sondajındaki dikey dağılımları

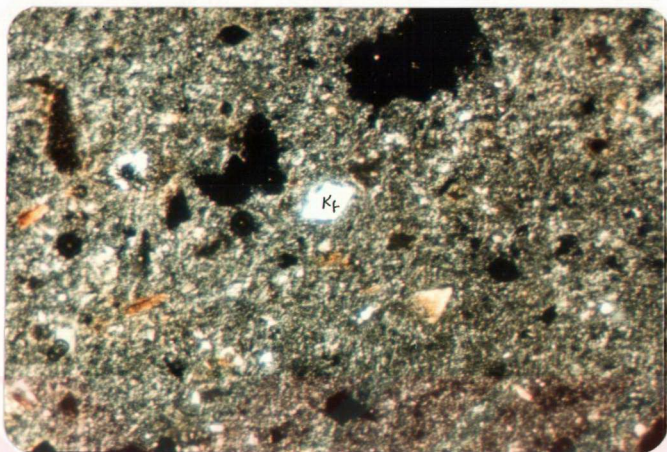
kuvarsın artlığında fark edilmektedir. Bu durum, ortam koşullarının dikey yönde değiştiğine işaret etmektedir. Belirtilmesi gereken bir özellikte biyotitin genellikle alttaki kaba taneli tüflerebagınlılık göstermesidir.

Bu üyeye ait 6 örnek üzerinde gerçekleştirilen X-RD(KF) çözümlemelerine göre egemen kil mineralinin simektit olduğu ortaya çıkmıştır. Örneklerin tümünde ortalama 8 oranında (en az 5, en çok 10) gözlenen simektitlerin yanısıra 2 örnekte ortalama 5 oranında illit bulunmaktadır (Ek Çizelge B.2). Gündoğdu (1982)  $d_{050}$  ölçümlerine göre zeolit içeren örneklerde simektitlerin dioktaedrik, K-feldispat içerenlerde trioktaedrik ( $Mg^{+2}$  ca zengin) olduğunu ortaya koymustur. Kil minerallerinden simektitin kökeni otijeniktir. Illitler ise feldispatların bozunma ürünü olabileceği gibi muskovit veya biyotit ile de temsil edilebilir.

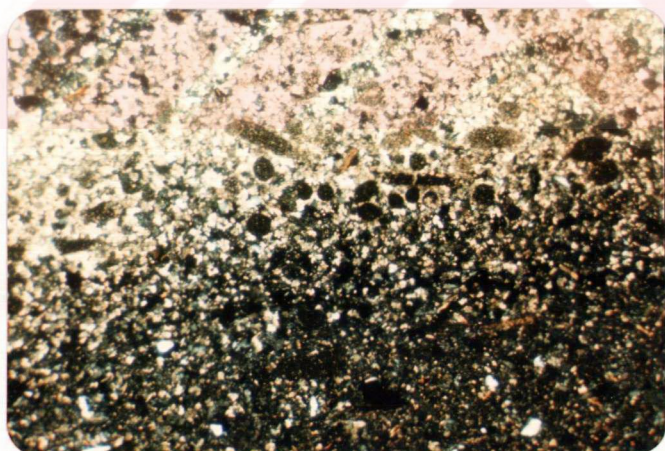
### 3.3.4. İskelenin Üyesi

Killi-Karbonatlı birimlerle ardalanmalı şekilde bulunan tüfler üzerinde yapılan (OM) incelemeleri kayacı oluşturan açık renkli bileşenlerin; plajiyoklaz, kuvars, sanidin; koyu renkli bileşenlerin ise biyotit ve hornblendden meydana geldiğini ortaya kuymustur. Bu minarallerin yanısıra bazı kesitlerde zirkon, magmatik kayaç parçacıkları ve opak minarallere de rastlanılmıştır. Polisentetik ikizlenme ve zonlu yapı gösteren plajiyoklazların miktarı incelenen kesitlerin büyük bir kısmında sanidin ve kuvarstan fazladır. Kahverengi pleokroizma .

gösteren biyotitler yer yer opasitleşme ve kloritleşme türü bozunma izleri göstermekte olup, yarı özçekilli, lev-hamsı kristallerinde deformasyon izleri (kırımlanmalar, bükülmeler) gözlenmektedir. Yeşilimsi pleokroizmaya sahip hornblendlerin miktarı biyotitlerden daha azdır. Bu bilesenler kahverençi-siyah toz boyundaki submikroskopik volkanik malzeme ile bağlanmıştır. Örneklerin çoğunda sözkonusu matiks yanında sparitik karbonat çimento da mevcuttur. İncelenen kesitlerin bazlarının bağlayıcı malzemesinde işinsal dokulu gri grişim rengi gösteren analsim ve klinoptilolit ile birlikte otijenik K-feldispat oluşumlarına da rastlanmıştır (Şekil 3.19). Açık ve koyu litojilerin milimetrik ölçekte ardalandığı bir örnekten yaptırılan ince kesitte açık renkli kesimin büyük ölçüde karbonattan olduğu ve bu karbonatlı kesimin içinde de yuvarlak ve köşeli şekilli intraklastların yer aldığı; koyu renkli kesimin ise feldispat, kuvars, biyotit ve kayaç parçacıklarından olduğu gözlenmiştir (Şekil 3.20). Volkanik malzemeden oluşan koyu renkli kesimde biyotitler tabakalanmaya paralel olarak yer almaktadır. Bu gözlemler söz konusu ardalanmanın kimyasal çökelmenin egemen olduğu nispeten hareketli bir ortama periyodik aralıklarla volkanik malzemenin getirimi sonucu oluştuşunu ortaya koymaktadır.

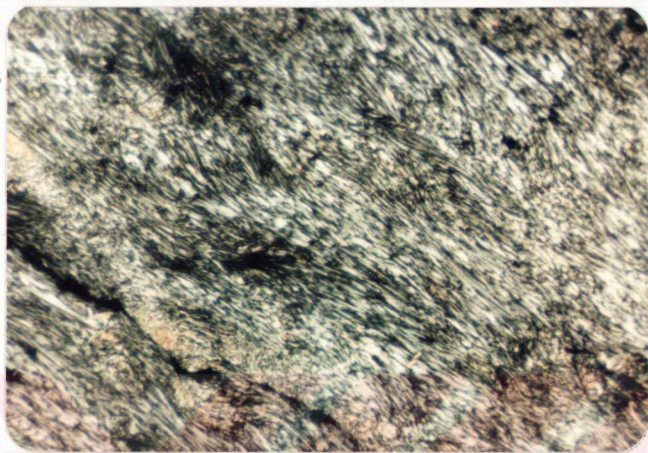


Şekil 3.19: İskele üyesi tüflerinde otijenik K-feldispat oluşumları  
(Çift Nikol, 64x)

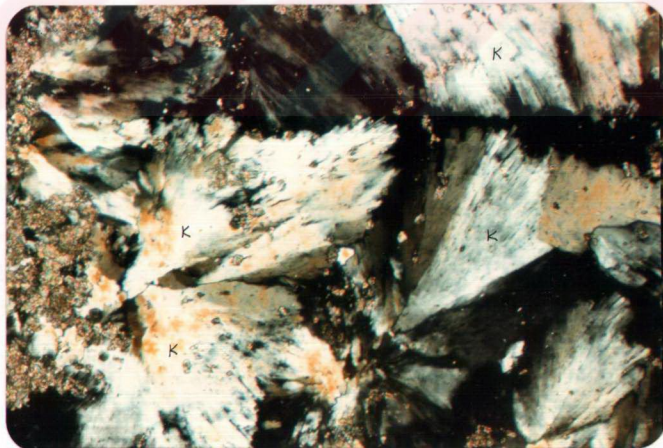


Şekil 3.20: İskele üyesinde gözlenen tuf-karbonat laminasyonu  
(Çift Nikol, 40x)

Cevher minerallerinden üleksit üzerinde gerçekleştirilen (OM) incelemeleri bunların lifsi dokuda olduğu, bu liflerin yer yer düğümlenerek yumaklar oluşturduğu gözlenmiştir. Bazen karbonatlaşmanın da gözlendiği üleksit kristallerinde polisentetik ikizlenmeler tipiktir (Şekil 3.21). Kalsit + kolemanit içeren örnek üzerinde yapılan (OM) incelemeleri ise kolemanit kalsitin boşluklarında işinsal (yelpaze şeklinde) kristaller şeklinde yer aldığı gözlenmiştir (Şekil 3.22'). Bu üyeden alınan toplam 342 örneğin (AS-2=23, EİS-3=23, EİS-7=35, EİS-8=27, EİS-9=30, EİS-14=20, EİS-17=1, GPS-18=31, KS-15=24, PS-45=30, PS-51=64, YTS-4=7, YTS-6=7, YTS-10=16, YTS-12=4) 339'u üzerinde X-RD(TK) çözümlemesi gerçekleştirilmiş ve karbonat (kalsit, dolomit, aragonit, manyezit ve stronsivanit) zeolit (klinoptilolit ve analsim), feldispat (Plajiyoklaž + K-feldispat), kuvars, opal-CT, biyotit, hornblend ve kil mineralleri saptanmıştır (Ek çizelge A.4). Boratlı zonda ise borat minerallerinin (kolemanit, üleksit, tünelit ve pandermit) yanısıra anhidrit ve sölestin yer almaktadır (Çizelge 3.6). Bu minarallerden manyezit, stronsivanit, opal-CT, hornblend ilk kez bu çalışmada saptanmıştır. Borat dışı minerallerin bulunus frekansları ile enaz, en çok ve ortalama yüzdeleri çizelge 3.7'de verilmiştir. Çizelgeden de görülebileceği gibi karbonat minerallerinden kalsitin bulunus frekansı dolomitten daha yüksek olmasına karşın ortalama yüzdesi daha düşüktür. Dolomit ise aynı litolojik özellikleri gösteren Uzun Tepe üyesine oranla gerek bulunus frekansı, gerekse ortalama yüzdesi bakımından bu üyede daha önemlidir. Aragonit'in Uzun Tepe üyesine



Şekil 3.21: İskelenin ait lifsi dokulu üleksit  
(Çift Nikol, 50x)



Şekil 3.22 : İskelenin kireçtaşlarındaki boşluklarında  
gelişen kolemanit kristalleri  
(Çift Nikol, 160x )

**Çizelge 3.6.** İskelenin Üyesinde Saptanmış Minerallerin Sondajlara Göre Dağılımı

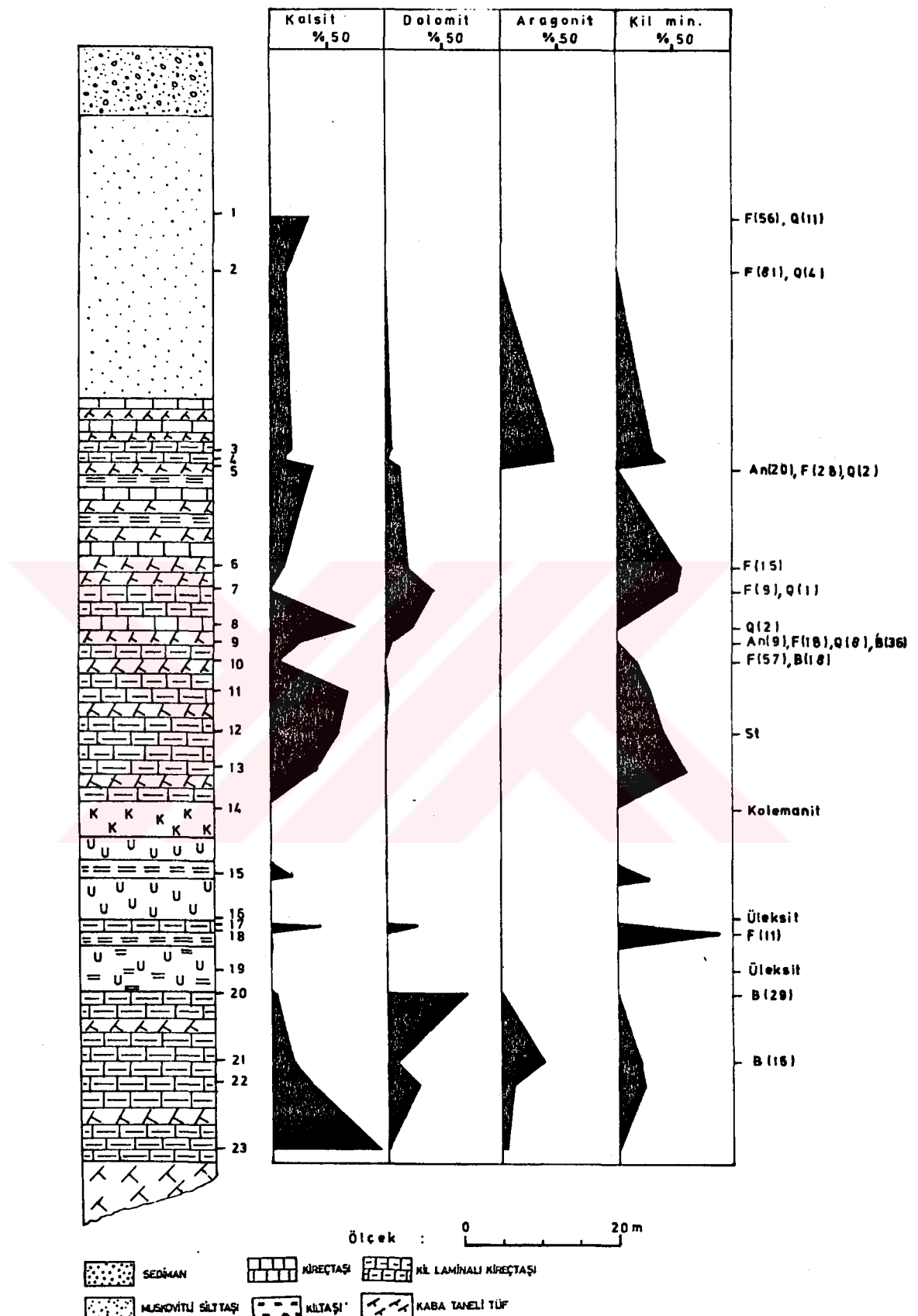
**Çizelge 3.7.** İskelenin Üyesinde Saptanan Borat Dışı Mineralllerin Bulunus Frekansları, En Az, En Çok ve Ortalama %'leri.

Mineral	Bulunus Frekansı (%)	En az (%)	En Çok (%)	Ortalama (%)
Kalsit	70	2	100	36
Dolomit	55	2	100	41
Aragonit	27	5	85	29
Klinoptilolit	4	12	90	42
Anal sim	6	3	73	19
Feldispat	28	3	100	23
Kuvars	24	1	55	5
Opal-CT	0.003	58	58	58
Biyotit	10	13	58	30
Kıl Mineralleri	71	13	100	43

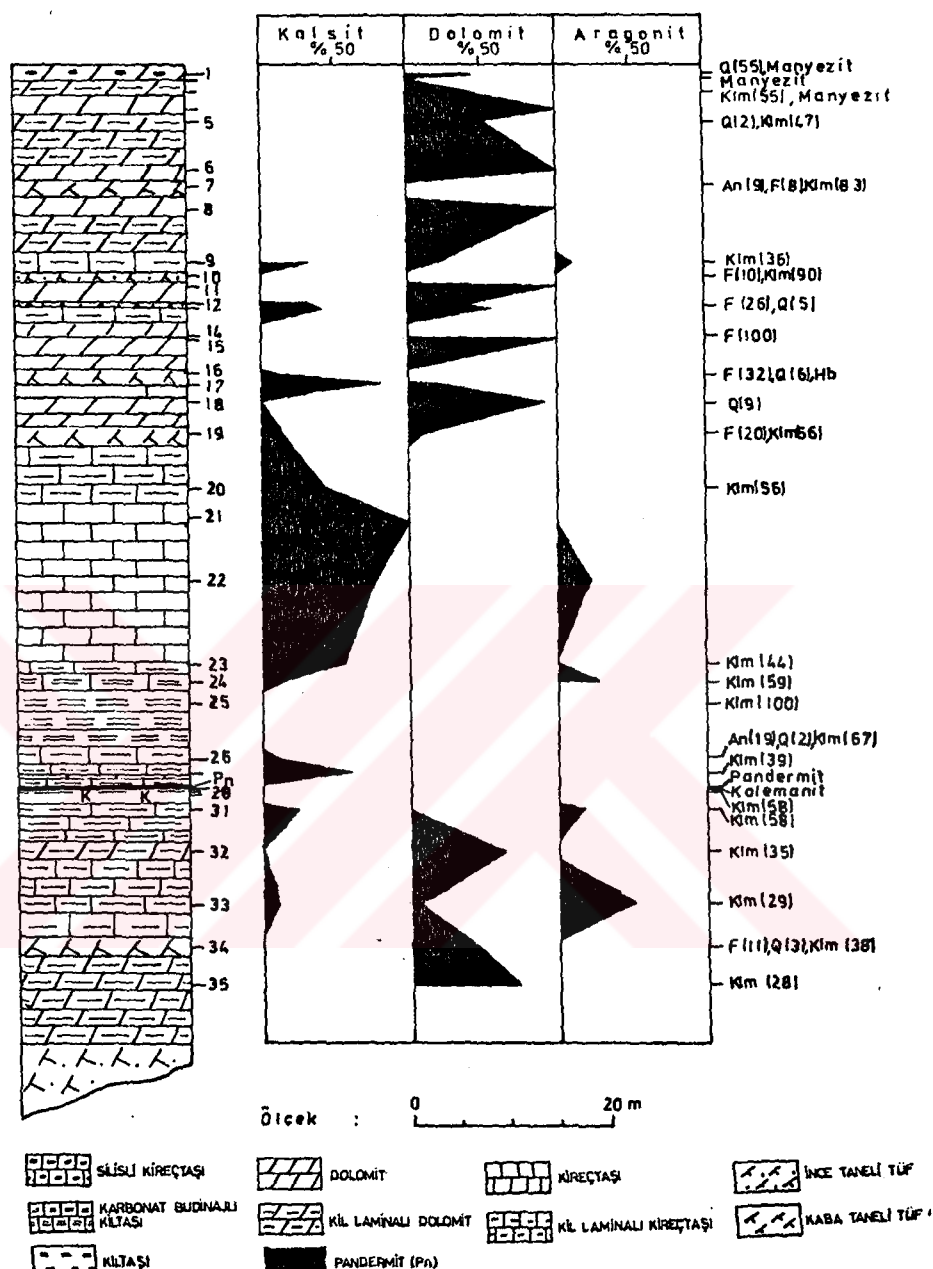
göre bulunmuş frekansında bir artma olmasına karşı ortalama yüzdesinde bir azalma gözlenmektedir. Uzun Tepe üyesinde iki sondajda gözlenen stronsiyanit İskele üyesinde altı sondajda gözlenmektedir. Bunun yanında Uzun Tepe üyesinde hiç rastlanılmayan manyezite İskele üyesinde havzanın merkezi kesiminde yapılmış dört sondajda (EİS-7, PS-45, PS-51 YTS-6) rastlanılmıştır. Karbonat minaralleri arasında gözlenen parajenezler önem sırasına göre şu şekildedir:

(Kalsit + dolomit);  
(Kalsit + dolomit + aragonit);  
(Kalsit + aragonit);  
(Kalsit + stronsiyanit);  
(Dolomit + manyezit);  
(Kalsit + dolomit + stronsiyanit);  
(Dolomit + aragonit);  
(Kalsit + dolomit + aragonit + stronsiyanit).

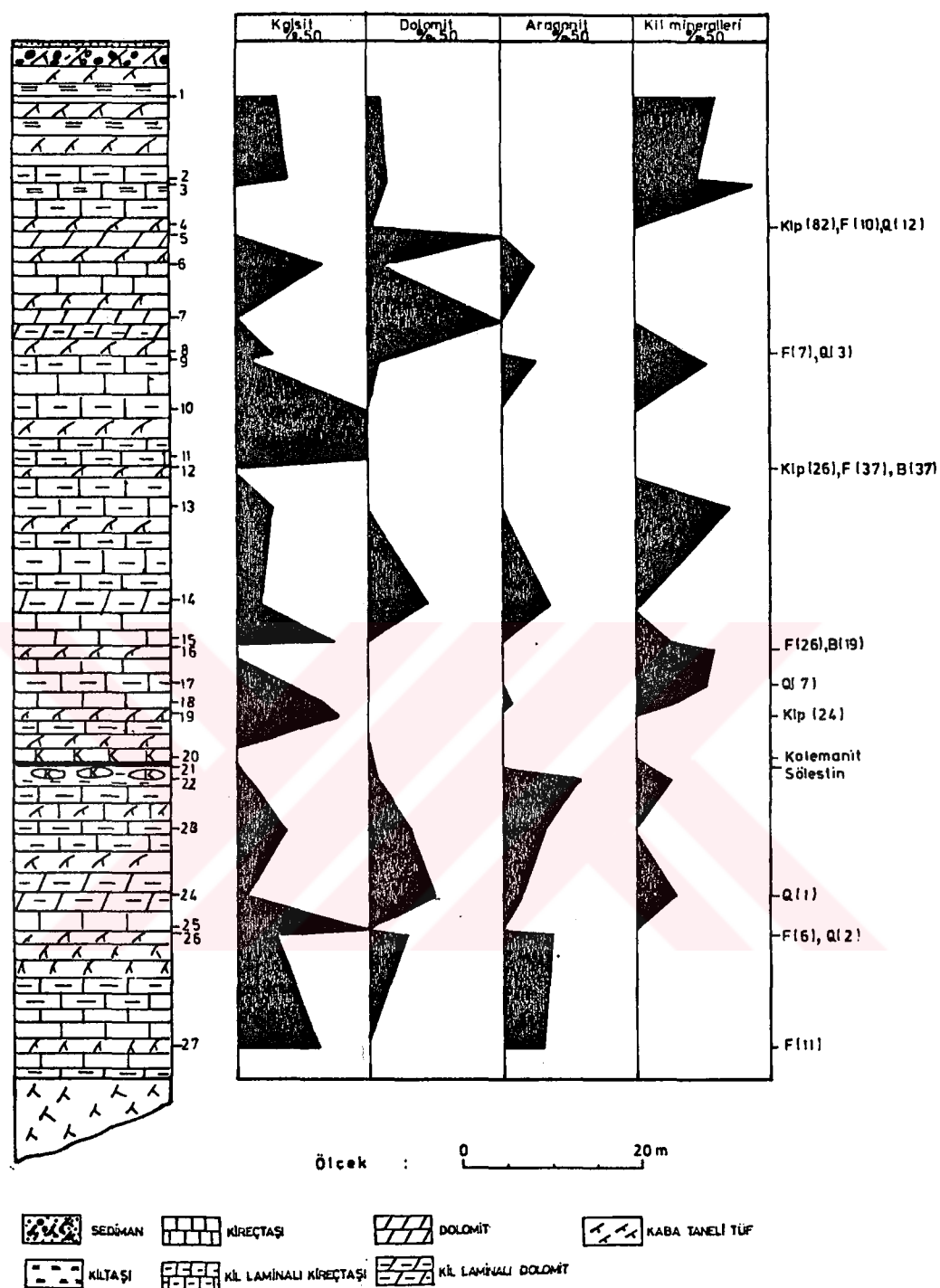
Diğer taraftan yukarıda parajenezleri verilen bu mineralerden kalsit, 65, dolomit, 59; manyezit ise bir örnekte tek başına yer almaktadır. Karbonat mineralerinin dikey dağılımının verildiği Şekil 3.23, 3.24, 3.25, 3.26 ve 3.27'de görülebileceği gibi, kalsit tüflü ve boratlı seviyelerde yer yer azalmakla birlikte genellikle tüm istif boyunca gözlenmektedir. Bununla birlikte dolomitin egemen olduğu seviyelerde ya hiç bulunmamakta ya da miktarında önemli azalmalar gözlenmektedir. Havzanın merkezi kesimindeki bazı sondajlarda



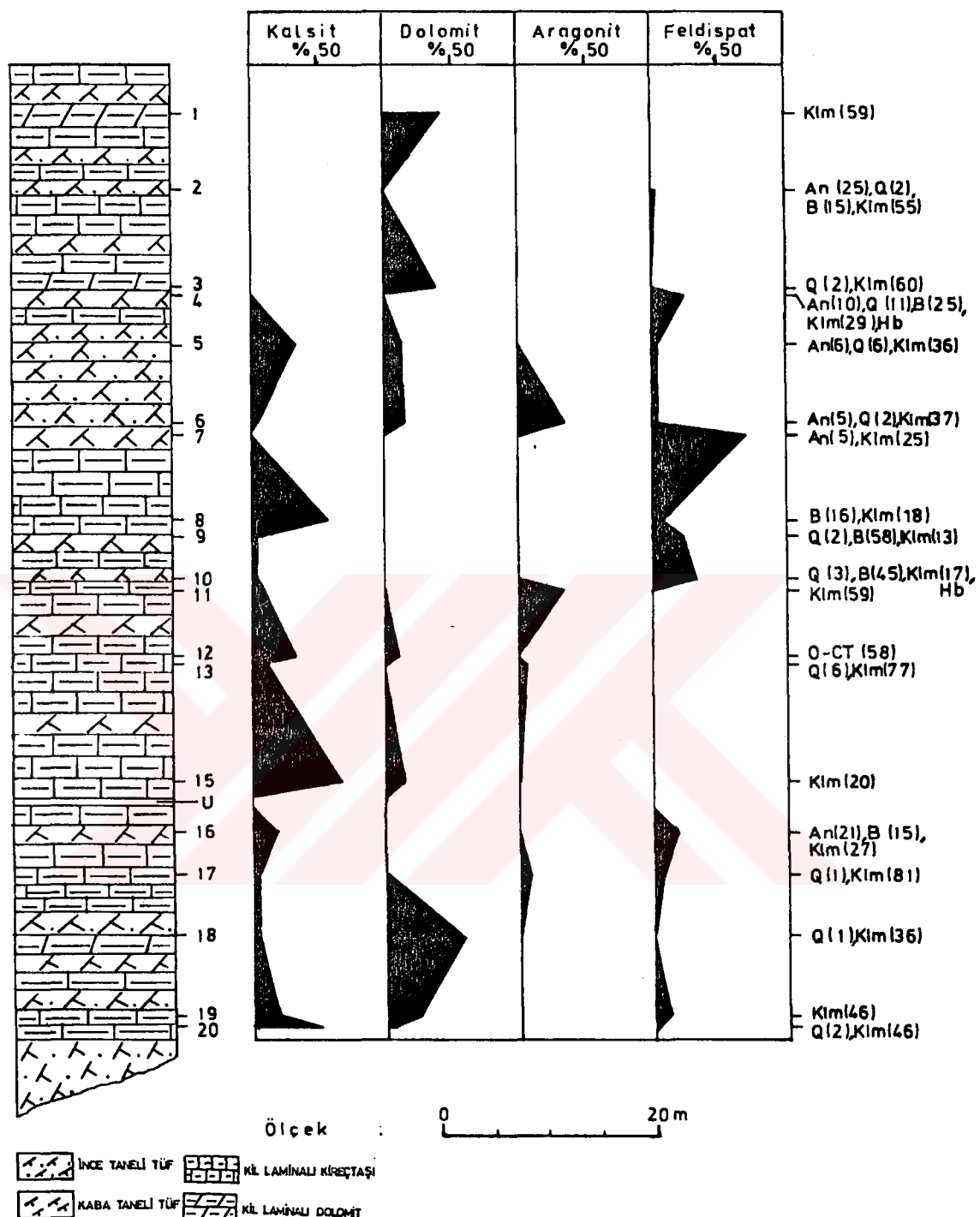
Şekil 3.23 : İskele üyesinde saptanan bazı minerallerin AS-2 sondajındaki dikey dağılımı



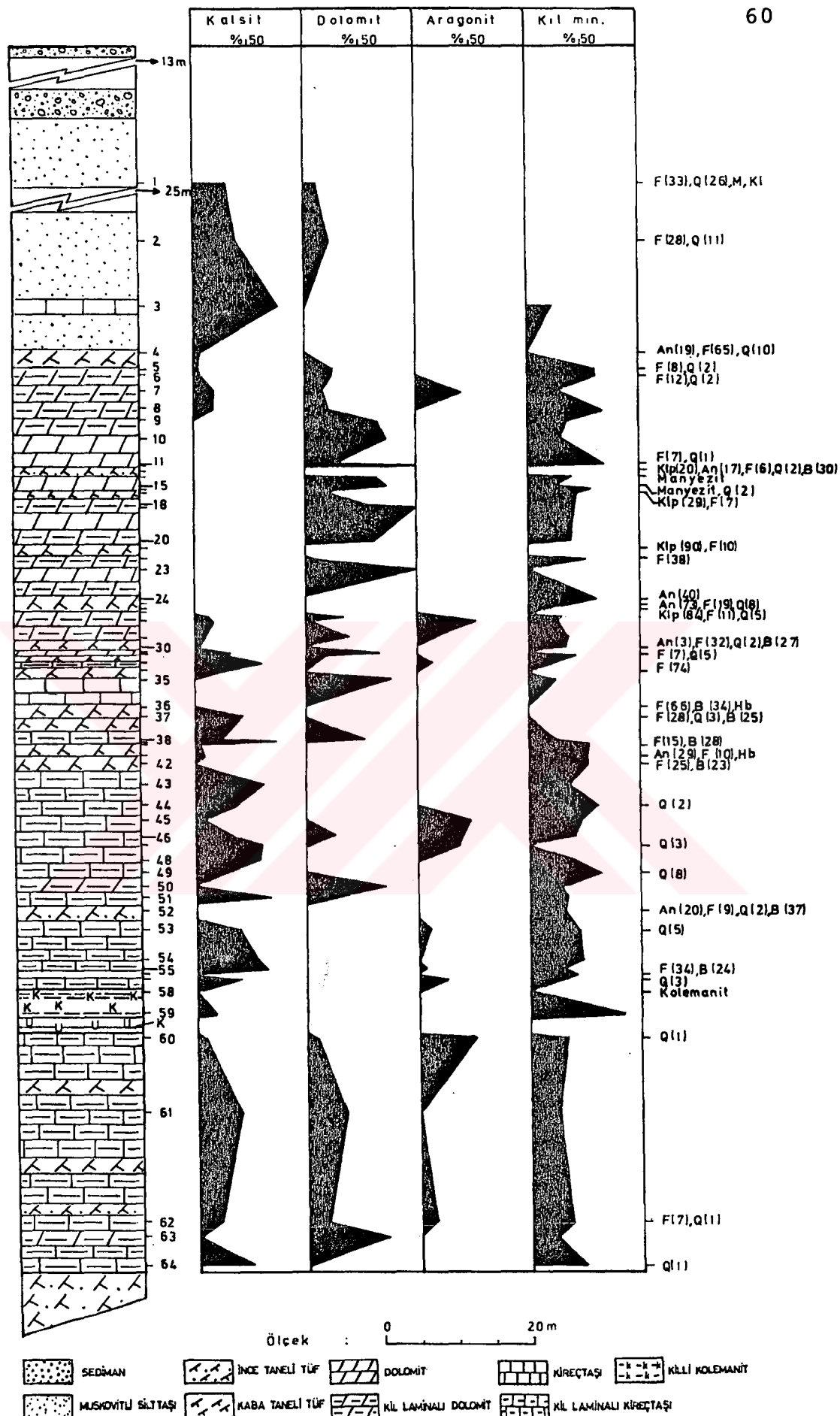
Şekil 3.24 : İskele üyesinde saptanan bazı minerallerin FİS-7 sondajındaki dikey dağılımları



Şekil 3.25: İskelenin içinde saptanan bazı minerallerin EİS-8 sondajındaki dikey dağılımları



Şekil 3.26 : İskele üyesinde saptanan bazı minerallerin EIS-14 sondajındaki dikey dağılımları



Şekil 3.27 : İskele üyesinde saptanan bazı minerallerin PS-51 sondajındaki dikey dağılımları

(Şekil 3.24, 3.26) ise dolomitin ve/veya manyezitin gözlen-diği istifin üst kesimlerinde bulunmamaktadır. Birimdeki ikinci önemli karbonat minerali olan dolomit incelenen sondajlarda genellikle istifin alt ve üst kesimlerinde (boratlı zon dışı) daha yaygındır. Aragonit ise tüm istif boyunca gözlenmekle birlikte boratlı zonda daha önemlidir. Bulunuş frekansları düşük, ortalama yüzdeleri ise nispeten yüksek olan zeolit minerallerinden klinoptilolit boratlı zonun üzerindeki tüflerde yer almırken, analsim tüm istif boyunca gözlenmektedir. Uzun Tepe üyesi ile karşılaştırıldığında klinoptilolitin ortalama yüzdesinin çok az artmasına karşın (%33'den → %42'ye) bulunuş frekansında oldukça önemli bir azalma (%14'den → %4'e) olmuştur. Analsim'in ise hem bulunuş frekansı hemde ortalama yüzdesi iki katına çıkmıştır. Fazla belirgin olmamakla birlikte K-feldispat oluşumlarının miktarında da Uzun Tepe üyesine göre bir artış söz konusudur. Bu üyede diğer üyelerde gözlenmeyen bir başka özellikle klinoptilolit+ analsim parajenezidir. Bu beraberlik ortam kimyasındaki gözenek boyutlu değişiklikler sonucu ortaya çıkmıştır.

Boratlı zonda kolemanit genellikle üstte, üleksit ise altta bulunmaktadır. Ayrıca, bu zonda pandermit, tünelit, sölestin ve anhidrite'de rastlanmıştır. Boratlı zonda bir Sr-borat

minerali olan tunelit ile Sr-sülfat minerali olan sölestinin gözlenmesi borat oluşturan çözeltilerin stronsiyum ve SO<sub>4</sub>'ce zengin olduğunu göstermektedir. Bununla birlikte bu üyede Uzun Tepe üyesinde sık gözlenen sülfat mineralerinden jipsin bulunmayışı, anhidritinse sadece bir sondajda gözlenmiş olması borat oluşumu sırasında ortamın SO<sub>4</sub> iyonları açısından fakir olduğunu göstermektedir.

Bu üyeye ait 72 örnek üzerinde gerçekleştirilen X-RD(KF) çözümlemeleri birimde simektit ve illitin varlığını ortaya koymustur. Bu mineralerden simektit tüm örneklerde gözlenirken, illit sadece bir örnekte bulunmaktadır. (Ek çizelge B.3).

#### 4. JEOKİMYASAL İNCELEMELER

##### 4.1. Giriş

Bu bölümde Bigadiç formasyonunun Uzun Tepe ve İskele üyesi simektitlerin kimyasal bileşimlerindeki dikey ve alansal değişimleri belirlemek amacıyla gerçekleştirilen jeokimyasal inclemelerden elde edilen veriler tartışılacaktır.

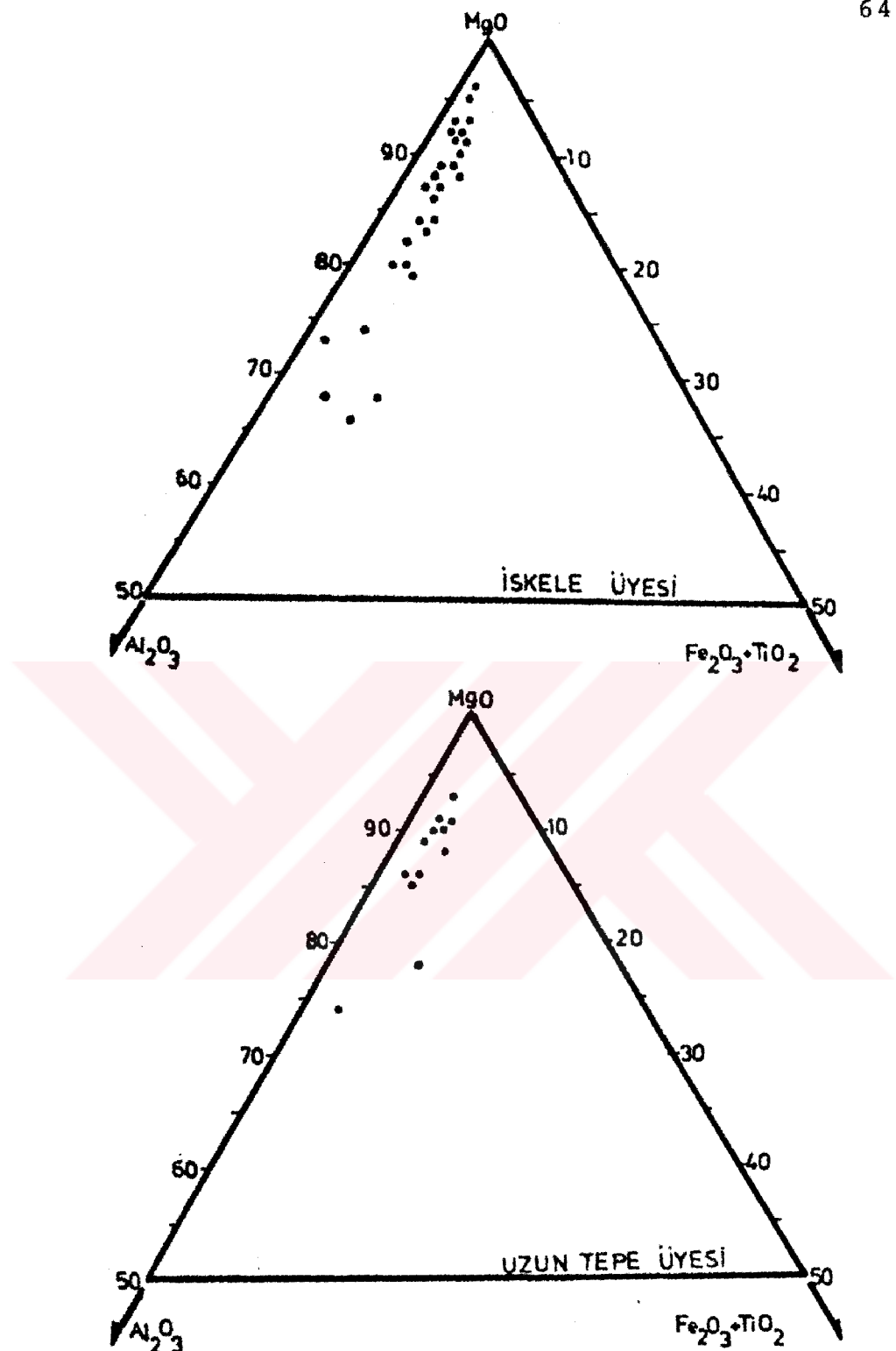
##### 4.2. Çözümleme Yöntemleri

Ana(major) element çözümlemeleri H.Ü. Jeoloji Mühendisliği bölümünde Atomik Absorpsiyon spektrometresinde yapılmıştır. Ana elementler % oksit şeklinde ( $\text{SiO}_2$ ,  $\text{Al}_2\text{O}_3$ ,  $\text{MgO}$ ,  $\text{CaO}$ ,  $\text{Fe}_2\text{O}_3$ =toplam demir,  $\text{TiO}_2$ ,  $\text{Na}_2\text{O}$ ,  $\text{K}_2\text{O}$ ),  $1000^{\circ}\text{C}$  deki ateşte kayıp ( $\text{H}_2\text{O}$ ) miktarı ise  $110^{\circ}\text{C}$  de 12 saat kurutulmuş örnek ağırlığının yüzdesi olarak ifade edilmiştir. Bu yöntemin bağıl hatası  $\pm 2$  mertebesindedir (Yılmaz, 1977).

##### 4.3. Uzun Tepe ve İskele Üyesi Simektitlerinin Kimyası

###### 4.3.1. Uzun Tepe üyesi

Bu üye ait 14 örnek üzerinde ana element çözümlemesi gerçekleştirilmiştir (Ek Çizilge C.1.). Elde edilen sonuçlardan itibaren çizilen üçgen diyagramda (Grim and Kulbicki, 1961) görüldüğü gibi Uzun Tepe üyesi simektitleri  $\text{MgO}$  bakımından zengindirler (Şekil 4.1). Bir başka deyişle oktaedrelerdeki ana katyon  $\text{Mg}^{+2}$  dir. Bununla birlikte  $\text{Al}$  bakımından da zengin olan bu simektitlerde yapraklar arasında bulunan en önemli katyon  $\text{Ca}^{+2}$  dir. Bu simektitlerin 11 oksijen bazına göre (Weaver and Pollard, 1973) yapısal formülleri hesaplanmıştır (Ek çizelge C2). Trioktaedrik olan bu simektitler stevensit (EİS-14/35, 39 ; EİS-17/35, 36, 40, 42; EYS-2/7, 12, 31) ve Mg-saponit (EİS-14/43, 45, 46, EYS-2/2, 28) şeklinde adlandırılmıştır (Gündoğdu, 1985).



Şekil 4.1 : Uzun Tepe ve İşkele üyesi simektitlerinin  
 $MgO-Al_2O_3-(Fe_2O_3 + TiO_2)$  üçgen diyagramlarındaki  
dağılımları

#### 4.3.2. İskelə üyesi

Bu üyeye ait 28 örnek üzerinde ana element çözümlemesi gerçekleştirilmiştir (Ek Çizelge C.3). Bu verilerden itibaren çizilen  $MgO-Al_2O_3 - (Fe_2O_3 + TiO_2)$  üçgen diyagramda görüldüğü gibi İskelə simektitleri de Uzun Tepe simektitleri gibi  $MgO$ 'ce zengindirler (Şekil 4.1). Bununla birlikte Uzun Tepe üyesi ile karşılaştırıldığında Şekil 4.1'den de görülebileceği gibi İskelə üyesi simektitlerinin  $MgO$  bakımından daha zengin olduğu ortaya çıkmaktadır.

Bu trioktaedrik simektitlerden serbest silis (EİS-7/6,8,9; EİS-14/3,11; PS-51/53,60) içermeyenlerin yapışal formülleri hesaplanmıştır (Ek Çizelge C.4.). Hesaplanan yapışal formüllere göre İskelə simektitleri stevensit (PS-51/19,27,46, 47,49,51); Mg-Saponit (PS.51/7,8,9,10,15,18,20,23,29,33,38, 43,64) ve Al-Fe Saponit (PS-51/13,22) şeklinde adlandırılmıştır (Gündoğdu 1985).

Bu simektitlerden stevensitler ile Mg-saponitler killi-karbonatlı birimlere bağımlılık gösterirken, Al-Fe saponitler Killi-karbonatlı birimlerle birlikte tüflere de bağımlılık göstermektedir (Şekil 4.2).

Yukarıda stevensit, Mg-saponit ve Al-Fe saponit şeklinde adlandırılan İskelə simektitlerinin  $(Al^+Fe^+Ti) / Mg$  (oktaedre),  $(Al_2O_3 + Fe_2O_3 + TiO_2) / MgO$  oranları ile  $TiO_2$ ,  $K_2O$  içereklerinin dikey dağılımı bir sondajda (PS-51) incelenmiştir (Şekil 4.2). Şekilden de görülebileceği gibi katyon ve oksit oranlarının yüksek  $K_2O$  ve  $TiO_2$ 'ce de zengin olan Al-A saponitlerin yer aldığı istifin üst kesimlerinde egemen karbonat minerali



Şekil 4.2 : İskelenin simektitlerinin  $(\text{Al} + \text{Fe} + \text{Ti})/\text{Mg}$  ve  $(\text{Al}_2 + \text{Fe}_2\text{O}_3 + \text{TiO}_2)/\text{MgO}$  oranları ile  $\text{TiO}_2$  ve  $\text{K}_2\text{O}$  içeriklerinin PS-51 sondajındaki dikey değişimi (Dikme kesit açıklamaları için Şekil 3.27'e bakınız).

dolomittir. Buna karşın bu oranın düşük değerleri ile temsil edilen stevensit ve Mg-saponitin yaygın olduğu kesimlerde ise kalsit ve aragonit egemen duruma geçmektedir. Yine şekilde görülebileceği gibi istifin altından üstüne doğru söz konusu oranların artışına paralel olarak örneklerin dolomit içeriğinin arttığı gözlenmektedir. Daha açık bir deyişle dolomitin egemen olduğu seviyelerde ( $\text{Al} + \text{Fe} + \text{Ti}$ ) / Mg oranları yüksek olduğundan bu kesimlerde genellikle Al-Fe saponitler ; buna karşın kalsit ve aragonitin egemen olduğu seviyelerde ise bu oran düşüğünden stevensit ile Mg-saponitler gözlenmektedir. Aynı ilişki Avşar ocağı yöresinde de Gündoğdu (1985) tarafından gözlenmiştir. Böyle bir ilişki çeşitli araştırmacılar tarafından karbonatlardan önce transformasyon veya neoformasyon yolu ile oluştuğu kabul edilen simektitlerin (Al-Droubi, 1976 ; Gac et al., 1977; Tardy, 1981) artık çözeltilerin Mg, dolayısıyla Mg/Ca oranı ve dolomit oluşumunu denetlemelerinin sonucu olarak ortaya çıkmıştır (Gündoğdu, 1985). Ataman (1966) ise bu denetleme işlevinin Mg/Ca oranının çok yüksek olduğu değerlerde söz konusu olamayacağını belirtmektedir. Bu durum dolomitin egemen olduğu seviyelerde stevensit ve Mg-saponitin bulunmasıyla da doğrulanmaktadır.

## 5. NEOFORMASYON MİNERALLERİNİN OLUŞUMU İLE DİKEY VE ALANSAL DAĞILIMI

### 5.1. Giriş

Önceki bölümlerde Bigadiç formasyonunun Değirmenli tuf, Uzun tepe, Emirler tuf ve İskede üyelerinin havzanın merkezi kesiminde yapılan sondajlardaki mineralojik, petrografik ve jeokimyasal özelliklerini belirlenmeye çalışılmıştır. Bu bölümde ise basenin paleocoğrafik gelişimi sırasındaki fizikokimyasal özelliklerini belirlemek amacıyla neoformasyon minerallerinin (zeolit, borat, kil ve karbonat) dikey ve alansal dağılımları gerek bu çalışmadan gerekse önceki araştırmaların (Gündoğdu, 1982 ; Baysal vd., 1985) verilerine dayanılarak ele alınmıştır. Bunlardan dikey dağılım, formasyon; alansal dağılım ise üye mertebesinde incelenmiştir. Söz konusu dağılımları belirlemek amacıyla öncelikle zeolit, borat ve karbonat grubu minerallerin kendi aralarındaki parajenezler saptanmıştır. İkinci aşamada bu mineral parajenezleri örnekleme haritasına aktarılarak benzer mineral beraberliklerini içeren noktalar birleştirilmiş ve yanal yöndeki mineral zonlanma haritaları elde edilmiştir (EK-2, 3, 4, 5, 6, 7, 8). Her mineral grubu (zeolit, borat ve karbonat) için ayrı ayrı çizilen zonlanma haritalarındaki sınırlar ilgili mineral parajenezinin ilk gözlendiği yerden geçmemektedir. Üçüncü aşamada ise mineral parajenezleri ile basenin yapısal özellikleri arasındaki olasılık ilişkileri daha iyi görmek amacıyla mineral zonlanmalarına dik olacak şekilde dört tane blok diyagram çizilmiştir (EK-9). Bu blok

diyagramlarda daha belirgin olması nedeniyle Değirmenli ve Emirler tuf üyelerinde zeolit ve K-feldispat ; Uzun Tepe ve İskelenin üyelerinde de borat mineralleri arasındaki zonlanmalar gösterilmiştir.

### 5.2. Zeolitler

Ekonomik açıdan önemli zeolit yataklarının bulunduğu tuzlu alkali göller (Deffeyes, 1959 ; Hay, 1966 ; Sheppard and Gude, 1968, 1969, 1973 ; Mariner and Surdam, 1970 ; Ataman et Beseme, 1972 ; Surdam and Parker, 1972 ; Surdam and Eugster, 1976 ; Ataman, 1977a, 1977b ; Surdam, 1977 ; Hay, 1978 ; Surdam and Sheppard, 1978 ; Boles and Surdam, 1979 ; Gündoğdu, 1982 ; Yalçın, 1984 ; Baysal vd., 1986b) volkanik faaliyetin yoğun olduğu rift zonlarında veya blok faylanmanın olduğu bölgelerde gelişir. Bu ortamlarda gelişen zeolitleşmenin ilk aşaması volkanik camın çözünmesidir. Bu çözünmenin hızı pH, tuzluluk ve tane boyuna bağlıdır (Ataman, 1977a, 1977b ; Surdam and Sheppard, 1978 ; Boles and Surdam, 1979 ; Gündoğdu, 1982). Bir jel arafazından geçerek veya doğrudan oluşan zeolit minerallerinin cinsini çözeltilerin Si/Al ve katyon oranları ile suyun aktivitesi denetlemektedir (Surdam and Sheppard, 1978). Bu parametreler hem tuzluluk hemde alkalinitenin değişiminden önemli ölçüde etkilenirler. Bunlara ilaveten zeolit oluşumunda jeolojik yaşlanması da önemlidir (Hay, 1966 ; Ataman 1977a, 1977b). Zeolitleşme olayı oldukça kısa bir zaman aralığında gerçekleşmektedir. Örneğin bir vitrik tuf 1000 yıllık bir sürede zeolite dönüşebilir (Hay, 1964, 1966).

Bu oluşumlarda gözlenen en önemli özelliklerden birisi yanal yönde gelişen mineralojik zonlanmadır. Buna göre gölkıyisinden merkezi kesime doğru alkalinite, pH ve tuzluluğun artmasına bağlı olarak volkanik cam → klinoptilolit → analsim → K-feldispat şeklinde gelişen bir mineralojik zonlanmanın varlığı sözkonusudur (Sheppard and Gude, 1968, 1973).

Yukarıda kısaca oluşumları açıklanan zeolit minerallerinin Bigadiç formasyonu istifindeki dikey dağılımında Değirmenli tüf → Uzun Tepe → Emirler tüf → İskele üyesi yönünde analsim miktarının arttığı gözlenmektedir. Bir başka ifade ile aynı yönde analsim + K.Feldispat/Klinoptilolit dolayısıyla Si/Al oranında azalma, Na +K/Ca oranında bir artma söz konusudur. Bu durum Bigadiç Paleogölünde (Gündoğdu, 1984) aynı yönde ortam tuzluluğunun ve pH'sının arttığını işaret etmektedir.

Otijenik minerallerin alansal dağılımının incelenmesi Değirmenli tüf, Uzun Tepe, Emirler tüf ve İskele üyelerinde yanal yönde bir mineralojik zonlanmanın varlığını ortaya koymus-tur. Buna göre inceleme alanı içerisinde Değirmenli tüf üyesinde klinoptilolit → analsim ; Uzun Tepe üyesinde klinoptilolit + opal-CT → klinoptilolit + K-feldispat → analsim; Emirler tüf üyesinde opal-A + simektit → klinoptilolit + opal-CT → klinoptilolit → klinoptilolit + K-feldispat ve klinoptilolit + opal-CT → klinoptilolit + K-feldispat → analsim + K-feldispat; iskele üyesinde ise klinoptilolit

+ K-Feldispat + analsim → analsim + K-Feldispat şeklinde gelişen bir mineralojik zonlanma mevcuttur (EK-2,3,4,5.) .

Bu mineralojik zonlanmalar basenin kenarından merkezi kesimine doğru pH'ın ve tuzluluğun artmasına bağlı olarak Si/Al oranının düşmesi ; Na+ K/Ca oranının yükselmesinin bir sonucu olarak ortaya çıkmıştır. Blok diyagramdan da görülebileceği gibi analsimin ve K-feldispatın bulunduğu kesimin basenin merkezi kesimi olduğu varsayılarak üyeler arası dağılıma bakıldığından merkezi kesimin basenin paleocoğrafik evrimi sırasında yer değiştirdiği gözlenmektedir (EK-9) . Ayrıca Emirler tüf üyesinde KD-GB doğrultusunda uzanan iki alt basenden KB'dakinde opal-A + simektit → klinoptilolit + opal-CT → Klinoptilolit → klinoptilolit + K-feldispat ; GD'dakinde ise Klinoptilolit + opal-CT → Klinoptilolit + K-feldispat → analsim + K-feldispat şeklinde bir mineralojik zonlanma gelişmiştir (EK-4) Bu durum Emirler tüfünün diyajenezi sırasında basenin olaşılıkla Kisekaya fayının yükselmesi ile birbirleri ile ilişkilerini koruyan iki ayrı küçük basene veya hidrolojik sisteme bölündüğünü düşündürmektedir (EK-9) . Diğer taraftan tuzlu alkali göllerde gözlenen mineralojik zonlanmada K-feldispatın gölün merkezi kesimini temsil ettiği bir başka ifade ile pH ve tuzluluğun en yüksek olduğu değerlerinde oluştuğu ileri sürülmüştür (Shepperd and Gude, 1968, 1973, Hay 1978) .

Ancak Bigadiç baseninde K-feldispat, klinoptilolit ile analsim arasındaki geçiş zonunda yer almaktadır. Birçok örnekte klinoptilolit + K-feldispat parajenezinin yaygın olarak gözlenmesi yukarıdaki araştırmacıların K-feldispatın daima

analizden sonra oluşacağı görüşünü zayıflatmaktadır. Çünkü basenin merkezine doğru pH'ın artmasına bağlı olarak Si/Al oranının düşüğü ve K-feldispatın analizime göre Si bakımından daha zengin olduğu göz önüne alınırsa böyle bir zonlanmanın gelişmesi son derece doğaldır.

Yukarıda belirtilen görüşlerin ışığı altında inceleme alanında otijenik minerallerin dağılımında gözlenen "yanal mineralojik zonlanma"nın nedenleri aşağıdaki şekilde özetlenebilir :

1. Basenin kenar kesimlerinde göl suyu oldukça tazedir. Burada volkanik camın hidrolizi ile kil mineralleri ve opal-CT oluşmuştur.
2. Gölün merkezine doğru ortamın tuzluluğu artmış ve  $\text{pH} \approx 9$  olduğu ortamda silisin çözünürlüğünün artmasıyla Si/Al oranı yükselmiş ( $\text{Si/Al} \approx 4.5$ ) ve klinoptilolitler oluşmuştur.
3. Bazı sondajlarda klinoptilolitlerin yanında yaygın şekilde K-feldispat oluşumları gözlenmiştir. Basenin merkezine doğru pH'ın artmasına bağlı olarak Si'in çözünürlüğü artmıştır. Ancak Al'un çözünürlüğü daha fazla artacağından Si/Al oranı  $\approx 3-4$  civarında kalmıştır. Bu koşullarda K-feldispat oluşmuştur.
4. Gölün merkezi kesimine doğru pH iyice arttığinden ( $\text{pH} = 9-11$ ) Si/Al oranı daha da azalmış, bu arada ortamın Na kontrasyonu da artmış ve analizim oluşmuştur.

### 5.3 Boratlar

Bigadiç basenindeki borat oluşumları daha önce Özpeker (1969), Ataman ve Baysal (1978), Gündoğdu (1982) ve Baysal vd. (1985) tarafından incelenmiştir. Bununla birlikte bu çalışmada elde edilen mineralojik ve petrografik verilerin ışığı altında yeniden tartışılacaktır.

Bigadiç formasyonunun Uzun Tepe ve İskele üyelerinde gözle- nen borat oluşumları Değirmenli ve Emirler tüflerini veren volkanizmaların hidrotermal getirimleri ile doğrudan ilişkiliidir ve bu ilişki çeşitli araştırcılarca da kabul edilmektedir (Özpeker, 1969; Baysal, 1972, 1973, 1976 ; İnan et.al. 1973 ; İnan, 1975 ; Helvacı ve Firman, 1977 ; Özpeker ve İnan, 1978 ; Ataman ve Baysal , 1978, Gündoğdu, 1982 ; Yalçın, 1984) .

Özpeker (1969) mikroskopik gözlemlere dayanarak borat mineralerinden kolemanitin inyoit veya üleksitten oluştuğunu ileri sürmüştür. Aynı şekilde Gündoğdu'da (1982) boratlı zonda jips ve anhidritin gözlenmesi nedeniyle kolemanitin inyoit'in dehidratasyonyla oluşabileceğini belirtmektedir. Kolemanit doğada Ca-borat serisinin en fazla gözlenen mineralidir. Buna karşın Ca-borat serisinin en fazla su içeren minerali inyoit daha ender görülmektedir. İnan (1975) ile Özpeker ve İnan (1978) bunun nedenini kolemanitin yatağın gömülmesine gerek kalmadan yüzeysel koşullar altında ( $32 \pm 2^{\circ}\text{C}$ 'de)

inyoitten itibaren kolayca oluşabilmesine bağlamışlardır.

Ataman ve Baysal (1973) bor minerallerinin termik kararlılıklarını saptamak amacıyla yaptıkları deneysel çalışmalar da inyoit → meyerhofferit ve inyoit → kolemanit dönüşümle rinin gerçekleşmemesine kar şın, meyerhofferit → kolemenit dönüşümünün kısmen gerçekleştiğini ortaya koymuşlardır. İnan et al. (1973) yaptıkları deneysel çalışmalarla ise inyoit + H<sub>2</sub>O → meyerhofferit + H<sub>2</sub>O dönüşümünü 38°C ve 1 atm basınçta gerçekleştirmi şlerdir. Farmer et al. (1982)'in yaptıkları deney sel çalışmalarla inyoit ve kurnakovitin 250°C'nin altında büy yelerindeki suyun büyük bir kısmını kaybetmelerine kar şın, kolemanit ve hidroborasitin çok daha yüksek sıcaklıklara kadar bozunmadıklarını saptamışlardır. Inyoitin dehidratasyonu sırasında meyerhofferit gözlenmemiştir.

Christ (1960) inyoit ve meyerhofferitin aynı borat polian yonları [B<sub>3</sub>O<sub>3</sub>(OH)<sub>5</sub>]<sup>2n</sup> içerdiginden inyoit → meyerhofferit dönüşümünün basit bir su verme olayıyla gerçekleşmesine kar şın, kolemanitin bunlardan farklı polionyonlardan oluş ması nedeniyle [B<sub>3</sub>O<sub>4</sub>(OH)<sub>3</sub>]<sup>2n-</sup> bu minerallerin kolemanite dönüşümü için ana yapısal değişimlerin gerekli olduğunu ifade etmiştir.

Bu görüşlerden Ca-borat serisinin yüksek sulu mineralleri olan inyoit veya meyerhofferitin basit bir dehidratasyon olayı ile daha az sayıda su molekülü içeren kolemanite dönüşümlerinin mümkün olmadığı ortaya çıkmaktadır. Bu dönüşüm için, suyun aktivitesinin düşmesi, inyoit ve meyerhofferitin çözünlerek ve pH'ya bağlı olarak kolemanit oluşum için gerekli polianyon yapılarının ortaya

çıkması gereklidir. Nitekim bazı kolemenit minerallerinin optik mikroskop incelemeleri ile belirlendiği gibi detritik kuvars kapanımları içermesi ; karbonatların boşluklarında otijenik kuvars ve kolemanit oluşumlarının gözlenmesi bu görüşü büyük ölçüde desteklemektedir.

Bir Ca-borosilikat minerali olan havlitin diyajenetik olarak kolemanitten itibaren olduğu kabul edilmektedir (Le-fond and Barker, 1979). Havlitin kolemanit ile birlikte nodüler olarak gözlenmesi yukarıdaki araştırcıların diyajenetik olarak olduğu görüşünü desteklemektedir.

NaCa serisi borat minerallerinden üleksitin belli bir derişimli erişmiş göl eriyiklerinden kimyasal çökelmeye birincil olarak oluşturduğu çeşitli araştırcılarca kabul edilmektedir (Christ et.al., 1967 ; Özpeker, 1969 ; Baysal, 1972, 1973 ; İnan, 1972, 1975 ; Helvacı ve Firman, 1977). Baysal vd.(1985) tarafından yapılan çalışmayla Uzun Tepe üyesinde boratlı zonun alt kesiminde oldukça önemli olduğu ortaya konulan Na Ca-borat serisi minerallerinden probertitin aynı serinin en yüksek sulu üyesi olan üleksitin dehidratasyonuyla olduğu kabul edilmektedir (Özpeker ve İnan, 1978). Bununla birlikte Uzun Tepe üyesinde boratlı zonun alt kesiminde gözlenen probertitin üleksit ile ardalanmalı olarak yeralması ve kil laminaları ile ayrılmış olması birincil olduğunu göstermektedir. Üleksit ve probertit arasındaki bu ardalanma ise, suyun aktivitesinin artıp azalmasına bağlı olarak gelişmiştir.

Yukarıda oluşumları tartışılan borat minerallerinin dikey dağılımı açısından Uzun Tepe ve İskelenin üyeleri arasında belirgin bir farklılık söz konusu değildir. Buna karşın her iki üye de de yanal yönde Ca-borat → Ca-borat + NaCa-borat şeklinde bir mineralojik zonlanmanın varlığı ortaya çıkmaktadır. Yanal yönde böyle bir zonlanma havzanın merkezine doğru tuzluluğun arttığını arttıgına işaret etmektedir. Bu göreceli artışın nedeni havza kenarlarının taze su getirimi ile seyreltilmesinin bir sonucu olabilir.

Sonuç olarak havzanın merkezine doğru pH ve tuzluluğun artmasına bağlı olarak  $\text{Na}_2\text{O}/\text{CaO}$  oranının da yükselmesi sonucu böyle bir zonlanma gelişmiştir.

Zonlanma haritası ve blok diyagramlarından da görülebileceği gibi Uzun Tepe üyesinde elde mevcut verilere göre tek basen gözlenmesine karşın ; İskelenin evaporasyonun yüksekliği sonucu bir büyük basen içerisinde üleksit oluşumlarının gözleendiği küçük basencikler mevcuttur (EK-6, EK-7, EK-9) Bunlardan özellikle KD-GB doğrultusunda uzanan alt basenlerdeki borat minerallerinin dağılımı, Emirler tüfündeki otijenik minerallerin dağılımı ile kabaca uyumluluk göstermektedir. Bu durum, Uzun Tepe üyesinin çökeliminden sonra ortaya çıkan iki alt basenin etkisini İskelenin çökelimi sırasında kısmen yitirdiğini göstermektedir. Diğer taraftan EK-9'daki blok diyagramlarından da görülebileceği gibi Uzun Tepe üyesinde boratlı zonun GB yönünde kalınlaşması nedeniyle bu bölge borat rezervi açısından umutlu gözükmektedir. Bu nedenle Acep deresi-Simav ocağı arasındaki bölgenin arama sondajları ile taranmasının yararlı olacağını düşünülmektedir.

#### 5.4. Kil Mineralleri

Bigadiç formasyonun Uzun Tepe ve İskele üyeleriinde egemen kil minerali olan trioktaedrik simektitlerin stevensit, Mg-saponit ve Fe-Al saponit karakterinde olduğu daha önce belirtildi. Bunlardan stevensitlerin çeşitli araştıracılar tarafından kimyasal çökelmeye oluştugu kabul edilmektedir (Faust et al., 1959 ; Bradley and Fahey, 1962; Ataman ve Baysal, 1978 ; Gündoğdu, 1982, 1985). Bir başka ifade ile bu simektitler Mg ve  $\text{Si(OH)}_4$  'ce zengin ve pH'ı 9 civarında olan çözeltilerden itibaren oluşmuşlardır (Harder, 1972 ; Ataman ve Baysal, 1978). Stevensitler gibi killi-karbonatlı birimlere bağımlılık gösteren Mg-saponitlerde kimyasal çökelmeyele oluşabileceği gibi Al ve Fe'ce zengin olmaları oluşumlarında ortama getirilen kırıntı malzemenin hidrolizinin de katkısı olabilir (Gündoğdu, 1985). Kırıntılı kökeni gösteren Al,Fe,Ti'ca zengin olan Al-Fe saponitlerden tüflü birimlere bağlı olanlar volkanik malzemenin göl ortamında hidrolizi ile oluşan çözeltilerden itibaren yerinde (in-situ) neoformasyon mekanizması sonucu oluşmuşlardır.

Yukarıda kısaca oluşumları verilen Bigadiç basenindeki simektitlerin dikey ve alansal dağılımları ile kimyasal bilesimleri arasındaki ilişkiye bakıldığından, dikey yönde Uzun Tepe üyesinden İskele üyesine doğru simektitlerin Mg'ca zenginleştiği ; yanal yönde ise hem Uzun Tepe hem de İskele üyelerinde mevcut verilere göre gölün kenar kesimlerindeki killerin  $\text{Al}_2\text{O}_3$  'ce ; buna karşın merkezi kesimdekilerinde ise

MgO'ce daha zengin olduğu ifade edilebilir. Bu durum Jones and Weir (1983)'un belirttiği gibi gölün kenarından açıklara doğru tuzluluğun artmasının bir sonucu olarak ortaya çıkmıştır. Benzer ilişkiler Millot (1964), ve Carmouze et. al., (1977) tarafından da gözlenmiştir.

### 5.5. Karbonatlar

Bigadiç formasyonunun Üzun Tepe ve İskelenin üyeleriinde saptanın karbonat mineralleri kalsit, dolomit, aragonit, manyezit ve stronsiyanittir. Bu mineralerden kalsit, dolomit, aragonit ve manyezitin gölsel ortamlarda yaygın olarak oluştuğu bilinmektedir (Hay, 1970 ; Eugster and Surdam, 1973 ; Eugster and Hardie, 1975 ; Ataman, 1976, 1977 a,b; Gündoğdu ve Ataman 1976 ; Jones, et.al., 1977, Hardie, et.al., 1978 ; Smoot, 1978 ; Eugster and Jones, 1979 ; Wells, et.al., 1979, Ataman ve Gündoğdu, 1980, 1981, 1982 ; Boyer, 1981 ; Gündoğdu, 1982 ; Last and Schweyen, 1983 ; Yuretich and Cerling, 1983 ; Last, 1984 ; Spencer, et.al., 1984 ; Van Damm and Edmond, 1984 ; Yalçın, 1984 ; Gündoğdu, 1985 ; Gündoğdu vd., 1985 ; Yuretich, 1986).

Yukarıda belirtilen mineralerden aragonit, denizel ve gölsel ortamlarda oluşabilmektedir (Alderman and Borch, 1963 ; Lippman, 1973). Bu mineral Mg/Ca oranının 12'den büyük (Müller. et.al., 1972) veya 14 olması (Last ve Schweyer, 1983) durumunda oluşabileceği ileri sürülmüştür. Gündoğdu (1982) ise aragonit oluşumunda Mg/Ca oranının yüksek olmasının gereklilikini bu

oluşumda göl sularında bulunan diğer bileşenlerinde ( $\text{SO}_4^{2-}$  gibi) göz önüne alınması gerektiğini belirtmiştir. Bir başka deyişle ortamda sülfat iyonlarının bulunması durumunda aragonitin daha düşük Mg/Ca oranlarına sahip çözeltilerden itibaren de oluşabileceğini ileri sürmüştür. Ortamda yaygın olarak jips ve anhidrit oluşumlarının gözlenmesi yazarın görüşünü desteklemektedir.

Dolomit oluşumu bugüne kadar hem deneysel hem de jeolojik açıdan incelenmiştir. 1/1 katyon düzeneğine sahip olan ideal dolomitler Mg/Ca oranı oldukça yüksek olan çözeltilerden itibaren bile doğrudan oluşmaktadır (De Boer, 1977; Caines, 1977). Bununla birlikte ilk defa Graf and Goldsmith (1956) tarafından tanımlanmış ve kalsiyumca daha zengin olan protodolomit ise bu tür ortamlarda oluşabilmektedir (Müller et.al., 1972 ; Eugster and Surdam, 1973, De Boer, 1977, Gaines, 1977 ; Hsü and Kelts, 1978 ; Müller and Wagner, 1978).

Bu araştırmılardan Müller, et.al., (1972) protodolomitlerin Mg/Ca = 7-12, Eugster and Surdam(1973) ise 12'den büyük olan çözeltilerden oluşabileceğini belirtmişlerdir. Oluşan bu protodolomitler ise erken diyajenetik evrede dolomite dönüşmektedir (Goldsmith and Graf, 1958 ; Müller et.al, 1972 Gaines, 1977 ; De Boer, 1977). Bigadiç formasyonunda gözlemlenen dolomitlerin çözeltilerden itibaren doğrudan çökelen protodolomitlerden itibaren erken diyajenetik evrede oluştuğu ileri sürülmüştür (Gündoğdu, 1982, 1985; Gündoğdu ve Yalçın 1985).

Bir magnezyum karbonat minerali olan Manyezit,  $Mg^{+2}$  ve  $[CO_3]^{2-}$  bakımından zengin çözeltilerden itibaren oluşan neskeonit ( $MgCO_3 \cdot 3H_2O$ ) veya Hidromanyezit  $[Mg_4(Co_3)_3(CoH)_2 \cdot 3H_2O]$ 'ın zamanla bünyelerindeki suyu kaybetmeleri ile oluşabilmektedir. Neskeonit ve hidromanyezitin manyezite genellikle diyajenez esnasında dönüştüğü ile sürülmektedir (Christ and Hostetler, 1970 ; Lippman, 1973, Sayles and Fyfe, 1973).

Buraya kadar oluşumları tartışılan karbonat minerallerinin Bigadiç formasyonun killi-karbonatlı üyelerindeki dikey dağılımına bakıldığından, istifin en altında yer alan Avşarbaşı üyesinde dolomit (Gündoğdu, 1982) ; Uzun Tepe üyesinde kalsit egemen olup, İskele üyesinde ise dolomitin yanında manyezit ortaya çıkmaktadır. Ayrıca daha önce belirtildiği gibi İskele üyesi istifinde kalsit boratlı zonda dolomit ise üst kesimlerde önem kazanmaktadır. Dikey yöndeki bu dağılımda özellikle simektitlerin denetleme işlevi sonucunda Uzun Tepe üyesinin Değirmenli ve Emirler tuf üyeleri ile olan geçiş zonlarındaki dolomit oluşumları gibi yerel değişimler meydana gelmiştir.

Karbonat minerallerinin alansal dağılımına bakıldığından ise hem Avşarbaşı hemde Uzun Tepe üyesinde belirgin bir farklılığın gözlenmediği ortaya çıkmaktadır. İskele üyesinde ise havzanın merkezi kesiminde dolomitin gözlediği istifin üst seviyelerinde bu mineralin yanında manyezitte ortaya çıkmaktadır. Bu değişim yanal yönde bir mineralojik zonlanma şeklinde değerlendirilebilir (EK-8).

Sonuç olarak tüm istif boyunca Mg/Ca oranında dikey yönde bir değişim gözlenirken, yanal yönde sadece evaporasyonun yüksek olduğu İskele üyesinin üst kesimlerinde bir farklılık mevcuttur. Bir başka deyişle Avşarbaşı üyesinde yüksek olan Mg/Ca oranı, Uzun Tepe üyesinde düşmüştür, İskele üyesinde ise yeniden yükselmiştir. Diğer taraftan evaporasyon/beslenme oranının yüksek olduğu İskele üyesinde Paleogölün merkezine doğru Mg/Ca oranında bir artışın varlığı ortaya çıkmaktadır.

## 6. JEOLOJİK EVRİM VE PALEOCOĞRAFİK YORUM

Gündoğdu (1982 ve 1984) tarafından Bigadiç Neojen baseninin jeolojik evrim ve paleocoğrafik gelişimi ayrıntılı olarak incelenmiş, Yılmaz vd. (1982), Baysal vd. (1985) ve Baysal vd. (1986c) tarafından elde edilen bulgularla da desteklenmiştir. Bununla birlikte, bu çalışmada ulaşılan sonuçların ışığında bölgenin paleocoğrafik gelişimi aşağıdaki şekilde yeniden yorumlanabilir.

Ketin (1977)'e göre çalışma bölgesi ve yakın çevresi Miyosen öncesi dönemde karasaldır. Bu dönemde Temel kayaçları (kumtaşısı ve kristalize kireçtaşları) yüzeylemektedir.

Alt Miyosen başlarında düşey yönlü tektonik hareketlerle Temel kayaçları bloklanmış ve bu kırıklarla ilişkili olarak kalkalkalen karakterli volkanik etkinlik başlamış ve Orta Miyosen-Alt pliyosen arasında evrimini tamamlayarak Bigadiç paleogölü ortaya çıkmıştır (Gündoğdu, 1984). Kimyasal çökelmanın egemen olduğu ortamda Mg/Ca oranı yüksek olduğundan dolomitler oluşmuştur (Avşarbaşı üyesi).

Orta Miyosen sonu ve Üst Miyosen başlarında yeniden etkinlik kazanmaya başlayan volkanizma birbirleri ile yanal geçişli gölisel ve karasal fasiyesteki kristal kül tüflerini vermiştir (Değirmenli tüf üyesi). Yaygın olarak zeolitlesmenin geliştiği (Gündoğdu, 1982) bu dönemde pH ve tuzluluğa bağlı olarak basenin kenarından merkezine doğru klinoptilolit-analsim şeklinde bir mineralojik zonlanma gelişmiş ve söz konusu parametreler en yüksek değerlerine kabaca Kireçlik tepe bölgesinde ulaşmıştır.

Üst Miyosende (Pannonyen) volkanizmanın etkinliğini büyük ölçüde yitirmesi ile birlikte ortamda kimyasal ve kırıntılı çökelme egemen olmaya başlamıştır. Ortamın Mg/Ca oranının düşük olması nedeni ile yaygın olarak kalsit oluşmuştur. Bu arada Değirmenli tüfünü veren volkanizma boratlar ile stevenvit ve mg-saponitlerin oluşumunu sağlamıştır(Uzun Tepe üyesi). Borat minerallerinde pH ve tuzluluğa bağlı olarak  $\text{Na}_2\text{O}/\text{CaO}$  oranının değişimi sonucu borat mineralleri arasında Ca-borat → Ca-borat + NaCa-borat şeklinde bir mineralojik zonlanma gelişmiştir. Bu arada tüflü birimlerin zeolitleşmesi sonucu oluşan mineraller arasında pH ve tuzluluğa bağlı olarak Si/Al ve  $\text{Na}^+\text{K}/\text{Ca}$  oranının değişmesi sonucu klinoptilolit+ opal-CT → klinoptilolit + K-feldispat → analsim şeklinde bir mineralojik zonlanma ortaya çıkmış ve gölün merkezi kesimi bu dönemde de Kireçlik tepe bölgesindeki yerini korumuştur.

Uzun Tepe üyesinin çökeliminden sonra basende yumuşak sediman deformasyon yapılarının oluşumuna neden olan sedimentasyonla çağdaş tektonik hareketler etkinliğini artırmaya başlamış, fay ve kıvrımların oluşmasına neden olmuştur. Bu arada Kisekaya fayının etkisiyle İskele köyünün güney ve kuzeyinde kalan iki yapışal alt basen ortaya çıkmıştır.

Orta Pannonye'de yeniden etkinlik kazanmaya başlayan volkanik faaliyet yaygın olarak zeolitleşmenin geliştiği(Gündoğdu, 1982) gölsel fasiyesteki tüfleri vermiştir(Emirler tüf üyesi). Bu malzemenin zeolitleşmesi sırasında oluşan mineraller arasında basenin kenarından merkezine doğru KB'deki alt basende Opal-A + simektit → Klinoptilolit + opal-CT → klinoptilolit → klinoptilolit + K-feldispat : GD'dekinde

ise klinoptilolit + opal-CT → klinoptilolit + K-feldispat → analsim + K-feldispat şeklinde gelişen zonlanmalar meydana gelmiş ve bu sırada ortamın pH ve tuzluluğu artmıştır. pH ve tuzluluk en yüksek değerine GD'daki alt basende ulaşmıştır.

Üst Pannoniyen-Alt Ponsiyende volkanizmanın etkisini yeniden yitirmesi ile birlikte kimyasal çökelmenin egemen olduğu ortamda Mg/Ca oranı yeniden yükselmiştir. Dikey yönde değişim gösteren bu oran gölün kurumasına yakın bir dönemde yanal yönde de artmıştır. Volkanizmanın son ürünlerini olan ve muhtemelen göl tabanındaki kırık ve çatlaklardan gelen hidrotermal çözeltiler boratlar ile stevensit ve Mg-saponitin oluşumunu sağlamıştır (iskele üyesi). Emirler tüf üyesinin çökeliği sırasında oluşan iki alt basen bu dönemde etkisini yitirmiş ve evaporasyonun etkisi ile ortaya çıkan üç alt basende borat minerallerinde gölün merkezi kesimine doğru pH ve tuzluluğun artmasına bağlı olarak yanal yönde Ca-borat → Ca-borat + NaCa-borat şeklinde bir mineralojik zonlanma ortaya çıkmıştır.

Kıl minerallerinde ise dikey yönde beslenme/evaporasyon oranının düşmesi nedeniyle Uzun Tepe üyesine göre simektitlerin MgO içeriği artmıştır. Zeolit minerallerinde basenin kenarından merkezine doğru pH ve tuzluluğun artmasının sonucu Si/Al oranının azalması ve Na<sup>+</sup>K/Ca oranının artmasına bağlı olarak klinoptilolit + analsim + K-feldispat → analsim + K-feldispat şeklinde bir zonlanma gelişmiştir. Diğer taraftan evaporasyonun en ileri aşamaya ulaştığı bu dönemin sonlarında karbonat minerallerinde merkezi kesime doğru kalsit + dolomit parajenezi yerini dolomit + manyezit parajenezine bırakmıştır.

## 7. SONUÇLAR

Neojen yaşlı Bigadiç sedimanter baseninin merkezi kesiminde yapılmış olan sondaj örnekleri üzerinde gerçekleştirilen mineralojik, petrografik ve jeokimyasal incelemelerden elde edilen sonuçlar aşağıdaki şekilde özetlenebilir.

1. Değirmenli üyesinin gölsel fasiyesteki tüfleri, feldispat (plajiyoklaz + sanidin) analsim, biyotit ve kil mineralerinden oluşmaktadır. Bu minerallerden analsim ilk defa bu çalışmada belirlenmiştir.
2. Tüf arakatkılı killi-karbonatlı birimlerden oluşan Uzun Tepe üyesinde boratlı zonda gözlenen cevher mineralleri ; kolemanit, probertit, üleksit, hidroborasit, meyerhofferit ve havlittir. Kalsit, dolomit, aragonit, stronsianit, klinoptilolit, analsim, feldispat (plajiyoklaz + K-feldispat + sanidin), kuvars, opal-CT, biyotit, hornblend, sölestin, anhidrit, jips ve kil mineralleri üye birimlerinde gözlenen diğer minerallerdir. Kil frankiyonunda gözlenen kil mineralleri bolluk sırasına göre trioktaedrik simektit, illit, klorit ve  $10_I - 14_S$  interstratifiyesidir. Bunlardan analsim ve stronsianitin basendeki varlığı bu çalışmada ortaya konmuştur.
3. Altta iri, üstte ise ince taneli tüflerden oluşan ve yaygın zeolitleşmenin geliştiği Emirler tüf üyesindeki zeolit mineralleri klinoptilolit ve analsimdir. Bu minerallere kalsit, dolomit, feldispat (plajiyoklaz + K-feldispat + sanidin) kuvars, biyotit, simektit ve illit eşlik etmektedir.

4. Uzun Tepe üyesi gibi tuf arakatkıları içeren killi-karbonatlı birimlerden oluşan İskele üyesinde gözlenen mineraller kalsit, dolomit, aragonit, manyezit, stronsianit, klinoptilolit, anal sim, feldispat (plajiyoklaz + K-feldispat + anal sim), kuvars, opal-CT, biyotit, hornblend ve kil mineralle-ridir. Bu minerallerden manyezit, stronsyonit ve opal-CT ilk defa bu çalışmada saptanmıştır. Kil mineralerleri trioktaedrik simektit ve illitler ile temsil edilmektedir. Üyede bo- ratlı zonda gözlenen cevher mineralerleri kolemanit, üleksit, pandermít ve tünelittir. Bu mineralerin dışında boratlı zonda anhidrite de rastlanılmıştır.

5. Otijenik mineralerinin dikey dağılımında Değirmenli tuf üyesinden İskele üyesine doğru Na ve K'ca zengin mineralerinin (anal sim + K-feldispat) miktarının arttığı belirlenmiştir.

6. Bigadiç formasyonunun ; Değirmenli tuf üyesinde, klinop-tilolit → anal sim ; Uzun Tepe üyesinde klinoptilolit + opal-CT → klinoptitolit + K-feldispat → anal sim ; Emirler tuf üyesinde Opal A + simektit → klinoptilolit + opal-CT → klinop-tilolit → klinoptilolit + K-feldispat ve klinoptilolit + opal-CT → klinoptilolit + K-feldispat → anal sim + K-feldispat ; İskele üyesinde ise klinoptilolit + K-feldispat + anal sim → anal sim + K-feldispat şeklinde basenin kenarından merkezine doğru gelişen yanal yönde bir mineralojik zonlanmanın var-lığı ortaya konulmuştur.

7. Uzun Tepe ve İskele üyelerinde basenin kenarından merkezine doğru Ca-borat → Ca-borat + NaCa-borat şeklinde yanal yönde gelişen bir mineralojik zonlanma mevcuttur.

8. Simektitlerin Uzun Tepe → İskele üyesi yönünde ve her iki üyede havzanın merkezine doğru magnezyum içeriğinin arttığı belirlenmiştir.

9. Avşarbaşı üyesinde egemen olan dolomitin, Uzun Tepe üyesinde azaldığı, İskele üyesinde ise tekrar arttığı ve bu minerale manyezitin eşlik ettiği belirlenmiştir. İskele üyesinde  $\text{Ca} + \text{CaMg}$ -karbonat  $\rightarrow \text{CaMg}$  karbonat + Mg karbonat şeklinde gelişen bir mineralojik zonlanmanın varlığı saptanmıştır.

10. Mineralojik, petrografik ve jeokimyasal verilerin ışığı altında Bigadiç Neojen gölsel sedimanter baseninin jeolojik evrim ve paleocoografik gelişimi yeniden yorumlanmaya çalışılmıştır.

Ek Açıklamalar-A

X-IŞINLARI (TÜM KAYAÇ) ÇÖZÜMLEME SONUÇLARI

**Çizelge A.1. Değirmenli Tüf Üyesi Görsel Fasiyes Örneklerinin X-RD(TK)  
Çözümleme Sonuçları(%)**

ÖRNEK NO	KALSIT	A NALSIM	FELDİSPAT	KIVARS	BİYOTİT	KIL MINERALLERI
EİS-14/53(406m)	4	14	5	51	26	
" /54(414m)	5	23	5	57	10	
" /55(415m)	3		16		36	45
EİS-15/26(482m)	6		6	3	57	28
" /27(495m)	8	7	6	65	14	
" /28(503m)	6	19	4	58	13	

ŞİZELGE A.2. UZUN TEPE ÜYESİ ÖRNEKLERİNİN X-RD(TK) ÇÖZÜMLEME SONUÇLARI (%)

ÖRNEK NO	KALSİT	DOLOMİT	ARAGONİT	KLİNOPTİLOLİT	ANALİZ	FELDİSPAT	KVARS	OPAL-CT	BİYOTİT	KIL MINERALLERİ
EİS-3/47 (354m)				89		11				
" /48 (357m)	12		38		33	17				
" /49 (362m)	5			61	25	9				
" /50 (372m)	9			50	35	6				
" /51 (382m)	6		43	28	13	10				
" /52 (405m)	5			34	17	14			30	
" /53 (413m) <sup>1</sup>	30				17	6			47	
" /54 (423m)	37	8			14	12			29	
" /55 (424m)	43		51				6			
" /56 (432m)	98						2			
" /57 (437m)	19				28	5			48	
" /58 (450m)	35	5					6			54
" /59 (462m)	5				9	5				81
" /60 (464m)	45						3			52
" /61 (468m)	100									
" /62 (471m)			Kolemanit+Anhidrit+Jips							
" /63 (474m)			Kolemanit+Anhidrit+Jips							
" /64 (475m)			Kolemanit+Anhidrit+Jips							
" /65 (478m)	50									50
" /66 (479m)	41						2			57
" /67 (480m)			Kolemanit+Anhidrit+Jips							

(1, Hornblend)

## ŞİZELGE A.2. (DEVAM EDİYOR)

RNEK NO	KALSIT	DOLOMIT	ARAGONİT	KLİNOPTİLLİT	ANALİZ M	FELDİSPAT	MİV ARS	OPAL-CT	BİYÖRİT	KIL MINERALLERİ
TS-3/68(482m)			Havlit+Anhidrit+Jips							
" /69(486m)			Anhidrit+Jips							
" /70(487m)	85					15				
" /71(489m)	15					45	40			
" /72(492m)	77						23			
" /73(493m)			Kolemanit+Anhidrit+Jips+Kuvars							
" /74(494m)			Anhidrit+Jips							
" /75(496m)			Havlit(100)							
" /76(499m)	33						15			52
" /77(501m)	54						9			37
" /78(503m)			Havlit(100)							
" /79(507m)						48	52			
" /80(508m)	27	19					9			45
" /81(509m)			Kolemanit(100)							
" /82(511m)			Havlit+Hidroborasit							
" /83(512m)	20					50	30			
" /84/(514m)			Probertit(100)							
" /85(515m)	56						5			39
" /86(517m)			Üleksit(100)							
" /87(519m)			Üleksit(100)							
" /88(519m)			Probertit+Kalsit							

## Çizelge A.2 (Devam Ediyor)

ÖRNEK NO	KALSIT	DOLOMIT	ARAGONİT	KLİNOPTİLOLİT	ANALİZ	FELDİSPAT	KUVARS	OPAL-CT	BİYORTİ	KTL. MINERALLERİ
EİS-3/89 (529m)										
" /90 (531m)		20	9				3			68
" /91 (533m)				Probortit (100)						
" /92 (534m)	5	4	53				1			37
EİS-4/2 (438m)	28			30	9	7			26	
" /3 (444m)	8				13	14				65
" /4 (462m)	35				38	27				
" /5 (475m)	18				9	2			71	
" /6 (490m)	40	4					4			52
" /7 (495m)	68						1			31
" /8 (515m)	59						1			40
" /9 (518m)				Jips+Anhidrit+Kuvars+Solestin						
" /10 (520m)				Kolemanit+Anhidit+Jips						
" /11 (522m)	45						12			43
" /12 (525m)				Kolemanit+Anhidit → Jips						
" /13 (527m)	37						17			46
" /14 (532m)				Kolemanit						
" /15 (539m)	36						18			46
" /16 (543m)				Kolemanit						
" /17 (545m)	43						16			41

## Çizelge A.2 (Devam Ediyor)

ÖRNEK NO	KALSI <sup>T</sup>	DOLOMIT	ARAGONİT	KLİNOKOPTİLOLİT	ANALSİM	FELDİSPAT	MİV ARS	OPAL-CT	BİYOTİT	KTL MINERALLERİ
EİS-4/18(547m)					20	9				71
" /19(550m)	Kolamanit	Kil Kalsit								
" /20(556m)	41					2				57
" /21(558m)	Poroberit									
EİS-7/45(356m)					58	42				
" /46(362m)					62	38				
" /47(366m)	Çözümlemesi	yapılmadı.								
" /48(373m)	Çözümlemesi	yapılmadı.								
" /49(373m)	28		61				11			
" /50(381m)	22					21				57
" /51(382m )	63	30					7			
" /52(395m)					16	12				72
" /53(396m )	77						23			
" /54(402m)	58									42
" /55(404m)	Kolamanit									
" /56(408m)	Kolamanit+Kalsit									
" /57(409m)	Havit									
" /58(411m)	Kolamanit+Havit+Anhidrit+Jips									
" /59(412m)	36						4			60
" /60(419m)	Kolamanit+Anhidrit+Jips+Kalsit									
" /61(421m)	Kolamanit+Kalsit+ Fuvars									
" /62(422m)	22						2			76

## BİZELGE A.2. (Devam Ediyor)

ÖRNEK NO	KALSI <sup>T</sup>	DOLOMIT	ARAGONIT	KLİNOPTİLLİT	ANALSİM	FELDSPAT	MÜVARS	OPAL-CT	BİYOTİT	KIL MINERALLER <sup>T</sup>
EIS-7/63(425m)			Kolamanit+Anhidit+Jips							
" /64(429m)			Kolamanit+Kalsit+ Kuvars							
" /65(429m)	31					14				55
" /66(433m)			Kolamanit+Anhidit+ Kuvars							
" /67(435m)	32					20				48
" /68(436m)					70	30				
" /69(440m)			Probertit							
" /70(442m)			Probertit							
" /71(443m)	6				24					70
" /72(446m)			Probertit							
" /73(447m)	13									87
" /74(451m)			Probertit							
" /75(455m)			Probertit							
" /76(459m)			Probertit							
" /77(461m)			Probertit							
" /78(464m)	45	29					26			
" /79(466m)			Probertit							
" /80(468m)	3	18	13				3			63
" /81(470m)	15	7	27							51

## Cizelge A.2. (Devam Ediyor)

RNEK NO	KALSIT	DOLOMİT	ARACONİT	KLİNOPTİLOLİT	ANALİZİM	FELDİSPAT	KVARS	OPAL-CT	BİYORTİT	KIL. MINERALLERİ
İS-9/55(448m)	30			61		9				
" /56(458m)	86	10					4			
" /57(470m)	7			32		29				32
" /58(475m)	7			38		9	8			38
" /59(476m)	15			55		20	10			
" /60(482m) <sup>1</sup>	19					30			34	17
" /61(482m)	37	18					10			
" /62(492m)	9			32		13	11			35
" /63(494m)	14			57		13	16			
" /64(508m)				30		12	18			32
" /65(516m)	19			36		23	22			
" /66(522m)	19	13	43					7		18
" /67(534m)	54		38					8		
" /68(544m)	71		6					3		20
" /69(546m)	11			14		7	2	52	14	
" /70(552m)	74						3			23
" /71(555m)	32	7				3	5	14	39	
" /72(565m)	62						7			31
" /73(567m)	72									28
" /74(571m)	68						4			28

,Hornblend)

**İzelge A.2. (Devam Ediyor)**

## Çizelge A.2.(Devam Ediyor.)

ÖRNEK NO	KALSIİT	DOLOMİT	ARAGONİT	KLİNOOPTİLOLİT	ANALSİM	FELDİSPAT	MV ARS	OPAL-CT	BİYOTİT	KTL MINERALLERİ
ZİS-9/95(635m)		10	21			4	1			64
" /96(638m)			Probertit							
" /97(640m)			Probertit							
" /98(641m)			Probertit+Kil							
" /99(642m)	23		52							25
ZİS-14/24(289m)	2	17	33				7			41
" /25(292m)	11				5	13	9	32	29	
" /26(293m)	21					18	12	49		
" /27(299m)	89	4	4				3			
" /28(302m)	22				16	5	6	51		
" /29(306m) <sup>1</sup>	45						12			43
" /30(307m)	50	48					2			
" /31(310m)	27	15			9	4	5			40
" /32(315m)	12				18	6	7			57
" /33(317m)	14				5	10	7	20	44	
" /34(319m)	4						1	19	76	
" /35(322m)	59									41
" /36(323m)		Havlit								
" /37(327m)			Kolemanit							
" /38(330m)			Kolemanit							
" /39(332m)	51									49

<sup>1</sup>, Stronsiy anit)

## Tabelge A.2. (Devam Ediyor)

SIRNEK NO	KALSIIT	DOLOMIT	ARAGONIT	KLİNOKOPTİLOLİT	ANALİZ	FELDSPAT	KVARS	OPAL-CT	BİYORİT	KTL MINERALLERİ
EİS-14/40 (334m)		Havlit+Kalsit								
" /41 (336m)			Kolemanit+Kalsit							
" /42 (339m)			Havlit							
" /43 (342m)	62									38
" /44 (352m)					15			35	50	
" /45 (363m)	41					4				55
" /46 (375m)	67					1				32
" /47 (382m)	57					8				35
" /48 (384m)	42					6	3	22	27	
" /49 (391m)	43	6					5	20	26	
" /50 (392m)					19	5		49	27	
" /51 (397m)	90	4					6			
" /52 (404m)	15	2	28				2	19	32	
EİS-15/5 (378m)					31					69
" /6 (379m)	89				8		3			
" /7 (380m)	27					4				69
" /8 (381m)		Havlit								
" /9 (384m)			Kolemanit+Anhidrit+Jips							
" /10 (391m)	20						2			78

(1, Stronsiyum)

## Çizelge A.2(Devam Ediyor)

ÖRNEK NO	KALSIİT	DOLOMİT	ARAGONİT	KLİNOPTİLOLİT	ANALS İM	ELDİSPAT	MİYARS	OPAL-CT	BİXYORİT	KTİ MINERALLERİ
EİS-15/11(396m)	Jips									
" /12(397m)		Kolemanit+Anhidrit+Jips								
" /13(400m)	29						2			69
" /14(405m)	54						16			30
" /15(408m)		Kolemanit								
" /16(409m)		Kolemanit								
" /17(411m)		Havlit								
" /18(412m)	55									45
" /19(414m)	36									64
" /20(416m)		Kolemanit								
" /21(419m)	36									64
" /22(427m)	45						1			54
" /23(438m)	55						1			44
" /24(456m)	39									61
" /25(470m)						14		46	40	
EİS-16/1(64m)		19		73		8				
" /2(72m)	5			40		7	5	20	23	
" /3(78m)	20			31		6	5		38	
" /4(81m)	15			5		9	4		40	27
" /5(88m)	23			42		7			28	
" /6(95m)	18		79				3			



## İzleme A.2.(Devam Ediyor)

SIRNEK NO	KALSIŞT	DOLOMİT	ARAGONİT	KLİNOKTİLOLİT	ANALSİM	FELDİSPAT	MİV ARS	OPAL-CT	BİYOFİT	KIL MINERALLERİ
EİS-16/27(223m)	15			10		4	2		50	19
" /28(226m)	8				19		4		43	26
" /29(229m)	63					4	3			30
" /30(240m)	38		11			5	1			45
" /31(247m)	59						3			38
" /22(249m)	21									79
" /33(262m)	40		11				3			46
" /34(268m)		Kolemanit								
" /35(276m)	5					10	8		31	46
" /36(291m)		Kolemanit								
" /37(307m)	3					10	5		27	56
" /38(322m)		Anhidrit+Jips								
" /39(325m)		Kolemanit+Anhidrit+Jips								
EİS-17/23(370m)	70		21				3			
" /24(3,0m)		Çözümlemesi Yapılmadı.								
" /25(371m)	37		8	13		4	4		16	18
" /26(371m)	32		33				3			32
" /27(375m)	5		21	17		8	6		18	25
" /28(376m)	16			43		23	18			
" /29(386m)	9			25		5	8		31	22
" /30(391m)	85		11				4			

## ŞİZELGE A.2 (Devam Ediyor)

ÖRNEK NO	KALSIT	DOLOMİT	ARAGONİT	KLİNOPTİLOLİT	ANALİZ	FELDSPAT	KVARS.	OPAL-CT	BİYOTİT	KIL MINERALLERİ
TS-17/31(393m)			Çözümlemesi yapılmadı.							
" /32(402m)	41		7		5	4				43
" /33(409m)	66									34
" /34(417m)					9			28		63
" /35(423m)	67									33
" /36(441m)	42					6				52
" /37(447m)			Kolemanit							
" /38(451m)	45					1		11		43
" /39(457m)			Probertit							
" /40(460m)	43									57
" /41(463m)			Kolemanit							
" /42(480m)	55									45
" /43(484m)	54									46
" /44(493m)					15			41		44
" /45(498m)	61	13					1			25
" /46(509) <sup>1</sup>					16	4		60		20
TS-18/1(354m)	32				34	34				
" /2(366m)	15			24		7	10			44
" /3(369m)	6		88				6			

(1, Hornblend)

Çizelge A.2.(Devam Ediyor)

ÖRNEK NO	KALSIİT	DOLOMİT	ARAGONİT	KLINOPTİLOLİT	ANALSİM	FELDİSPAT	KVARS	OPAL-CT	BİXYORİT	KTL MINERALLERİ
EİS-18/4(374m)	72						7			21
" /5(380m)	76						24			
" /6(383m)	11					63	2		24	
" /7(395m)	51	9					6			34
" /8(404m)	38					14	3			45
" /9(410m)	68						3			29
" /10(419m)	27					30	43			
" /11(422m)						22	20		58	
" /12(436m)	58					10	32			
" /13(450m)		Çözümleme si yapılmadı.								
" /14(450m)	82						18			
" /15(452m)		Çözümleme si yapılmadı.								
" /16(453m)	57						1			42
" /17(469m)	7					14	20			59
" /18(471m)		Probertit								
" /19(474m)		3	50				2			45
EİS-20/2(163m)	21	74					5			
" /3(166m)	12	13				54	21			
" /4(168m)	79					21				
" /5(169m)	5	7	51				8			29

### Çizelge A.2. (Devam Ediyor)

SIRNEK NO	KALSIT	DOLOMIT	ARAGONİT	KLİNOPTİLOLİT	ANALİZİM	FELDSPAT	KIVARS	OPAL-CT	BİYOTİT	KIL MINERALLERİ
EYS-2/1(5m)	99					1				
" /2(13m)	67									33
" /3(16m)	85						15			
" /4(32m)	48									52
" /5(35m)					14			28		58
" /6(38m)	39									61
" /7(39m)	66									34
" /8(44m)	100									
" /9(46m)					29					71
" /10(48m)	55					1				44
" /11(54m)	37									63
" /12(56m)	100									
" /13(62m)	64									36
" /14(68m)					12	4		18		66
" /15(69m)	45									55
" /16(77m)					17			38		45
" /17(80m)	40									60
" /18(83m)	Kolemanit									
" /19(92m)	Kolemanit									
" /20(98m)	9				20					71

Çizelge A.2. (Devam Ediyor)

SIRNEK NO	KALSİT	DOLOMİT	ARAGONİT	KLİNOPTİLOLİT	ANALİZ FM	FELDSPAT	KVARS	OPAL-CT	BİYORİT	KIL MINERALLERİ
EYS-2/21(98m)	97				3					
" /22(99m)	37									63
" /23(103m)		Üleksit								
" /24(106m)	24	8								68
" /25(108m)					15			30		55
" /26(111m)	60	6					1			33
" /27(112m)		Üleksit								
" /28(115m)	13	16								71
" /29(122m)		Üleksit								
" /30(129m)		Üleksit								
" /31(130m)	15									85
" /32(135m)	17	40					3			40
" /33(139m)	39	3	22				2			33
" /34(145m)	32	66					2			
" /35(152m)	46	4	13				3			34
" /36(154m)	75	25					2			
" /37(164m)	16	5	49				2			28
" /38(173m)	62	35					3			

**izelge A.3. Emirler Tüf Üyesi Örneklerinin X-RD(TK) Çözümlemesi Sonuçları.**

RNEK NO	KALSİT	DOLOMİT	ARAGONİT	KLİNOPTİLOLİT	ANALS İM	FELDİSPAT	KVARS	OPAL-CT	BİYÖRİT	KIL MINERALLERİ
S-2/24(150m)				36		11				53
İS-3/24(86m)				76		9		15		
" /25(97m)				88		12				
" /26(105m)				88		12				
" /27(117m)				95		5				
" /28(127m)				100						
" /29(136m)				100						
" /30(148m)				76		8		16		
" /31(158m)				29		71				
" /32(159m)				74		10		16		
" /33(173m)				100						
" /34(192m)				100						
" /35(201m)				35		58		7		
" /36(205m)				38		62				
" /37(222m)				84				16		
" /38(234m)				100						
" /39(251m)				84				16		
" /40(258m)				84				16		
" /41(272m)				89		11				
" /42(282m)				86				14		
" /43(292m)				80		7		13		

## İzelge A.3. (Devam Ediyor)

RNEK NO	KALSİT	DOLOMİT	ARAGONİT	KLİNOPTİLOLİT	ANALİZİM	FELDİSPAT	KV ARS	OPAL-CT	BİYORİT	KIL MINERALLERİ
TS-3/44 (318m)				100						
" /45 (333m)				92		8				
" /46 (343m)				92		6				
TS-4/1 (413m)	13				50	37				
TS-7/36 (106m)				89	11					
" /37 (117m)		73								27
" /38 (118m)		75								25
" /39 (141m)				86	14					
" /40 (251m)				80	10	10				
" /41 (257m)				81	9	10				
" /42 (275m)				81	10	9				
" /43 (293m)				46	8	9				37
" /44 (347m)				80	9	11				
TS-8/28 (125m)				100						
TS-9/31 (169m)				91	9					
" /32 (173m)				70	6			24		
" /33 (184m)				76	9				15	
" /34 (185m)				85	15					
" /35 (193m)				80	9				11	
" /36 (196m)				79	8				13	

## Çizelge A.3. (Devam Ediyor)

ÖRNEK NO	KALSİT	DOLOMİT	ARAGONİT	KLİNOPTİLOLİT	ANALİZ M	FELDSPAT	KVARS	OPAL-CT	BİXYOTTİ	KIL MINERALLERİ
EİS-9/37(197m)				77	9				14	
" /38(225m)				83	12	5				
" /39(238m)				76	10			14		
" /40(271m)				70	9					21
" /41(296m)				75	13				12	
" /42(314m)				88	12					
" /43(325m)				84	12	4				
" /44(339m)				82	12	6				
" /45(350m)				80	14	6				
" /46(357m)				64	8	4				24
" /47(369m)				82	12	6				
" /48(378m)				63	8	9			20	
" /49(378m)				83	12	5				
" /50(399m)				67	8	4				21
" /51(416m)	6			80	11	3				
" /52(420m)				83	10	7				
" /53(436m)	28				72					
" /54(437m)	5				26	8		24	27	
EİS-14/21(94m)				43	5	3			49	
" /22(101m)				73	10	5			12	
" /23(255m)	55					2				43

Çizelge A.3(Devam Ediyor)

SIRNEK NO	KALSIT	DOLOMIT	ARAGONIT	KLİNOPTİLOLİT	ANALİZİM	FELDSPAT	MÜVARS	OPAL-CT	BİYOTİT	KIL MINERALLERİ
EİS-15/1(74m)	41	47					12			
" /2(160m)					78	8	14			
" /3(170m)					47	13	21			19
" /4(241m)					52	9	39			
EİS-17/2(95m)				83		11	6			
" /3(96m)				83		10	7			
" /4(111m)				89		9	2			
" /5(126m)				88		12				
" /6(141m)				90		10				
" /7(150m)				88		12				
" /8(160m)				89		11				
" /9(180m)				89		11				
" /10(200m)				89		11				
" /11(217m)				86		14				
" /12(235m)				88		12				
" /13(254m)				74		11	4			11
" /14(278m)				74		10	5			11
" /15(297m)				28		3				69
" /16(318m)	7			78		13	2			
" /17(333m)				72		16	2			10

## BİZELEĞE A.3. (Devam Ediyor)

RNEK NO	KALSIT	DOLOMİT	ARAGONİT	KLİNOKTİLOLİT	ANALİZİM	FELDİSPAT	MİMARŞ	OPAL-CT	BİYOTİT	KIL MINERALLERİ
TS-17/18(336m)				84		3	2		11	
" /19(345m)	5					19	13		31	32
" /20(350m)	5					20	14		32	29
" /21(355m)	20			39		5	3			33
" /22(366m)	18			42		6	3			31
TS-20/1(157m)				80		11	9			
PS-18/32(63m)	61			30		7	2			
" /33(67m)				88		12				
S-15/25(97m)				84		10	6			
S-51/65(200m)				88		12				

Çizelge A.4. İskele Üyesi Örneklerin X-RD(TK) Çözüleme sonuçları.

ÖRNEK NO	KALSİT	DOLOMİT	ARAGONİT	KLİNOOPTİLOLİT	ANALİZİ	FELDSPAT	KVARTS	OPAL-CT	BİYOTİT	KTL MINERALLERİ
AS-2/1(22m)	33				56	11				
" /2(30m)	15				81	4				
" /3(54m)	19	6	44							31
" /4(55m)	11	2	44							43
" /5(56m)	37	13			20	28	2			
" /6(70m)	11	19				15				55
" /7(72m)		40				9	1			50
" /8(77m)	74	24					2			
" /9(80m)	26	3			9	18	8			36
" /10(82m)	7					57				18
" /11(86m)	67	2								31
" /12(92m) <sup>1</sup>	59									41
" /13(96m)	41									59
' /14(102m)		Kolemanit								
' /15(110m)	18	55								27
' /16(116m)		Üleksit								
' /17(117m)	44	26								30
' /18(118m)					11					89
' /19(123m)		Üleksit								
/20(126m)	3	68								29
/21(132m)	19	9	36							16
/22(139m)	36	29	12							23

<sup>1</sup>, Stronsiyanit)

**izelge A.4.(Devam Ediyor)**

## izelge A.4. (Devam Ediyor)

RNEK NO	KALSI <sup>T</sup>	DOLomit	ARGONIT	KLINOPTILOLIT	ANASIT	FELDSPAT	KVARS.	OPAL-CT	BYOTIT	KIL MINERALLERİ
TS-3/22(74m)	100									
" /23(81m)	86		14							
TS-7/1(1m) <sup>1</sup>		45					55			
" /2(1m) <sup>2</sup>		Manyezit(100)								
" /3(3m) <sup>3</sup>		45						55		
" /4(5m)		100								
" /5(6m)		51					2			47
" /6(11m)		100								
" /7(13m)					9	8				83
" /8(15m)		100								
" /9(21m)	33	20	11							36
" /10(22m)						10				90
" /11(23m)		100								
" /12(25m)	34	35				26	5			
" /13(25m)	41	59								
" /14(28m)						100				
" /15(28m)		100								
" /16(32m) <sup>4</sup>	12					82	6			
" /17(33m)	81	19								
" /18(35m)		91					9			

,2,3, Manyezit  
,Hornblend)

## zelge A.4. (Devam Ediyor)

NEK NO	KALISIT	DOLOMIT	ARAGONIT	KLİNOPTİLOLİT	ANALSİM	FELDSPAT	KVARS	OPAL-CT	BİYOTİT	KIL MINERALLERİ
3-7/19 (38m)	16	8				20				56
" /20 (44m)	44									56
" /21 (47m)	100									
" /22 (54m)	76		24							
" /23 (62m)	56									44
" /24 (64m)	13		28							59
" /25 (66m)										100
" /26 (72m)	12				19		2			67
" /27 (74m)	61									39
" /28 (75m)		Pandermit (100)								
" /29 (75m)		Kolemanit (100)								
" /30 (75m)	19		23							58
" /31 (77m)	23		19							58
" /32 (82m)		65								35
" /33 (87m)	11	7	53							29
" /34 (92m)		48				11	3			38
" /35 (96m)		72								28
-8/1 (7m)	30	9								61
" /2 (16m)	40	14								46
" /3 (17m)		13								87
" /4 (21m)		5		82		10	2			
" /5 (23m)			100							
" /6 (26m)	67	10	23							

## izelge A.4. (Devam Ediyor)

RİZEK NO	KALSIKT	DOLOMİT	ARGONIT	KLİNOPTİLLİT	ANALİZİM	FELDSPAT	MİVARS	OPAL-CT	BİYOTİT	KIL MINERALLERİ
S-8/7 (32m)		100								
" /8(36m)	26	27				7	3			37
" /9(37m)	12	9	26							53
" /10(43m)	100									
" /11(48m)	100									
" /12(49m)				26		37				37
" /13(53m)	29									71
" /14(64m)	19	45	36							
" /15(69m)	74									26
" /16(70m)					26			19		55
" /17(74m)	42						7			51
" /18(76m)	66		6							28
" /19(77m)	76			24						
" /20(82m)		Kolemanit(100)								
" /21(83m)		Sölestin(100)								
" /22(85m)	12	5	57							26
" /23(91m)	37	32	31							
" /24(98m)	9	50	12				1			28
" /25(102m)	100									
" /26(102m)	31	27	34			6	2			
" /27(116m)	61		28			11				

elge A.4(Devam Ediyor)

## .zlege A.4.(Revam Ediyor)

RNEK NO	KALSI <sup>T</sup>	DOLOMIT	ARAGONIT	KLİNOPTILOLİT	ANALS İM	FELDSPAT	KVARS	OPAL-CT	BÝOTİT	KTL MINERALLER <sup>T</sup>
S-9 /22(135m)	12		9							79
" /23(136m)			Kolemanit(100)							
" /24(137m)	8	4	22							66
" /25(137m)	10	4	21			4				61
" /26(143m) <sup>1</sup>	45									55
" /27(148m)	31	2	44							23
" /28(152m)	5	40	17			3				35
" /29(159m)	21	26	20							33
" /30(162m)	61		12							27
S-14 /1(5m)		41								59
" /2(12m)					25	3	2		15	55
" /3(21m)		38					2			60
" /4(22m) <sup>2</sup>					10	25	11		25	29
" /5(27m)	34	13			6	5	6			36
" /6(34m)	4	16	32		5	4	2			37
" /7(36m)					5	70				25
" /8(44m)	57					9			16	18
" /9(45m)	3					24	2		58	13
" /10(49m) <sup>3</sup>	3					32	3		45	17
" /11(50m)	9					32				59
" /12(56m) ,Stronsiy anit) ,3,Hornblend)	33	9						58		

**z**elge A.4. (Devam Ediyor)

#### **elge A.4 (Devam Eððyor)**

Çizelge A.4 (Devam ediyor)

NEK NO	KALSI <sup>T</sup>	DOLOMIT	ARAGONIT	KLİNOPTİLOLİT	ANALSİM	FELDSPAT	MİYARS	OPAL-CT	BİYOTİT	KIL MINERALLERİ
-15/1 (4 m)		78								22
" /2 (9 m)		72								28
' /3 (9 m)		100								
' /4 (12 m)		78								22
' /5 (14 m)		74								26
' /6 (15 m)	3				14	6				77
' /7 (19 m)		89				11				
' /8 (24 m)		100								
' /9 (30 m)					41	3		13		43
' /10(37 m)	60	3								37
' /11(38 m) <sup>1</sup>	56	2					3			39
' /12(50 m) Kolemanit										
' /13(52 m)	52	11								37
' /14(54 m)	37	63								
' /15(56 m) Kolemanit										
' /16(59 m)	42	20	10							28
' /17(64 m)	45									55
' /18(68 m)		81								19
' /19(73 m) Kolemanit										
' /20(75 m) <sup>2</sup>	73	27								
' /21(76 m) Kolemanit										
' /22(78 m)										100

(1,2, Stronsiyanit)

#### Çizelge A.4 (Devam ediyor)



## Çizelge A.4 (Devam ediyor)

RNEK NO	KALSIT	DOLOMİT	ARAGONİT	KLİNOPTİLOLİT	ANALİZİN	FELDİSPAT	KVARS	OPAL-CT	BİYOTİT	KIL MINERALLERİ
PS-51/11 (87 m)		26				7	1			66
" /12 (87.10 m)		100								
" /13 (87.50 m)				20	17	6	2	30	25	
" /14 (88 m) <sup>1</sup>		62								38
" /15 (90 m) <sup>2</sup>		72					2			26
" /16 (90.50 m)		43								57
" /17 (91 m)		18		29		7				46
" /18 (92 m)		58								42
" /19 (92.50 m)		100								
" /20 (97 m)		62								38
" /21 (98 m)				90		10				
" /22 (100 m)		11				38				51
" /23 (101 m)		100								
" /24 (105 m)					40					60
" /25 (105.60 m)					73	19	8			
" /26 (106.50 m)				84		11	5			
" /27 (107 m)	12	34	24							30
" /28 (108 m)	16	7	52							25
" /29 (110 m)	10	39	17							34

(1,2 Manyezit )

## Çizelge A.4 (Devam ediyor)

DRİVER NO	KALSIİT	DOLOMİT	ANAKONİT	KLİNOPTİLOLİT	ANALİZİM	FİELDİSPAT	KV. ARS	OPAL-CT	BİYOTİT	KTL. MINERALLERİ
PS-51/30 (112 m)	4				3	32	2		27	32
" /31 (112.50 m)	31	69								
" /32 (113 m)	29	18				7	5			41
" /33 (114 m)	59	7	13							21
" /34 (115 m)	26					74				
" /35 (116 m)		75								25
" /36 (120.20 m) <sup>1</sup>						66			34	
" /37 (121 m)	44					28	3		25	
" /38 (125 m)	26	52								22
" /39 (125.20 m)	72									28
" /40 (125.40 m)	5					15			28	52
" /41 (127 m) <sup>2</sup>	9				29	10				52
" /42 (128 m)						25			23	52
" /43 (131 m)	62									38
" /44 (134 m)	37						2			61
" /45 (136 m)	6		46							48
" /46 (138 m)	35	25								40
" /47 (139 m)	61		36				3			
" /48 (142 m)	58									42
" /49 (143 m)	28						8			64

(1,2 Hornblend)

Çizelge A.4 (Devam ediyor)

TİREK NO	KALSIYUM	MANGANEZİT	ANDİSENİT	KLİNOKFİLOLİT	ANALİM	FİLİDİSPAT	KALİUM ARS	OPAL-CT	BİFORİT	KIL MINERALLERİ
PS-51/50 (145 m)		71								29
" /51 (147 m)	66									34
" /52 (148 m)				20	9	2		37	32	
" /53 (151 m)	40		11				5			44
" /54 (155 m)	53									47
" /55 (156 m)	62		7							31
" /56 (156.50 m)					34			24	42	
" /57 (157 m)	40		25				3			32
" /58 (159 m) Kolemanit(100)										
" /59 (162 m)	17									83
" /60 (165 m)	7	8	50				1			34
" /61 (176 m)	39	35								26
" /62 (191 m)	21	19	15			7	1			37
" /63 (193 m)	3	72								25
" /64 (197 m)	50						1			49
TS~4 /1 (67 m)	2	7	62							29
" /2 (78 m)		54								46
" /3 (88 m)		72								28
" /4 (90 m)		62		4						34
" /5 (93 m)		73								27
" /6 (105 m)		100								
" /7 (111 m)	5	38					1			56

#### Çizelge A.4 (Devam ediyor)

## Çizelge A.4 (Devam ediyor)

BUKU NO	KALSIİT	MONTİT	ARAGONİT	KLİNOPTİLOLİT	ANASİM	FENİSPAT	KALİUM ARS	OPAL-CT	BYOTİT	KIL MINERALLERİ
TS-10/14 (113 m)	15		85							
" /15 (125 m)	4	37	22							37
" /16 (141 m)	5		30			11				54
TS-12/1 (8 m)			73							27
" /2 (10 m)		75								25
" /3 (27 m) <sup>1</sup>	65									35
" /4 (51 m) <sup>2</sup>	100									

(1,2 Stronsiyanit)

Ek Açıklamalar-B

X-IŞINLARI (KİLFRANKS İYONU) ÇÖZÜMLEME SONUÇLARI

Ek Çizelge B.1 Uzun Tepe Üyesi Örneklerinin X-RD (KF) Çözümleme  
Sonuçları

<u>ÖRNEK NO</u>	<u>TİLLİT</u>	<u>SİMEKTİT</u>	<u>KLORİT</u>
EİS-7/49(373 m.)	E	10	
" /52(395 m.)	3	5	2
" /53(396 m.)		10	E
" /54(402 m.)	E	10	
" /59(412 m.)		10	E
" /62(422 m.)	E	10	E
" /65(429 m.)	E	10	E
" /67(435 m.)	E	10	E
" /71(443 m.)	1	9	E
" /72(446 m.)	E	10	E
" /73(447 m.)	E	10	
" /78(464 m.)	2	6	2
" /80(468 m.)	E	10	E
" /81(470 m.)	0.5	9	0.5
EİS-14/24(289 m.)	E	10	
" /27(299 m.)	0.5	9	0.5
" /29(306 m.)		10	
" /30(307 m.)	E	10	E
" /32(315 m.)	2	6	2
" /35(322 m.)		10	
" /39(332 m.)		10	
" /43(342 m.)		10	
" /45(363 m.)		10	

E = 0.5'den az

## Ek Çizelge B.1 (Devam Fdiyor)

<u>ÖRNEK NO</u>	<u>ILLİT</u>	<u>SİMERKİT</u>	<u>KLORİT</u>
EİS-14 / 46 (375 m.)	E	10	
" / 47 (382 m.)	E	10	E
" / 49 (391 m.)	3.5	3.5	3
" / 51 (397 m.)	3	4	3
" / 52 (404 m.)	2.5	5.5	2.0
EİS-17 / 26 (371 m.)	1	9	
" / 28 (376 m.)	3	7	
" / 29 (386 m.)	2	7	1
" / 32 (402 m.)	1.5	8.5	E
" / 33 (409 m.)		10	E
" / 34 (417 m.)	0.5	9	0.5
" / 35 (423 m.)	E	10	
" / 36 (441 m.)		10	
" / 38 (451 m.)	E	10	
" / 40 (460 m.)		10	
" / 42 (480 m.)		10	
" / 43 (484 m.)	E	10	
" / 44 (493 m.)	1	9	E
" / 45 (498 m.)	1	8	1
" / 46 (509 m.)	E	10	
EYS-2 / 2 (13 m.)		10	
" / 3 (16 m) <sup>1</sup>			
" / 4 (32 m.)		10	
" / 6 (38 m.)		10	
" / 7 (39 m.)		10	
" / 8 (44 m) <sup>2</sup>			
<hr/> E : 0.5'den az ; 1 sepiyolit ; 2, $10^{-14}$ S.			

<u>ÖRNEK NO</u>	<u>ILLİT</u>	<u>SİMEKTİT</u>	<u>KLORİT</u>
EYS-2 / 10 (48 m.)		10	E
" / 11 (54 m.)		10	E
" / 12 (56 m.)		10	
" / 13 (62 m.)		10	
" / 15 (69 m.)	E	10	E
" / 17 (80 m.)	E	10	E
" / 21 (98 m.)		10	
" / 22 (99 m.)	E	10	E
" / 24 (106 m.)	E	10	E
" / 26 (111 m.)		10	
" / 28 (115 m.)	E	10	E
" / 31 (130 m.)		10	E
" / 32 (135 m.)	E	10	E
" / 33 (139 m.)	1	8.5 0.5	
" / 34 (145 m.)	1	8 1	
" / 35 (152 m.)	3	4.5 2.5	
" / 36 (154 m.)	0.5	9 0.5	
" / 37 (164 m.)	3	5 2	
" / 38 (173 m.)	1.5	7 1.5	

---

E : 0.5 'den az

Ek Çizelge B.2 Emirler Tüf Üyesi Örneklerinin X-RD (KF) Çözümleme  
Sonuçları

<u>ÖRNEK NO</u>	<u>İLLİT</u>	<u>SİMEKTİT</u>
EİS-7 / 37 (117 m.)	E	10
" / 38 (118 m.)		10
EİS-9 / 35 (193 m.)	5	5
EİS-14/ 23 (255 m.)		10
EİS-17/ 21 (355 m.)		10
"/ 22 (366 m.)	5	5

Ek Çizelge B.3 İskele Üyesi Örneklerinin X-RD (KF) Çözümleme  
Sonuçları

<u>ÖRNEK NO</u>	<u>TLLİT</u>	<u>SİMETİT</u>	<u>KLORİT</u>
EİS-7 / 4 ( 5 m)		10	
" / 5 ( 6 m)		10	
" / 6 (11 m.)		10	
" / 8 (15 m.)		10	
" / 9 (21 m.)		10	
" /11 (23 m.)		10	
" /13 (25 m.)		10	
" /15 (28 m.)		10	
" /17 (33 m.)		10	
" /20 (44 m.)		10	
" /21 (47 m.)		10	
" /22 (54 m.)		10	
" /24 (64 m.)		10	
" /27 (74 m.)		10	
" /30 (75 m.)		10	
" /31 (77 m.)		10	
" /32 (82 m.)		10	
" /33 (87 m.)		10	
" /35 (96 m.)		10	
EİS-14/1 (5 m.)		10	
" /3 (21 m.)		10	
" /6 (34 m.)		10	

<u>ÖRNEK NO</u>		LILLIT	SİMEKTİT	KLORİT
EİS-14 / 11 (50 m.)			10	
" / 12 (56 m.)			10	
" / 13 (57 m.)			10	
" / 15 (68 m.)			10	
" / 17 (78 m.)			10	
" / 18 (84 m.)			10	
" / 19 (91 m.)			10	
" / 20 (92 m.)			10	
PS-51 / 5 (74 m.)	E	10	E	
" / 6 (75 m.)	0.5	9.5	E	
" / 7 (77 m.)		10		
" / 8 (79 m.)		10		
" / 9 (81 m.)		10		
" / 10 (84 m.)		10		
" / 11 (87 m.)		10		
" / 14 (88 m.)		10		
" / 15 (90 m.)		10		
" / 16 (90.50 m)		10		
" / 18 (92 m.)		10		
" / 19 (92.50 m)		10		
" / 20 (97 m.)		10		
" / 22 (100 m.)		10		
" / 23 (101 m.)		10		

E : 0.5'den az

Ek Çizelge B.3 (Devam ediyor).

<u>ÖRNEK NO</u>	SİMEKTİT
PS-51 / 27 (107 m.)	10
" / 28 (108 m.)	10
" / 29 (110 m.)	10
" / 31 (112.50 m)	10
" / 33 (114 m.)	10
" / 35 (116 m.)	10
" / 38 (125 m.)	10
" / 39 (125.20 m)	10
" / 43 (131 m.)	10
" / 44 (134 m.)	10
" / 45 (136 m.)	10
" / 46 (138 m.)	10
" / 47 (139 m.)	10
" / 48 (142 m.)	10
" / 49 (143 m.)	10
" / 50 (145 m.)	10
" / 51 (147 m.)	10
" / 53 (151 m.)	10
" / 54 (155 m.)	10
" / 55 (156 m.)	10

Ek Çizelge B.3 (Devam ediyor).

<u>ÖRNEK NO</u>	SİMEKTİT
PS-51 / 57 (157 m.)	10
" / 59 (162 m.)	10
" / 60 (165 m.)	10
" / 61 (176 m.)	10
" / 63 (193 m.)	10
" / 64 (197 m.)	10

EK AÇIKLAMALAR-C

KİMYASAL ÇÖZÜMLEME SONUÇLARI

Çizelge C.1 Uzun Tepe Üyesi Sımektörülerinin Ana Element Çözümüme Sonuçları (%)

ÖRNEK NO	% SiO <sub>2</sub>	% Al <sub>2</sub> O <sub>3</sub>	% TiO <sub>2</sub>	% Fe <sub>2</sub> O <sub>3</sub>	% CaO	% Na <sub>2</sub> O	% Ateşte Kayıp(100 °C)	Toplam
EİS-14/35 (322 m)	60.45	2.28	0.19	0.46	26.45	2.07	0.09	0.07 10.17
EİS-14/39 (332 m)	57.61	1.76	0.19	0.63	25.44	1.77	0.16	0.08 11.45
EİS-14/43 (342 m)	54.77	3.19	0.23	0.63	25.69	1.80	0.09	0.10 11.33
EİS-14/45 (363 m)	59.16	3.71	0.22	0.41	26.20	1.52	0.35	0.06 11.14
EİS-14/46 (375 m)	56.84	3.71	0.23	0.84	26.71	2.12	0.20	0.13 11.00
EİS-17/35 (423 m)	58.64	1.43	0.19	0.32	26.20	1.61	0.42	0.09 11.23
EİS-17/36 (441 m)	57.87	2.08	0.19	0.53	26.96	1.45	0.09	0.10 11.00
EİS-17/40 (460 m)	58.13	2.21	0.21	0.61	26.96	1.47	0.11	0.17 10.87
EİS-17/42 (480 m)	59.42	2.08	0.20	0.51	26.20	1.68	0.12	0.13 11.30
EYS-2/2 (13 m)	58.64	4.49	0.28	1.76	23.83	1.89	0.30	0.23 9.94
EYS-2/7 (39 m)	59.16	2.28	0.21	0.95	25.94	1.84	0.38	0.09 8.22
								99.07

ÖRNEK	NO	% SiO <sub>2</sub>	% Al <sub>2</sub> O <sub>3</sub>	% TiO <sub>2</sub>	% Fe <sub>2</sub> O <sub>3</sub>	% MgO	% CaO	% Na <sub>2</sub> O	% K <sub>2</sub> O	% Ateş te Kayıp(1000 °C)	Toplam
EYS-2/12 (56 m)	59.42	2.15	0.19	0.46	27.98	1.50	0.39	0.14	8.67	100.90	
EYS-2/28 (115 m)	56.32	7.48	0.20	0.71	24.49	1.11	0.18	0.16	10.07	100.73	
EYS-2/31 (130 m)	58.38	2.67	0.05	0.36	25.44	1.54	0.15	0.09	11.46	100.14	

Gizelge C.2 Uzun repe üyesi simetri türlerinin yapışal formülleri

ÖRNEK NO	TETRAEDRE			OKTAEDRE			YAPRAKLAR A R A S I			Y.Y.
	Si	Al	Fe	Al	Mg	Fe	Ti	Ca	Na	
EiS-14/35 (322 m)	3.97	0.03	-	0.15	2.59	0.02	0.01	0.15	0.01	0.01
EiS-14/39 (332 m)	3.92	0.08	-	0.06	2.72	0.02	0.01	0.15	0.01	0.01
EiS-14/43 (342 m)	3.83	0.17	-	0.09	2.71	0.03	0.01	0.14	0.01	0.01
EiS-14/45 (363 m)	3.88	0.12	-	0.17	2.60	0.02	0.01	0.11	0.05	0.01
EiS-14/46 (375 m)	3.80	0.20	-	0.09	2.69	0.04	0.01	0.15	0.02	0.01
EiS-17/35 (423 m)	3.97	0.03	-	0.09	2.68	0.02	0.01	0.12	0.03	0.01
EiS-17/36 (441 m)	3.91	0.09	-	0.07	2.76	0.02	0.01	0.11	0.00	0.00
EiS-17/40 (460 m)	3.89	0.11	-	0.05	2.74	0.03	0.01	0.11	0.02	0.02
EiS-17/42 (472 m)	3.96	0.04	-	0.12	2.64	0.02	0.02	0.12	0.02	0.01
EYS-2 /2 (13 m)	3.90	0.10	-	0.25	2.36	0.09	0.01	0.13	0.04	0.02
EYS-2/7 (39 m)	3.95	0.05	-	0.13	2.58	0.05	0.01	0.13	0.05	0.01
EYS-2/12 (56 m)	3.91	0.09	-	0.08	2.74	0.02	0.01	0.11	0.05	0.01

Çizelge C.2 (Devam ediyor)

ÖRNEK NO	TETRAEDRE			OKTAEDRE			YAPRAKLAR A R A S I			Y.Y.	
	Si	Al	Fe	Al	Mg	Fe	Ti	Ca	Na	K	
EYS-2/28 (115 m)	3.76	0.24	-	0.35	2.39	0.04	0.01	0.08	0.02	0.01	2.79
EYS-2/31 (130 m)	3.97	0.03	-	0.18	2.58	0.02	0.00	0.11	0.02	0.01	2.78

Çizelge C.3 İskelenin Üyesi Simekittitlerinin Ana Element Gözümlüme Sonuçları (%)

ÖRNEK NO	% SiO <sub>2</sub>	% Al <sub>2</sub> O <sub>3</sub>	% TiO <sub>2</sub>	% Fe <sub>2</sub> O <sub>3</sub>	% MgO	% CaO	% Na <sub>2</sub> O	% K <sub>2</sub> O	% Ateşte Kayıp(1000°C)	Toplam
EİS-7/6 (11 m)	61.18	3.77	0.26	0.84	23.05	1.08	0.11	1.02	8.59	99.90
EİS-7/8 (15 m)	62.66	3.25	0.22	0.73	24.01	1.08	0.12	1.03	8.43	101.53
EİS-7/9 (21 m)	59.71	2.28	0.20	0.54	25.18	1.57	0.10	0.35	8.07	98.00
EİS-14/3 (21 m)	57.87	4.10	0.23	0.69	20.73	1.15	0.19	1.13	13.75	99.84
EİS-14/11 (50 m)	59.16	1.30	0.20	0.41	23.71	1.31	0.05	0.04	11.97	98.14
PS-51/7 (77 m)	55.45	4.80	0.31	1.30	23.78	1.72	0.91	1.73	8.28	98.28
PS-51/8 (79 m)	62.36	3.01	0.21	0.85	27.29	1.26	0.43	0.37	7.12	102.90
PS-51/9 (81 m)	57.47	3.01	0.14	0.71	27.12	1.33	0.42	0.35	8.91	99.46
PS-51/10 (84 m)	51.07	3.01	0.26	0.62	24.25	1.24	0.96	0.68	15.47	97.56
PS-51/13 (87.50 m)55.89	7.22	0.24	1.25	24.56	0.92	0.48	0.92	8.26	99.74	
PS-51/15 (90 m)	52.86	3.57	0.30	0.58	24.17	0.96	0.60	0.52	18.59	102.15
PS-51/18 (92 m)	51.58	4.28	0.31	0.59	23.70	1.40	1.11	1.80	14.06	98.83

**Yüzeyde %<sup>o</sup> (nevam eiyor)**

ÖRNEK NO	% SiO <sub>2</sub>	% Al <sub>2</sub> O <sub>3</sub>	% TiO <sub>2</sub>	% Fe <sub>2</sub> O <sub>3</sub>	% MgO	% CaO	% Na <sub>2</sub> O	% K <sub>2</sub> O	% Ateşte Kayıp(1000°C)	Toplam
PS-51/19 (92.50m)	57.94	1.89	0.02	0.25	26.35	1.15	0.50	0.21	10.60	98.91
PS-51/20 (97 m)	56.26	1.89	0.13	0.25	27.82	1.32	0.40	0.05	12.13	100.25
PS-51/22 (100 m)	54.79	10.02	0.40	1.03	23.94	0.81	0.55	1.16	8.99	101.69
PS-51/23 (101 m)	54.24	2.56	0.20	0.56	28.06	1.53	0.63	0.20	13.03	101.02
PS-51/27 (107 m)	55.23	2.17	0.21	0.46	23.32	1.64	0.56	0.65	13.77	98.01
PG-51/29 (110 m)	55.75	2.24	0.24	0.61	28.91	1.55	0.69	0.30	9.74	100.03
PS-51/33 (114 m)	56.44	1.99	0.26	0.65	28.13	1.84	0.87	0.39	11.96	102.54
PS-51/38 (125 m)	48.39	2.31	0.30	0.77	25.18	1.24	0.60	0.79	18.76	98.34
PS-51/43 (131 m)	58.07	1.90	0.22	0.19	25.43	3.02	0.39	0.09	9.43	98.74
PS-51/46 (138 m)	57.26	2.72	0.32	0.42	24.10	1.57	0.70	0.31	11.99	99.39
PS-51/47 (139 m)	55.97	2.36	0.25	0.34	24.76	1.99	0.44	0.21	13.21	99.53
PS-51/49 (143 m)	62.32	1.29	0.19	0.14	24.98	2.05	0.51	0.07	9.10	100.65

Çizelge C.3 (Devam ediyor)

ÖRNEK NO	% SiO <sub>2</sub>	% Al <sub>2</sub> O <sub>3</sub>	% TiO <sub>2</sub>	% Fe <sub>2</sub> O <sub>3</sub>	% MgO	% CaO	% Na <sub>2</sub> O	% K <sub>2</sub> O	% Ateşte Kayıp(1000°C)	Toplam
PS-51/51 (147 m)	57.49	1.36	0.17	0.09	25.80	2.87	0.26	0.03	11.33	99.40
PS-51/53 (151 m)	60.92	0.86	0.21	0.14	25.41	2.10	0.44	0.07	9.61	99.78
PS-51/60 (165 m)	55.28	1.89	0.25	0.21	25.06	1.91	0.46	0.09	16.76	101.91
PS-51/64 (197 m)	54.94	5.65	0.26	0.37	26.09	2.76	0.29	0.33	9.56	100.25

ÖRNEK NO	TETRAEDERE						OKTAEDRE						YAPRAKLAR A R A S I					
	Si	Al	Fe	Al	Mg	Fe	Ti	Ca	Na	K	T.O.K.	Y.Y.						
EİS-7/6 (11 m)	4.04	-	-	0.29	2.27	0.04	0.01	0.08	0.01	0.09	2.61	0.43						
EİS-7/8 (15 m)	4.06	-	-	0.25	2.32	0.04	0.01	0.08	0.02	0.08	2.62	0.45						
EİS-7/9 (21 m)	4.01	-	-	0.18	2.52	0.03	0.01	0.11	0.01	0.03	2.74	0.29						
EİS-14/3 (21 m)	4.05	-	-	0.34	2.16	0.04	0.01	0.09	0.03	0.10	2.55	0.50						
EİS-14/11 (50 m)	4.11	-	-	0.11	2.46	0.02	0.01	0.10	0.01	0.00	2.60	0.65						
PS-51/7 (77 m)	3.80	0.20	-	0.19	2.43	0.07	0.02	0.13	0.12	0.15	2.74	0.48						
PS-51/8 (79 m)	3.94	0.06	-	0.16	2.57	0.04	0.01	0.09	0.05	0.03	2.78	0.28						
PS-51/9 (81 m)	3.86	0.14	-	0.10	2.72	0.04	0.01	0.10	0.05	0.03	2.87	0.24						
PS-51/10 (84 m)	3.81	0.19	-	0.07	2.70	0.04	0.01	0.10	0.14	0.06	2.82	0.51						
PS-51/13 (87.50m)	3.73	0.27	-	0.30	2.44	0.06	0.01	0.07	0.06	0.08	2.81	0.27						
PS-51/15 (90 m)	3.85	0.15	-	0.16	2.62	0.03	0.02	0.07	0.08	0.05	2.83	0.26						
PS-51/18 (92 m)	3.76	0.24	-	0.13	2.57	0.03	0.02	0.11	0.16	0.17	2.75	0.54						
PS-51/19 (92.50 m)	3.97	0.03	-	0.12	2.61	0.01	0.00	0.08	0.07	0.02	2.74	0.42						

Gizelge C.4 (Devam ediyor)

ÖRNEK NO	TETRAEDRE				OKTAEDRE				YAPRAKLAR A R A S I			
	Si	Al	Fe	Al	Mg	Fe	Ti	Ca	Na	K	T.O.K.	Y.Y.
PS-51/20 (97 m)	3.88	0.12	-	0.03	2.86	0.01	0.01	0.10	0.05	-	2.91	0.24
PS-51/22 (100 m)	3.61	0.39	-	0.39	2.35	0.05	0.02	0.06	-	0.10	2.81	0.39
PS-51/23 (101 m)	3.77	0.21	0.02	-	2.91	0.01	0.01	0.11	0.09	0.02	2.93	0.33
PS-51/27 (107 m)	3.98	0.02	-	0.16	2.51	0.03	0.01	0.13	0.08	0.06	2.71	0.36
PS-51/29 (110 m)	3.78	0.18	0.03	-	2.92	-	0.01	0.11	0.09	0.03	2.93	0.95
PS-51/33 (114 m)	3.82	0.16	0.02	-	2.84	0.01	0.01	0.13	0.11	0.03	2.86	0.43
PS-51/38 (125 m)	3.75	0.21	0.04	-	2.90	-	0.02	0.10	0.09	0.08	2.92	0.37
PS-51/43 (131 m)	3.95	0.05	-	0.10	2.58	0.01	0.01	0.22	0.05	0.01	2.70	0.52
PS-51/46 (138 m)	3.97	0.03	-	0.19	2.49	0.02	0.02	0.13	0.09	0.03	2.72	0.34
PS-51/47 (319 m)	3.93	0.07	-	0.13	2.59	0.02	0.01	0.15	0.06	0.02	2.75	0.40
PS-51/49 (143 m)	4.10	-	-	0.10	2.45	0.01	0.01	0.14	0.06	0.01	2.57	0.73 (Siliis fazlalığı)

Çizelge C.4 (Devam ediyor)

ÖRNEK NO	TETRAEDRE						OKTAEDRE						YAPRAKLAR A.R.A.S.I					
	Si	Al	Fe	Al	Mg	Fe	Ti	Ca	Na	K	T.O.K.	Y.Y.						
PS-51/51 (147 m)	3.97	0.03	-	0.08	2.66	0.01	0.01	0.21	0.03	-	2.76	0.40						
PS-51/53 (151 m)	4.08	-	-	0.07	2.54	0.01	0.01	0.15	0.06	0.01	2.63	0.64 (Siliis fazlalığı )						
PS-51/60 (165 m)	3.94	0.06	-	0.10	2.66	0.01	0.01	0.15	0.06	0.01	2.78	0.37						
PS-51/64 (197 m)	3.71	0.29	-	0.16	2.63	0.02	0.01	0.20	0.04	0.03	2.82	0.43						

DEĞİNİLEN BELGELER DİZİNİ

A.S.T.M., 1972, Inorganic Index to the Powder Diffraction File. Joint Committee an Powder Diffraction Standards, Pennsylvania, 1432 p.

Alderman, A.R. and Von Der Borch, cc, 1963, A dolomite reactions. series: Nature, 188, P.931.

Al-Droubi, A., 1976, Geochimie des sels et des solutions Concentrees par evaporation. Madele thermodynamique de simulation. Application au sols salés du Tchad: Mem. Sci. Géol, 46, 177s.

Ataman, G., 1966, Geochimie des minéraux argileux dans les bassins sédimentaires marins: Etudes Sur le bassin Triassique du Jura Mem. Serv. Carte geol. Als. Lorr., 25, 237 s.

Ataman, G., 1976, Türkiye'de yeni bir analsim oluşluğu ve zeolitli serilerle plaka tektoniği arasında muhtemel ilişkileri Yerilimleri, 1, 9-24.

Ataman, G., 1977a, Batı Anadolu (Ege Bölgesi) zeolit yataklarının ve bunların oluşumlarının saptanması: TBTAK TBAG-197 no.lu proje Rap. 72S Ankara (Yayınlanmamış).

Ataman,G., 1977b,Batı Anadolu zeolit oluşumları:Yerbilimleri, 3,85-95.

Ataman,G.ve Baysal,O.,1973,Bazı bor minerallerinin termik reaksiyonları ve bunların atom yapısına etkisi Cumhuriyetin 50.yılı Yerbilimleri Kongresi Bült, s.537-565

Ataman,G.and Baysal,O.,1978,Clay mineralogy of Turkish borate deposits: Chem Geol.,22,233-247.

Ataman,G. et Beseme,P.,1972,Decouverte de l'analcime sedimentaire en Anatolie du Nord-Ouest(Turquie): Mineralogit ,Cenese,Paragenese,Chem.GeoL,9,203-225.

Ataman.G.ve Gündoğdu,M.N.,1980,Kuzey-Orta Anadolu sedimenter serilerinde zeolit oluşumlarının araştırılması: Doğa Temel Bilim.,4,15-20.

Ataman,G.ve Gündoğdu,M.N.,1981,Anadolu tersiyerinde analimatlı zonlar ve bunların jeolojik korumu:Yerbilimleri,7,9-14.

Ataman,G.and Gündoğdu,M.N.,1982 Analcimic zones in the Tertiary of Anatolia and their geological positions: Sediment.GeoL.,31,89-99.

Baysal,O.,1972,Sarıkaya(Kırka)Borat yataklarının mineralojik ve jenetik incelenmesi:Doçentlik Tezi,Hacettepe Üniversitesi,Ankara,157 s.

Baysal,O., 1973,sarıkaya (Kırka) borat yataklarının oluşumu: Türkiye Mad.Bil.ve Tek.III.Kongresi Bült., s.255-227.

Baysal,O., 1976,Türkiye Bor Tuzları: Hacettepe Fen ve Mühendislik Bilimleri Dergisi,6,207-226.

Baysal,O.,Salancı,B.,Batman,B.,Yılmaz,O.,Kasapoğlu,E.,Şahbaz,A.,Görmüş,S.,Kocaeefe,S.,Gündoğdu,N.,Kazanoğlu,H.,Şentürk,A.,Öner,M.,Bayhan,H.,Cerit,O.,Karayıçit,A.İ. Yalçın,H.,Tolluoğlu,Ü.,Demirel,İ.H.,Genç,Y.,Dilaver,T.,Temel,A...,Çetin,H.ve Bağcı,G,1985, Bigadiç borat havzası jeolojisi ve ekonomik potansiyelinin tespit edilmesi projesi: H.Ü.Yerbilimleri Uygulama ve Araştırma Merkezi,Proje kodu: YUVAM/84-3,2565. (Yayınlanmamış).

Baysal,O., Günay.G.,Arikan,A.,Ekmekçi,M.,Bayarı,S.,Varol,Z.,Değirmenci,M.ve Yeşertener,C.,1986a,Bigadiç Kolemanit işletmesinde karşılaşılan yeraltısuyu sorunun çözümüne yönelik alternatiflerin ön araştırılması projesi: H.Ü.Yerbilimleri Uygulama ve Araştırma Merkezi,Proje Kodu:YUVAM/85-3;117S.

Baysal,O.,Gündoğdu,N.,Temel,A.ve Öner,F.,1986,Bigadiç zeolit oluşumlarının ekonomik jeolojik incelenmesi projesi: H.Ü.Yerbilimleri Uygulama ve Araştırma Merkezi, Proje Kodu: YUVAM/85-2, 155 s.

Baysal,O., Batman,B., Yılmaz,O., Görmüş,S., Şahbaz,A., Cerit,O.,  
 Yalçın,H., Karayığit,A.İ., Salancı,B. ve Bayhan,H.,  
 1986 c, Bigadiç borat havzası ve yakın çevresinin  
 jeolojik incelenmesi, danışmanlık ve kontrol hiz-  
 metleri projesi: H.Ü.Yerbilimleri Uygulama ve Ar-  
 astırma Merkezi, Proje Kodu:YUVAM/85-1,90S.

Bekişoğlu,K.A., 1961, Türkiye'de boryatakları ve bunların  
 arzettiği ehemmiyet: M.T.A. Derleme Rap no.3400  
 (Yayınlanmamış).

Boles,J.R and Surdam,R.C., 1979, Diagenesis of volcanogenic  
 sediments in a Tertiary saline lake: Wagon Bed  
 formation, Wyoming, Amer.Jour.Science, 279, 832-853.

Boyer,B.W., 1981, Tertiary lacus trine sediments from sentinel  
 Butte, North Dakota and the sedimentary record of  
 ectogenic meromixis: Jour Sed.Petrol., 51, 429-440.

Bradley,W.F. and Fahey,J.J., 1962, Occurrence of stevensite in  
 the Green River Formation of Wyoming: Amer Mineral  
 47, 996-998.

Carmouze,J.P., Pedro,G. et Berrier,J. 1977, Sur la nature des  
 simectites de neoformation du lac Tchad et leur  
 distribution spatiale en fonction des conditions  
 hydrogeochimiques: Comptes Rendu Academy Science  
 Francais, Ser.D., 284, 615-618.

Christ,C.L.,1960,crystal chemistry and systematic classification of hydrated borate minerals.Am.Min,45,334-340.

Christ,C.L.,Truesdell,A.H.and Erd.C.R.,1967,Borate minerals assemblages in the system  $\text{Na}_2\text{O}-\text{CaO}-\text{MgO}-\text{B}_2\text{O}_3-\text{H}_2\text{O}$ : Geochim Cosmochim Acta,31,313-339.

Christ,C.L.and Hostetler,P.B.,1970,Studies in the system  $\text{MgO}-\text{SiO}_2-\text{CO}_2-\text{H}_2\text{O}$ (II) : The activity-product constant of magnesite: Amer.Jour.of Science,268,439-453.

Çakır,A. ve Dündar,A.,1982,Balıkesir-Bigadiç boratlı Neojen incelenmesi hakkında ön rapor: M.T.A.raporu Ankara, 14S,2 Ek.(Yayınlanmamış).

De Boer,R.B.,1977,Stability of Mg-Ca carbonates:Geochim Cosmochim.Acta,41,265-270.

Deffeyes, K.S.,1959,Zeolites in sedimentary rocks:Jour.Sed. Petrol.,29,602-609.

Eugster,H.P.and Hardie,L.A.,1975,Sedimentation in an playa-lake complex:The Wilkins peak member of the Green River Formation of Wyoming.Geol.Soc.Amer.Bull, 86,319-334.

Eugster,H.P.and Jones,B.F.,1979,Behavior of major solutes during closed-basin brine evolution:American Journal of science,279,609-631.

- Eugster, H.P. and Surdam, R.C., 1973, Depositional environment of the Green River Formation of Wyoming: A preliminary report. *Geol.Soc.Amer.Bull.*, 84, 1115-1120.
- Farmer, J.B., Gilbert, A.J.D. and Haines, P.J., 1982, Thermal analysis of borate minerals: in Thermal analysis (Miller. Bernard ed.) Proceeding of the International Conference on Thermal Analysis, 7, 1, 650-656.
- Faust, G.T., Hataway, J.C. and Millot, G., 1959, Restudy of stevensite: *Amer.Mineral.*, 44, 342-370.
- Gac, J.Y., AL-Droubi, A., Fritz, B. and Tardy, Y., 1977, Geochemical behaviour of silica and magnesium during the evaporation of waters in chad: *Chem. Geol.*, 19, 215-228.
- Gaines, A.M., 1977, Protodolomite redefined: *Jour. Sed.Petrol.* 45, 543-546.
- Goldsmith, J.R. and Graf.D.L., 1958, Structural and compositional variations in some natural dolomites: *J.Geol.*, 66, 678-692.
- Graf,D.L. and Goldsmith, J.R., 1956, Some hydrothermal syntheses of dolomite and protodolomite: *Jour.Geology*, 64, 173-186.
- Grim, R.E. and Kulbicki, G., 1961, Montmorillonites: High temperature reactions and classification: *Amer mineral*, 46, 1329-1369.

Gündoğdu, M.N., 1982, Neojen yaşlı Bigadiç sedimanter basesinin Jeolojik, mineralojik ve jeokimyasal incelenmesi : H.Ü. Doktora Tezi, 386 s.

Gündoğdu, M.N., 1984, Bigadiç gölsel Neojen baseninin jeolojisi : Yerbilimleri, 11, 91-104.

Gündoğdu, M.N., 1985, Bigadiç gölsel Neojen baseninde karbonat mineralleri ile simektitlerin dağılımı: II. Ulusal Kil Kempozyumu Bildirileri, H.Ü. 123-140.

Gündoğdu, M.N. ve Ataman, G., 1976, Tavşanlı (Kütahya) çevresinde sedimanter manyezit oluşumu: Yerbilimleri, 2, 134-139.

Gündoğdu, M.N. ve Ataman, G., 1983, Bigadiç formasyonunda bazı eser elementlerin dağılımı ve Sr izotop jeokimyası: 37. Türkiye Jeol.Bil.Tek.Kur.Bildiri özetleri, s.115-116.

Gündoğdu, M.N. and Gökçen, S.L., 1982, On the origin of a Miocene paleolake turbidite horizon. Balıkesir (NW. Anatolia-Turkey): Abst.Vol. 11<sup>th</sup> Inter.Congr. Sediment., Canada, p.153.

Gündoğdu, M.N. ve Gökçen, S.L., 1983, Bigadiç gölsel Neojen basenindeki birincil sedimanter yapılar ve kökenleri: Yerbilimleri, 10, 89-93.

Gündoğdu, M.N., Tenekeci, Ö., Öner, F., Dündar, A. ve Kaya-kiran, S., 1985, Beypazarı trona yatağının kil mineralojisi: Ön çalışma sonuçları II. Ulusal Kil Sempozyumu Bildirileri, s.141-153.

- Gündoğdu, M.N. and Yalçın, H., 1985, Possible use of strontium in borate exploration: An example from Bigadiç and Emet Neogene Basins of Turkey: I. World. Cong. Nonmetal. Min., Belgrade, Summary, 2, 289-300.
- Gündoğdu, M.N. ve Yılmaz, O., 1984, Kil mineralojisi yöntemleri, I. Ulusal Kil Sempozyumu Bildirileri, Ç.Ü., s.319-330.
- Harder, H., 1972, The role of magnesium in the formation of simektite minerals: Chem. Geol. 10, 31-39.
- Hardie, L.A., Smoot, J.P. and Eugster, H.P., 1978, Saline lakes and their deposits: a semimentological approach. In Modern and Ancient Lake Sediments, A. Matter and M.E. Tucker eds., Blackwell Sci. Pbl., Oxford, p.7-42.
- Hay, R.L., 1964, Phillipsite of salina lakes and soils: Amer. Mineral., 49, 1366-1387.
- Hay, R.L., 1966, Zeolites and zeolitic reactions in sedimentary rocks: Geol. Soc. Spec. Paper., 85, 130p.
- Hay, R.L., 1970, Silicate reactions in three lithofacies of a semi-arid basin, Olduvai Gorge Tanzania: Mineral. Soc. Amer. Spec. Paper, 3, 237-255.
- Hay, R.L., 1978, Geologic Occurrence of Zeolites: In Natural Zeolites, occurrence, Properties, use, L.B. Sand and F.A. Mumpton Eds., Pergamon Press, New York, p.135-145.

- Helvacı, C. ve Firman, R.J., 1977, Emet borat yataklarının jeolojik konumu ve mineralojisi: Jeoloji Müh.Derg., 2, 17-29.
- Hsü, K.J. and Kelts, K., 1978, Late Neogene sedimentation in the Black sea: In Modern and Ancient Lake Sediments, A Matter and M.E. Tucker eds., Blackwell Sc.Publ., Oxford, p.127-144.
- İnan, K., 1972. New borate district, Eskişehir-Kırka province. Turkey: Inst.Mining and Met., 81, B 163-165.
- İnan, K., 1975, Sulu bor yataklarının oluşum modeli: T.J.K. Bült.18, 2, 165-168.
- İnan, K., Dunham,A.C. and Esson, J., 1973, The mineralogy geochemistry and origin of the Kırka borate deposit, Eskişehir province, Turkey: Inst.Mining and Met. 82, B 114-B 123.
- Jones, B.F., Eugster, H.P. and Rettig, S.L., 1977, Hydrochemistry of Lake Magadi basin, Kenya: Geochim. Cosmochim. Acta, 41, 53-72.
- Jones, B.F. and Weir, A.H., 1983, Clay minerals of Lake Abert, an alkaline, saline lake: Clays and Clay Minerals, 31, 3, 161-172.
- Jones, J.B. and Segnit, E.R., 1971, The nature of Opal: I. nomenclature and constituent phases. Jour.Geol. Soc.Aust. 18, 57-68.
- Kalafatçıoğlu, A., 1964, Balıkesir-Kütahya arasındaki bölgenin jeolojisi: T.J.K. Bülteni, 9, 46-63.

Ketin, İ., 1966, Anadolu'nun Tektonik Birlikleri : M.T.A.  
Enstitüsü Dergisi, 66, 20-34

Ketin, İ., 1977, Türkiye'nin başlıca orojenik olayları ve  
paleocoğrafik evrimi: M.T.A. Dergisi, 88, 1-4.

Kutlu, R., 1963, M.Ali Meydan'a ait Bor tuzu ruhsat sahası  
(Balıkesir): M.T.A. Derleme Rap. No. 1011, 255  
(yayınlanmamış).

Last, W.M., 1984, Sedimentology of playa lakes of the  
northern Great Plains: Con. J. Earth.Sci., 21,  
107-125.

Last, W.M. and Schwegen, T.H., 1983, Sedimentology and  
geochemistry of salina lakes of the Great Plains:  
Hydrobiologia, 105, 245-263.

Lefond, S.J. and Barker, J.M., 1979, A borate and zeolite  
occurrence near Magdalena, Sonora,Mexico: Econ.GeoL  
74,8,1883-1889.

Lippmann, F., 1973, Sedimentary Carbonate Minerals: Springer  
Verlag, Berlin, 229 p.

M.T.A., 1965, Türkiye Borat Yatakları: M.T.A. Enstitüsü  
Yayını, 125, 12 s.

M.T.A., 1978, Bigadiç-Balıkesir Bor tuzu maden işletmelerinin  
Simav çayında neden oldukları bor kirlenmesi sorunu  
üzerine ön çalışma: M.T.A. Derl.Rap.No. 6357,14 s.  
(yayınlanmamış).

Mariner, R.H. and Surdam, R.C., 1970, Alkalinity and formation of zeolites in saline alkaline lakes: Science, 170, 977-980.

Meixner, H., 1952, Ennige biorateminrale (Colemanit und tertschit ein neues mineral) aus der Turkei: Fortschr. Mineralogie, 31, 39-42.

Meixner, H., 1953, Neue türkische Boratlagerstatten Berg. U. Hüttenmann. Monatsh. 98, 86-92.

Meixner, H., 1956, Die neue türkische boratprovinz un Iskeleköy bei Bigadiç im Vilayet Balikesir: Sonderabdruck aus Kali und Steinsals, 2, 43-47, Essen, Verlag Glückauf.

Millot, G., 1964, Geologie des Argiles: Masson et Cie., Paris ("Geology of Clays, " translated by W. Farrand and H. Paquet: New York, Springer. Verlag, 1970, 425 p.)

Müller, G., Irion, G. and Förstner, U., 1972, Formation and diagenesis of Inorganic Ca-Mg Carbonates in the lacustrine environment: Naturwissenschaften, 59, 158-164.

Müller, G. and Vagner, F., 1978, Holocene carbonate evolution in lake Balaton (Hungary): a response to climate and impact of Man. In Modern and Ancient Lake Sediments. A.Matter and M.E. Tucker Eds. Blackwell Sci.Publ. Oxford, p.55-80.

- Özpeker, I., 1969, Batı Anadolu borat yataklarının mukayeseli jenetik etüdü: Doktora Tezi, İstanbul Teknik Üniversitesi, 116 s.
- Özpeker, I. ve İnan, K., 1978, Batı Anadolu borat yataklarında izlenen mineral birliklerinin yatay evrimiyle ilişkileri: T.J.K. Bült., 21,1,1-10.
- Sayles, F.L. and Fyfe, W.S., 1973, The crystallisation of magnesite from aqueous solutions: Geochim.Cosmochim. Acta, 37, 87-100.
- Schmid, R., 1981, Descriptive nomenclature and classification of pyroclastic deposits and fragments: Recommendations of the IUGS subcommission on the systematics of Igneous Rocks. Geology, 9, 41-43.
- Sheppard, R.A. and Gude, A.J. 3rd., 1968, Distribution and genesis of authigenic silicate minerals in tuffs of Pleistocene Lake Tecopa, Inyo Country, California: U.S. Geol. Survey Prof. Paper, 547, 38 p.
- Sheppard, R.A. and Gude, A.J. 3rd., 1969, Diagenesis of tuffs in the Barstow formation, Mud Hills, San Bernardino Country, California: U.S. Geol. Survey Prof. Paper, 634, 35 p.
- Sheppard, R.A. and Gude, A.J. 3rd., 1973, Zeolites and associated authigenic silicate minerals in tuffaceous rocks of the Big Sandy Formation, Mohave Country, Arizona: U.S. Geol. Survey Prof. Paper, 830, 36 p.

Smoot, J.P., 1978, Origin of the carbonate sediments in the Wilkins Peak Member of the Lacustrine Green River Formation (Eocene) Wyoming, U.S.A.: In Modern and Ancient lake sediments. A Matter and M.E. Tucker eds., Blackwell Scientific Publ., Oxford, p.107-126.

Surdam, R.C., 1977, Zeolites in closed hydrologic systems: In Mineralogy and Geology of Natural Zeolites, F.A. Mumpton ed., Southern Printing Co., Blacksburg, Virginia. p.65-89.

Surdam, R.C. and Eugster, H.P., 1976, Mineral reactions in the sedimentary deposits of the lake Magadi region. Kenya: Geol.Soc.Amer.Bull., 87,1739-1752.

Surdam, R.C. and Parker, R.B., 1972, Authigenic aluminosilicate minerals in the tuffaceous rocks of Green River Formation, Wyoming: Geol.Soc.Amer.Bull., 83, 689-700.

Surdam, R.C. and Sheppard, R.A., 1978, Zeolites in saline alkaline lake deposits: In Natural Zeolites, occurrence, properties, use, L.B. Sand and F.A. Mumpton eds., Pergamon Press, New York, p.145-175.

Spencer, R.J., Baedecker, M.J., Eugster, H.P., Forester, R.M., Goldhaber, M.B., Jones, B.F., Kelts, K., McKenzie, J., Madsen, D.B., Rettig, S.L., Rubin, M. and Bowser, C.J., 1984, Great Salt Lake, and precursors, Utah: The last 30.000 year. Contrib. Mineral.Petrol., 86, 321-334.

- Tardy, Y., 1981, Silice, silicates magnesiens, Silicates sodiques, et géochimie des paysages arides: Bull. Soc. Geol. France, 23, 325-334.
- Von Damm, K.L. and Edmond, J.M., 1984, Reverse weathering in the closed-basin lakes of the Ethiopian Rift: Ame. Jour. Sci. 284, 835-862.
- Weaver, C. and Pollard, L.D., 1973, The Chemistry of clay minerals: Elsevier Scientific Publ. Co., Amsterdam, 213p.
- Wells, N.A., Cloke, P.L. and Dawson, RS, 1979, Water Chemistry during the development of Paleogene flagstaff of Central Utah: Geol. Soc. Ame. Abstracts with programs, 11, 7, p.537.
- Yalçın, H., 1984, Emet Neojen Gölsel Baseninin jeolojik ve Mineralojik petrografik incelenmesi: H.Ü.Yük.Müh. Tezi, Ankara, 269 s.(yayınlanmamış).
- Yalçın, R., 1972, Bigadiç'te İsmail Hakkı Eren'in ruhsatlı bortuzu sahasının ön etüd raporu: M.T.A. Derl.Rap. no. 4960, 5 s.(yayınlanmamış).
- Yılmaz, İ., 1977a, Bigadiç bölgesi bazaltik volkanizmasının mutlak yaşı. Doğa, Temel Bilm., 1, 210-212.
- Yılmaz, İ., 1977b, Bigadiç Bölgesi Neojen volkanizmasının ve ofiyolitik kayaçlarının petrolojisine katkılar: TBTAK VI. Bilim Kongresi. Matematik, Fiziki ve Biyolojik Bilimler Araştırma Grubu Tebliğ Özetleri, s.290, Ankara.

Yılmaz, O., 1977, Hacettepe Üniversitesi Yerbilimleri Enstitüsü Kayaç Kimyası Laboratuvarında uygulanan kayaç analiz yöntemleri: HÜYBE Teknik Not., 1, 20s (yayınlanmamış).

Yılmaz, O., Gündoğdu, M.N. ve Görmüş, S., 1982, Neojen yaşlı Bigadiç volkanosedimanter havzasının jeolojisi: Etibank Proje Rap., Hacettepe Üniversitesi 87 s., 5ek.

Yuretich, R.F., 1986, Controls on the composition of modern sediments, Lake Turkana, Kenya. In Sedimentation in the African Rifts., L.E. Frostic et al. (eds.) Geological Society Special Publication 23, 135-146.

Yuretich, R.F. and Cerling, T.E., 1983, Hydrogeochemistry of Lake Turkana, Kenya: Mass balance and mineral reactions in an alkaline lake. Geochim. Cosmochim. Acta, 47, 1099-1109.